

INFORME DE EVOLUCIÓN DE NIVELES PIEZOMÉTRICOS EN LA DEMARCACIÓN HIDROGRÁFICA DEL JÚCAR

AÑO HIDROLÓGICO 2019/20

Confederación Hidrográfica del Júcar



Julio de 2021

ÍNDICE

1	Ámbito de estudio y objetivos.	1
2	Red de piezometría representativa. Metodología.....	5
3	Evolución de los niveles piezométricos.....	13
4	Resumen y conclusiones.	130
5	Referencias bibliográficas.	135

ÍNDICE DE TABLAS

Tabla 1. Masas de agua subterránea.	3
Tabla 2. Masas de agua subterránea con piezómetros representativos, número de puntos, estado cuantitativo e índice de explotación.	12
Tabla 3. Masas de agua subterránea y piezómetros representativos.	15
Tabla 4. Evolución observada en los piezómetros de la red representativa en el año hidrológico 2019/20.	133

ÍNDICE DE FIGURAS

Figura 1. Delimitación de las masas de agua subterránea.....	4
Figura 2. Ejemplo de información técnica del sondeo consultada: columna litológica.....	6
Figura 3. Ejemplo de información técnica del sondeo consultada: ficha constructiva.....	7
Figura 4. Red representativa de piezometría.....	10
Figura 5. Red representativa en la masa de agua subterránea 080.102 Javalambre Occidental.	17
Figura 6. Piezometría en la masa de agua 080.102 Javalambre Occidental: serie histórica y año hidrológico 2019/20. Piezómetro 08.05.041.	17
Figura 7. Red representativa en la masa de agua subterránea 080.103 Javalambre Oriental. ..	18
Figura 8. Piezometría en la masa de agua 080.103 Javalambre Oriental: serie histórica y año hidrológico 2019/20. Piezómetro 08.05.005.	18
Figura 9. Red representativa en la masa de agua subterránea 080.104 Mosqueruela.	19
Figura 10. Piezometría en la masa de agua 080.104 Mosqueruela: serie histórica y año hidrológico 2019/20. Piezómetro 08.06.005.	19
Figura 11. Piezometría en la masa de agua 080.104 Mosqueruela: serie histórica y año hidrológico 2019/20. Piezómetro 08.06.108.	20
Figura 12. Piezometría en la masa de agua 080.104 Mosqueruela: serie histórica y año hidrológico 2019/20. Piezómetro 08.06.109.	21
Figura 13. Red representativa en la masa de agua subterránea 080.106 Plana de Cenia.....	22
Figura 14. Piezometría en la masa de agua 080.106 Plana de Cenia: serie histórica y año hidrológico 2019/20. Piezómetro 08.10.083.	22
Figura 15. Red representativa en la masa de agua subterránea 080.107 Plana de Vinaroz.....	23
Figura 16. Piezometría en la masa de agua 080.107 Plana de Vinaroz: serie histórica y año hidrológico 2019/20. Piezómetro 08.10.008.	23
Figura 17. Piezometría en la masa de agua 080.107 Plana de Vinaroz: serie histórica y año hidrológico 2019/20. Piezómetro 08.10.009.	24
Figura 18. Red representativa en la masa de agua subterránea 080.108 Maestrazgo Occidental.	25
Figura 19. Piezometría en la masa de agua 080.108 Maestrazgo Occidental: serie histórica y año hidrológico 2019/20. Piezómetro 08.07.124.	25
Figura 20. Red representativa en la masa de agua subterránea 080.110 Plana de Oropesa- Torreblanca.	26
Figura 21. Piezometría en la masa de agua 080.110 Plana de Oropesa-Torreblanca: serie histórica y año hidrológico 2019/20. Piezómetro 08.07.009.....	26
Figura 22. Red representativa en la masa de agua subterránea 080.111 Lucena-Alcora.....	27
Figura 23. Piezometría en la masa de agua 080.111 Lucena-Alcora: serie histórica y año hidrológico 2019/20. Piezómetro 08.06.106.	27

Figura 24. Piezometría en la masa de agua 080.111 Lucena-Alcora: serie histórica y año hidrológico 2019/20. Piezómetro 08.06.112.	28
Figura 25. Piezometría en la masa de agua 080.111 Lucena-Alcora: serie histórica y año hidrológico 2019/20. Piezómetro 08.06.113.	29
Figura 26. Red representativa en la masa de agua subterránea 080.113 Arquillo.	30
Figura 27. Piezometría en la masa de agua 080.113 Arquillo: serie histórica y año hidrológico 2019/20. Piezómetro 08.03.001.	30
Figura 28. Red representativa en la masa de agua subterránea 080.114 Gea de Albarracín.	31
Figura 29. Piezometría en la masa de agua 080.114 Gea de Albarracín: serie histórica y año hidrológico 2019/20. Piezómetro 08.03.002.	31
Figura 30. Red representativa en la masa de agua subterránea 080.115 Montes Universales.	32
Figura 31. Piezometría en la masa de agua 080.115 Montes Universales: serie histórica y año hidrológico 2019/20. Piezómetro 08.02.002.	32
Figura 32. Piezometría en la masa de agua 080.115 Montes Universales: serie histórica y año hidrológico 2019/20. Piezómetro 08.02.005.	33
Figura 33. Red representativa en la masa de agua subterránea 080.117 Jurásico de Uña.	34
Figura 34. Piezometría en la masa de agua 080.117 Jurásico de Uña: serie histórica y año hidrológico 2019/20. Piezómetro 08.02.065.	34
Figura 35. Red representativa en la masa de agua subterránea 080.120 Cretácico de cuenca Sur.	35
Figura 36. Piezometría en la masa de agua 080.120 Cretácico de cuenca Sur: serie histórica y año hidrológico 2019/20. Piezómetro 08.17.171.	35
Figura 37. Red representativa en la masa de agua subterránea 080.121 Jurásico de Cardenete.	36
Figura 38. Piezometría en la masa de agua 080.121 Jurásico de Cardenete: serie histórica y año hidrológico 2019/20. Piezómetro 08.17.020.	36
Figura 39. Red representativa en la masa de agua subterránea 080.122 Vallanca.	37
Figura 40. Piezometría en la masa de agua 080.122 Vallanca: serie histórica y año hidrológico 2019/20. Piezómetro 08.04.001.	37
Figura 41. Red representativa en la masa de agua subterránea 080.123 Alpunte.	38
Figura 42. Piezometría en la masa de agua 080.123 Alpunte: serie histórica y año hidrológico 2019/20. Piezómetro 08.15.002.	38
Figura 43. Piezometría en la masa de agua 080.123 Alpunte: serie histórica y año hidrológico 2019/20. Piezómetro 08.15.076.	39
Figura 44. Piezometría en la masa de agua 080.123 Alpunte: serie histórica y año hidrológico 2019/20. Piezómetro 08.15.078.	40
Figura 45. Red representativa en la masa de agua subterránea 080.125 Jérica.	41
Figura 46. Piezometría en la masa de agua 080.125 Jérica: serie histórica y año hidrológico 2019/20. Piezómetro 08.14.004.	41
Figura 47. Red representativa en la masa de agua subterránea 080.126 Onda-Espadán.	42

Figura 48. Piezometría en la masa de agua 080.126 Onda-Espadán: serie histórica y año hidrológico 2019/20. Piezómetro 08.13.007.	42
Figura 49. Red representativa en la masa de agua subterránea 080.127 Plana de Castellón....	43
Figura 50. Piezometría en la masa de agua 080.127 Plana de Castellón: serie histórica y año hidrológico 2019/20. Piezómetro 08.12.014.	43
Figura 51. Piezometría en la masa de agua 080.127 Plana de Castellón: serie histórica y año hidrológico 2019/20. Piezómetro 08.12.015.	44
Figura 52. Piezometría en la masa de agua 080.127 Plana de Castellón: serie histórica y año hidrológico 2019/20. Piezómetro 08.12.017.	45
Figura 53. Piezometría en la masa de agua 080.127 Plana de Castellón: serie histórica y año hidrológico 2019/20. Piezómetro 08.12.033.	46
Figura 54. Red representativa en la masa de agua subterránea 080.128 Plana de Sagunto.....	47
Figura 55. Piezometría en la masa de agua 080.128 Plana de Sagunto: serie histórica y año hidrológico 2019/20. Piezómetro 08.21.005.	47
Figura 56. Red representativa en la masa de agua subterránea 080.129 Mancha Oriental.	48
Figura 57. Piezometría en la masa de agua 080.129 Mancha Oriental: serie histórica y año hidrológico 2019/20. Piezómetro 08.17.028.	48
Figura 58. Piezometría en la masa de agua 080.129 Mancha Oriental: serie histórica y año hidrológico 2019/20. Piezómetro 08.29.033.	49
Figura 59. Piezometría en la masa de agua 080.129 Mancha Oriental: serie histórica y año hidrológico 2019/20. Piezómetro 08.29.035.	50
Figura 60. Piezometría en la masa de agua 080.129 Mancha Oriental: serie histórica y año hidrológico 2019/20. Piezómetro 08.29.049.	51
Figura 61. Piezometría en la masa de agua 080.129 Mancha Oriental: serie histórica y año hidrológico 2019/20. Piezómetro 08.29.053.	52
Figura 62. Piezometría en la masa de agua 080.129 Mancha Oriental: serie histórica y año hidrológico 2019/20. Piezómetro 08.29.059.	53
Figura 63. Piezometría en la masa de agua 080.129 Mancha Oriental: serie histórica y año hidrológico 2019/20. Piezómetro 08.29.060.	54
Figura 64. Piezometría en la masa de agua 080.129 Mancha Oriental: serie histórica y año hidrológico 2019/20. Piezómetro 08.29.080.	55
Figura 65. Piezometría en la masa de agua 080.129 Mancha Oriental: serie histórica y año hidrológico 2019/20. Piezómetro 08.29.102.	56
Figura 66. Piezometría en la masa de agua 080.129 Mancha Oriental: serie histórica y año hidrológico 2019/20. Piezómetro 08.29.307.	57
Figura 67. Piezometría en la masa de agua 080.129 Mancha Oriental: serie histórica y año hidrológico 2019/20. Piezómetro 08.29.308.	58
Figura 68. Piezometría en la masa de agua 080.129 Mancha Oriental: serie histórica y año hidrológico 2019/20. Piezómetro 08.30.003.	59
Figura 69. Red representativa en la masa de agua subterránea 080.130 Medio Palancia.....	60

Figura 70. Piezometría en la masa de agua 080.130 Medio Palancia: serie histórica y año hidrológico 2019/20. Piezómetro 08.20.009.	60
Figura 71. Piezometría en la masa de agua 080.130 Medio Palancia: serie histórica y año hidrológico 2019/20. Piezómetro 08.20.011.	61
Figura 72. Red representativa en la masa de agua subterránea 080.131 Liria-Casinos.	62
Figura 73. Piezometría en la masa de agua 080.131 Liria-Casinos: serie histórica y año hidrológico 2019/20. Piezómetro 08.22.045.	62
Figura 74. Red representativa en la masa de agua subterránea 080.132 Las Serranías.....	63
Figura 75. Piezometría en la masa de agua 080.132 Las Serranías: serie histórica y año hidrológico 2019/20. Piezómetro 08.22.002.	63
Figura 76. Red representativa en la masa de agua subterránea 080.133 Requena-Utiel.	64
Figura 77. Piezometría en la masa de agua 080.133 Requena-Utiel: serie histórica y año hidrológico 2019/20. Piezómetro 08.24.005.	64
Figura 78. Piezometría en la masa de agua 080.133 Requena-Utiel: serie histórica y año hidrológico 2019/20. Piezómetro 08.24.010.	65
Figura 79. Red representativa en la masa de agua subterránea 080.134 Mira.	66
Figura 80. Piezometría en la masa de agua 080. 134 Mira: serie histórica y año hidrológico 2019/20. Piezómetro 08.24.118.	66
Figura 81. Red representativa en la masa de agua subterránea 080.136 Lezuza-El Jardín.	67
Figura 82. Piezometría en la masa de agua 080.136 Lezuza-El Jardín: serie histórica y año hidrológico 2019/20. Piezómetro 08.30.151.	67
Figura 83. Piezometría en la masa de agua 080.136 Lezuza-El Jardín: serie histórica y año hidrológico 2019/20. Piezómetro 08.30.152.	68
Figura 84. Red representativa en la masa de agua subterránea 080.137 Arco de Alcaraz.....	69
Figura 85. Piezometría en la masa de agua 080.137 Arco de Alcaraz: serie histórica y año hidrológico 2019/20. Piezómetro 08.29.1117.	69
Figura 86. Red representativa en la masa de agua subterránea 080.139 Cabrillas-Malacara....	70
Figura 87. Piezometría en la masa de agua 080.139 Cabrillas-Malacara: serie histórica y año hidrológico 2019/20. Piezómetro 08.18.086.	70
Figura 88. Red representativa en la masa de agua subterránea 080.140 Buñol-Cheste.....	71
Figura 89. Piezometría en la masa de agua 080.140 Buñol-Cheste: serie histórica y año hidrológico 2019/20. Piezómetro 08.23.017.	71
Figura 90. Red representativa en la masa de agua subterránea 080.141 Plana de Valencia Norte.	72
Figura 91. Piezometría en la masa de agua 080.141 Plana de Valencia Norte: serie histórica y año hidrológico 2019/20. Piezómetro 08.25.009.	72
Figura 92. Piezometría en la masa de agua 080.141 Plana de Valencia Norte: serie histórica y año hidrológico 2019/20. Piezómetro 08.25.010.	73
Figura 93. Piezometría en la masa de agua 080.141 Plana de Valencia Norte: serie histórica y año hidrológico 2019/20. Piezómetro 08.25.094.	74

Figura 94. Red representativa en la masa de agua subterránea 080.142 Plana de Valencia Sur.	75
Figura 95. Piezometría en la masa de agua 080.142 Plana de Valencia Sur: serie histórica y año hidrológico 2019/20. Piezómetro 08.26.016.	75
Figura 96. Red representativa en la masa de agua subterránea 080.143 La Contienda.....	76
Figura 97. Piezometría en la masa de agua 080.143 La Contienda: serie histórica y año hidrológico 2019/20. Piezómetro 08.27.207.	76
Figura 98. Red representativa en la masa de agua subterránea 080.144 Sierra del Ave.	77
Figura 99. Piezometría en la masa de agua 080.144 Sierra del Ave: serie histórica y año hidrológico 2019/20. Piezómetro 08.27.096.	77
Figura 100. Red representativa en la masa de agua subterránea 080.145 Caroch Norte.	78
Figura 101. Piezometría en la masa de agua 080.145 Caroch Norte: serie histórica y año hidrológico 2019/20. Piezómetro 08.27.204.	78
Figura 102. Red representativa en la masa de agua subterránea 080.146 Almansa.....	79
Figura 103. Piezometría en la masa de agua 080.146 Almansa: serie histórica y año hidrológico 2019/20. Piezómetro 08.33.001.	79
Figura 104. Red representativa en la masa de agua subterránea 080.147 Caroch Sur.	80
Figura 105. Piezometría en la masa de agua 080.147 Caroch Sur: serie histórica y año hidrológico 2019/20. Piezómetro 08.28.007.	80
Figura 106. Piezometría en la masa de agua 080.147 Caroch Sur: serie histórica y año hidrológico 2019/20. Piezómetro 08.28.008.	81
Figura 107. Red representativa en la masa de agua subterránea 080.149 Sierra de las Agujas.	82
Figura 108. Piezometría en la masa de agua 080.149 Sierra de las Agujas: serie histórica y año hidrológico 2019/20. Piezómetro 08.31.007.	82
Figura 109. Red representativa en la masa de agua subterránea 080.150 Bárig.	83
Figura 110. Piezometría en la masa de agua 080.150 Bárig: serie histórica y año hidrológico 2019/20. Piezómetro 08.32.010.	83
Figura 111. Red representativa en la masa de agua subterránea 080.151 Plana de Jaraco.....	84
Figura 112. Piezometría en la masa de agua 080.151 Plana de Jaraco: serie histórica y año hidrológico 2019/20. Piezómetro 08.38.018.	84
Figura 113. Piezometría en la masa de agua 080.151 Plana de Jaraco: serie histórica y año hidrológico 2019/20. Piezómetro 08.38.020	85
Figura 114. Red representativa en la masa de agua subterránea 080.152 Plana de Gandía.	86
Figura 115. Piezometría en la masa de agua 080.152 Plana de Gandía: serie histórica y año hidrológico 2019/20. Piezómetro 08.38.019.	86
Figura 116. Red representativa en la masa de agua subterránea 080.153 Marchuquera-Falconera.....	87
Figura 117. Piezometría en la masa de agua 080.153 Marchuquera-Falconera: serie histórica y año hidrológico 2019/20. Piezómetro 08.32.003.	87
Figura 118. Red representativa en la masa de agua subterránea 080.154 Sierra de Ador.	88

Figura 119. Piezometría en la masa de agua 080.154 Sierra de Ador: serie histórica y año hidrológico 2019/20. Piezómetro 08.37.007.	88
Figura 120. Red representativa en la masa de agua subterránea 080.157 Sierra de la Oliva. ...	89
Figura 121. Piezometría en la masa de agua 080.157 Sierra de la Oliva: serie histórica y año hidrológico 2019/20. Piezómetro 08.34.003.	89
Figura 122. Red representativa en la masa de agua subterránea 080.159 Rocín.....	90
Figura 123. Piezometría en la masa de agua 080.159 Rocín: serie histórica y año hidrológico 2019/20. Piezómetro 08.99.099.	90
Figura 124. Red representativa en la masa de agua subterránea 080.160 Villena-Benejama. ..	91
Figura 125. Piezometría en la masa de agua 080.160 Villena-Benejama: serie histórica y año hidrológico 2019/20. Piezómetro 08.36.001.	91
Figura 126. Piezometría en la masa de agua 080.160 Villena-Benejama: serie histórica y año hidrológico 2019/20. Piezómetro 08.36.021.	92
Figura 127. Piezometría en la masa de agua 080.160 Villena-Benejama: serie histórica y año hidrológico 2019/20. Piezómetro 08.36.024.	93
Figura 128. Piezometría en la masa de agua 080.160 Villena-Benejama: serie histórica y año hidrológico 2019/20. Piezómetro 08.36.041.	94
Figura 129. Red representativa en la masa de agua subterránea 080.161 Volcadores-Albaida.	95
Figura 130. Piezometría en la masa de agua 080.161 Volcadores-Albaida: serie histórica y año hidrológico 2019/20. Piezómetro 08.36.002.	95
Figura 131. Red representativa en la masa de agua subterránea 080.162 Almirante-Mustalla.	96
Figura 132. Piezometría en la masa de agua 080.162 Almirante-Mustalla: serie histórica y año hidrológico 2019/20. Piezómetro 08.37.009.	96
Figura 133. Red representativa en la masa de agua subterránea 080.163 Oliva-Pego.	97
Figura 134. Piezometría en la masa de agua 080.162 Almirante-Mustalla: serie histórica y año hidrológico 2019/20. Piezómetro 08.38.003.	97
Figura 135. Piezometría en la masa de agua 080.162 Almirante-Mustalla: serie histórica y año hidrológico 2019/20. Piezómetro 08.38.014.	98
Figura 136. Red representativa en la masa de agua subterránea 080.164 Ondara-Denia.	99
Figura 137. Piezometría en la masa de agua 080.164 Ondara-Denia: serie histórica y año hidrológico 2019/20. Piezómetro 08.38.001.	99
Figura 138. Red representativa en la masa de agua subterránea 080.165 Montgó.....	100
Figura 139. Piezometría en la masa de agua 080.165 Montgó: serie histórica y año hidrológico 2019/20. Piezómetro 08.47.319.	100
Figura 140. Red representativa en la masa de agua subterránea 080.167 Alfaro-Segaria.....	101
Figura 141. Piezometría en la masa de agua 080.167 Alfaro-Segaria: serie histórica y año hidrológico 2019/20. Piezómetro 08.37.014.	101
Figura 142. Red representativa en la masa de agua subterránea 080.168 Mediodía.	102
Figura 143. Piezometría en la masa de agua 080.168 Mediodía: serie histórica y año hidrológico 2019/20. Piezómetro 08.47.118.	102

Figura 144. Red representativa en la masa de agua subterránea 080.169 Muro de Alcoy.....	103
Figura 145. Piezometría en la masa de agua 080.169 Muro de Alcoy: serie histórica y año hidrológico 2019/20. Piezómetro 08.40.106.	103
Figura 146. Red representativa en la masa de agua subterránea 080.170 Salt San Cristóbal..	104
Figura 147. Piezometría en la masa de agua 080.170 Salt San Cristóbal: serie histórica y año hidrológico 2019/20. Piezómetro 08.40.001.	104
Figura 148. Red representativa en la masa de agua subterránea 080.171 Sierra Mariola.....	105
Figura 149. Piezometría en la masa de agua 080.171 Sierra Mariola: serie histórica y año hidrológico 2019/20. Piezómetro 08.40.029.	105
Figura 150. Red representativa en la masa de agua subterránea 080.173 Sierra del Castellar.	106
Figura 151. Piezometría en la masa de agua 080.173 Sierra del Castellar: serie histórica y año hidrológico 2019/20. Piezómetro 08.35.003.	106
Figura 152. Piezometría en la masa de agua 080.173 Sierra del Castellar: serie histórica y año hidrológico 2019/20. Piezómetro 08.35.006.	107
Figura 153. Piezometría en la masa de agua 080.173 Sierra del Castellar: serie histórica y año hidrológico 2019/20. Piezómetro 08.35.054.	108
Figura 154. Red representativa en la masa de agua subterránea 080.174 Peñarrubia.....	109
Figura 155. Piezometría en la masa de agua 080.174 Peñarrubia: serie histórica y año hidrológico 2019/20. Piezómetro 08.41.001.	109
Figura 156. Piezometría en la masa de agua 080.174 Peñarrubia: serie histórica y año hidrológico 2019/20. Piezómetro 08.41.003.	110
Figura 157. Red representativa en la masa de agua subterránea 080.175 Hoya de Castalla... 111	
Figura 158. Piezometría en la masa de agua 080.175 Hoya de Castalla: serie histórica y año hidrológico 2019/20. Piezómetro 08.43.004.	111
Figura 159. Piezometría en la masa de agua 080.175 Hoya de Castalla: serie histórica y año hidrológico 2019/20. Piezómetro 08.44.041.	112
Figura 160. Red representativa en la masa de agua subterránea 080.176 Barrancones-Carrasqueta.....	113
Figura 161. Piezometría en la masa de agua 080.176 Barrancones-Carrasqueta: serie histórica y año hidrológico 2019/20. Piezómetro 08.44.005.	113
Figura 162. Piezometría en la masa de agua 080.176 Barrancones-Carrasqueta: serie histórica y año hidrológico 2019/20. Piezómetro 08.44.007.	114
Figura 163. Red representativa en la masa de agua subterránea 080.178 Serrella-Aixorta-Algar.	115
Figura 164. Piezometría en la masa de agua 080.178 Serrella-Aixorta-Algar: serie histórica y año hidrológico 2019/20. Piezómetro 08.46.003.	115
Figura 165. Red representativa en la masa de agua subterránea 080.180 Jávea.....	116
Figura 166. Piezometría en la masa de agua 080.180 Jávea: serie histórica y año hidrológico 2019/20. Piezómetro 08.47.318.	116

Figura 167. Red representativa en la masa de agua subterránea 080.181 Sierra de Salinas. ..	117
Figura 168. Piezometría en la masa de agua 080.181 Sierra de Salinas: serie histórica y año hidrológico 2019/20. Piezómetro 08.42.003.	117
Figura 169. Piezometría en la masa de agua 080.181 Sierra de Salinas: serie histórica y año hidrológico 2019/20. Piezómetro 08.42.035.	118
Figura 170. Red representativa en la masa de agua subterránea 080.183 Orcheta.....	119
Figura 171. Piezometría en la masa de agua 080.183 Orcheta: serie histórica y año hidrológico 2019/20. Piezómetro 08.48.001.	119
Figura 172. Piezometría en la masa de agua 080.183 Orcheta: serie histórica y año hidrológico 2019/20. Piezómetro 08.48.011.	120
Figura 173. Red representativa en la masa de agua subterránea 080.186 Sierra del Cid.	121
Figura 174. Piezometría en la masa de agua 080.186 Sierra del Cid: serie histórica y año hidrológico 2019/20. Piezómetro 08.49.001.	121
Figura 175. Piezometría en la masa de agua 080.186 Sierra del Cid: serie histórica y año hidrológico 2019/20. Piezómetro 08.50.005.	122
Figura 176. Red representativa en la masa de agua subterránea 080.187 Sierra del Reclot. ..	123
Figura 177. Piezometría en la masa de agua 080.187 Sierra del Reclot: serie histórica y año hidrológico 2019/20. Piezómetro 08.51.001.	123
Figura 178. Piezometría en la masa de agua 080.187 Sierra del Reclot: serie histórica y año hidrológico 2019/20. Piezómetro 08.51.004.	124
Figura 179. Red representativa en la masa de agua subterránea 080.188 Sierra de Argallet..	125
Figura 180. Piezometría en la masa de agua 080.188 Sierra de Argallet: serie histórica y año hidrológico 2019/20. Piezómetro 08.51.014.	125
Figura 181. Red representativa en la masa de agua subterránea 080.189 Sierra de Crevillente.	126
Figura 182. Piezometría en la masa de agua 080.189 Sierra de Crevillente: serie histórica y año hidrológico 2019/20. Piezómetro 08.52.003.	126
Figura 183. Piezometría en la masa de agua 080.189 Sierra de Crevillente: serie histórica y año hidrológico 2019/20. Piezómetro 08.52.009.	127
Figura 184. Red representativa en la masa de agua subterránea 080.190 Bajo Vinalopó.	128
Figura 185. Piezometría en la masa de agua 080.190 Bajo Vinalopó: serie histórica y año hidrológico 2019/20. Piezómetro 08.99.098.	128
Figura 186. Piezometría en la masa de agua 080.190 Bajo Vinalopó: serie histórica y año hidrológico 2019/20. Piezómetro 08.99.103.	129
Figura 187. Evolución observada en los piezómetros de la red representativa en el año hidrológico 2019/20.	130
Figura 188. Variación de la precipitación del año hidrológico 2019/20, respecto a la precipitación media del periodo 1980/81 – 2019/20.	134

1 Ámbito de estudio y objetivos.

El ámbito de estudio en el que se analiza la evolución del nivel piezométrico en la Demarcación Hidrográfica del Júcar, son las masas de agua subterráneas definidas en el Plan Hidrológico de cuenca (Real Decreto 1/2016, de 8 de enero por el que se aprueba la revisión de los Planes Hidrológicos de las demarcaciones hidrográficas del Cantábrico Occidental, Guadalquivir, Ceuta, Melilla, Segura y Júcar, y de la parte española de las demarcaciones hidrográficas del Cantábrico Oriental, Miño-Sil, Duero, Tajo, Guadiana y Ebro).

Las masas de agua subterránea cubren una superficie total en el ámbito de la Demarcación. De acuerdo con la *Orden TEC/921/2018, de 30 de agosto, por la que se definen las líneas que indican los límites cartográficos principales de los ámbitos territoriales de las Confederaciones Hidrográficas de acuerdo a lo establecido en el Real Decreto 650/1987, de 8 de mayo, por el que se definen los ámbitos territoriales de los organismos de cuenca y de los planes hidrológicos*, la superficie de la Demarcación es de aproximadamente 42.756 Km². Esta superficie está distribuida en el marco de cinco comunidades autónomas: Comunidad Valenciana (49,4%), incluyendo toda la provincia de Valencia y parte de las provincias de Castellón y Alicante; Castilla-La Mancha (37,68%), con la presencia parcial de las provincias de Cuenca y Albacete; Aragón (12,57%) con parte de la provincia de Teruel; Cataluña (0,2%) con tan sólo una pequeña parte del extremo meridional de la provincia de Tarragona y finalmente la Región de Murcia (0,15%) con una muy pequeña parte de la provincia de Murcia en el término municipal de Yecla.

El número total de masas de agua subterránea es de 90, las cuáles se muestran a continuación en la siguiente tabla con su código de identificación, nombre y superficie.

Código	Nombre	Superficie (Km ²)
080.101	Hoya de Alfambra	752,83
080.102	Javalambre Occidental	594,29
080.103	Javalambre Oriental	801,89
080.104	Mosqueruela	859,33
080.105	Puertos de Beceite	463,11
080.106	Plana de Cenia	281,47
080.107	Plana de Vinaroz	106,34
080.108	Maestrazgo Occidental	1.127,36
080.109	Maestrazgo Oriental	1.015,35
080.110	Plana de Oropesa - Torreblanca	89,17
080.111	Lucena - Alcora	1.118,61
080.112	Hoya de Teruel	666,52
080.113	Arquillo	152,23
080.114	Gea de Albarracín	157,96
080.115	Montes Universales	1.251,24
080.116	Triásico de Boniches	188,54

Código	Nombre	Superficie (Km ²)
080.117	Jurásico de Uña	613,6
080.118	Cretácico de Cuenca Norte	1.235,28
080.119	Terciario de Alarcón	1.236,78
080.120	Cretácico de Cuenca Sur	690,64
080.121	Jurásico de Cardenete	248,22
080.122	Vallanca	456,36
080.123	Alpuente	899,3
080.124	Sierra del Toro	297,15
080.125	Jérica	336,63
080.126	Onda - Espadán	523,48
080.127	Plana de Castellón	496,24
080.128	Plana de Sagunto	130,16
080.129	Mancha Oriental	7.118,14
080.130	Medio Palancia	668,48
080.131	Liria - Casinos	861,14
080.132	Las Serranías	925,76
080.133	Requena - Utiel	987,91
080.134	Mira	501,56
080.135	Hoces del Cabriel	699,91
080.136	Lezuza - El Jardín	852,13
080.137	Arco de Alcaraz	398,6
080.138	Alpera (Carcelén)	441,41
080.139	Cabrillas - Malacara	286,34
080.140	Buñol - Cheste	542,77
080.141	Plana de Valencia Norte	391,47
080.142	Plana de Valencia Sur	566,19
080.143	La Contienda	64,84
080.144	Sierra del Ave	414,87
080.145	Caroch Norte	741,04
080.146	Almansa	239,26
080.147	Caroch Sur	1.008,07
080.148	Hoya de Játiva	81,24
080.149	Sierra de las Agujas	251,42
080.150	Bárig	70,43
080.151	Plana de Jaraco	59,77
080.152	Plana de Gandía	56,73
080.153	Marchuquera - Falconera	108,57
080.154	Sierra de Ador	46,46
080.155	Valle de Albaida	454,57
080.156	Sierra Grossa	205,79
080.157	Sierra de la Oliva	235,47
080.158	Cuchillo - Moratilla	39,34
080.159	Rocín	19,86
080.160	Villena - Benejama	330,2
080.161	Volcadores - Albaida	150,56
080.162	Almirante Mustalla	205,54
080.163	Oliva - Pego	54,78
080.164	Ondara - Denia	83,11
080.165	Montgó	24,86
080.166	Peñón - Bernia	100,4
080.167	Alfaro - Segaria	175,25
080.168	Mediodía	51,68
080.169	Muro de Alcoy	23,25

Código	Nombre	Superficie (Km ²)
080.170	Salt San Cristóbal	155,15
080.171	Sierra Mariola	95,67
080.172	Sierra Lácerca	28,98
080.173	Sierra del Castellar	86,09
080.174	Peñarrubia	35,44
080.175	Hoya de Castalla	121,23
080.176	Barrancones - Carrasqueta	263,79
080.177	Sierra Aitana	215,82
080.178	Serrella - Aixorta - Algar	151,02
080.179	Depresión de Benisa	270,15
080.180	Jávea	10,27
080.181	Sierra de Salinas	137,9
080.182	Argüeña - Maigmo	126,82
080.183	Orcheta	197,11
080.184	San Juan - Benidorm	178,46
080.185	Agost - Monnegre	73,3
080.186	Sierra del Cid	129,33
080.187	Sierra del Reclot	73,24
080.188	Sierra de Argallet	49,19
080.189	Sierra de Crevillente	66,66
080.190	Bajo Vinalopó	727,46

Tabla 1. Masas de agua subterránea.

La ubicación y los límites de las masas de agua subterránea definidas, se muestran en la siguiente figura, en la que se puede identificar cada masa de agua por su código en el mapa. La correlación entre los códigos y los nombres de las masas de agua se puede consultar en la tabla anterior.

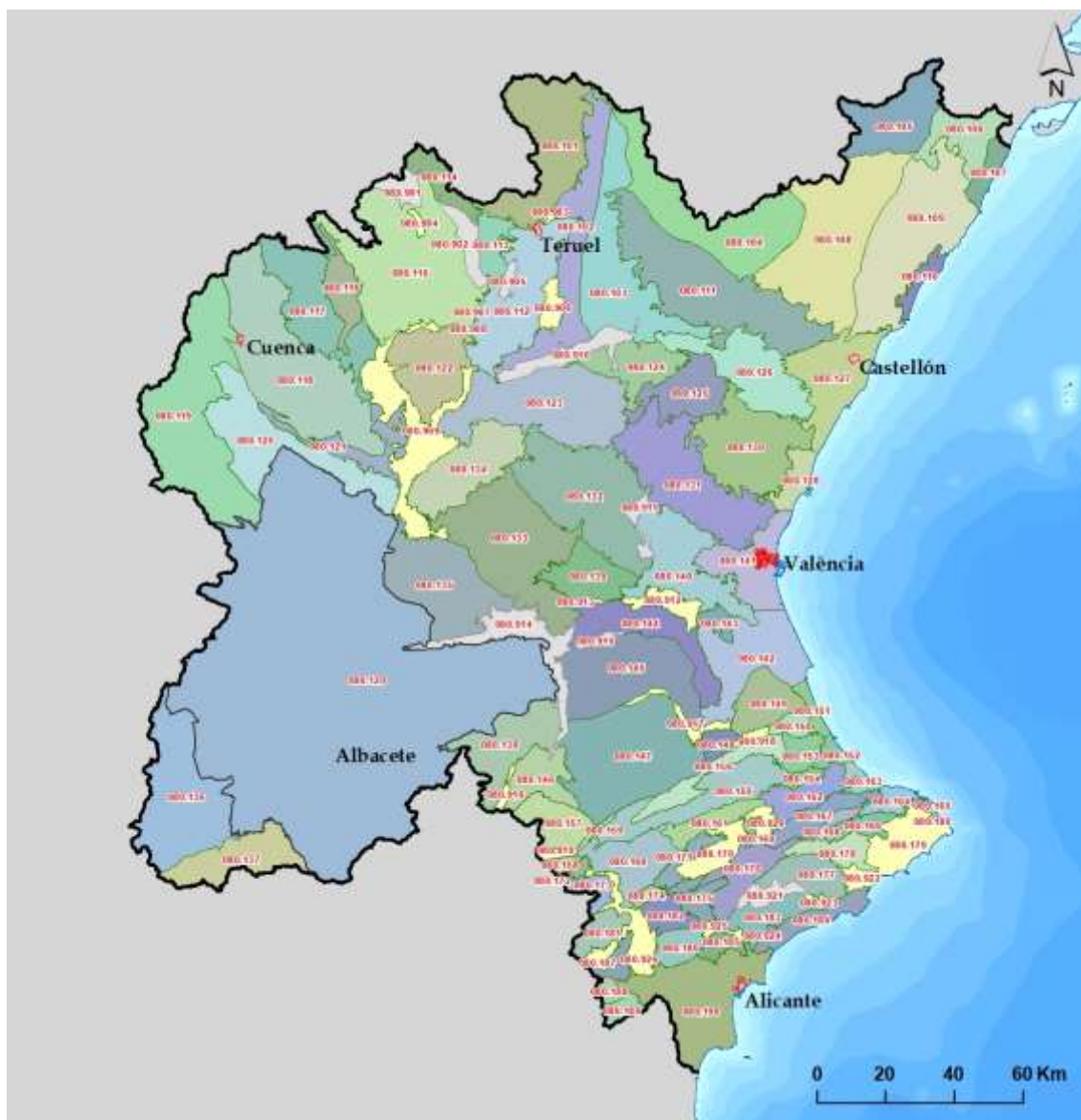


Figura 1. Delimitación de las masas de agua subterránea.

El objetivo de este informe, es analizar la evolución del nivel piezométrico en las masas de agua subterránea de la Demarcación. Para ello se realiza un análisis de la evolución temporal del nivel piezométrico y del año hidrológico 2019/20, en base a los datos de medidas de nivel tomadas en los puntos que forman parte de la red representativa de piezometría.

2 Red de piezometría representativa. Metodología.

La Confederación Hidrográfica del Júcar (CHJ) estableció una red de control de piezometría en el año 2.000, que actualmente se denomina red operativa, y está compuesta por aproximadamente 250 puntos de control. En estos puntos la CHJ realiza mediciones de nivel piezométrico de forma mensual o bimestral.

Partiendo de esta red operativa, y complementándola con algunos puntos de control de la Diputación de Alicante, se ha definido una red representativa de piezometría, con el objetivo de tener una red de piezómetros representativos del comportamiento de las masas de agua subterránea.

Como punto de partida para la definición de esta red, se tomó el trabajo realizado en el proyecto final de carrera de Miñana (2015). En este proyecto se realiza una optimización de la piezometría en base a diferentes criterios:

1. Modelo de simulación PATRICAL (Pérez, M.A., 2005).
2. Características constructivas y litológicas del punto de control.
3. Serie histórica del punto de control.

El modelo PATRICAL es un modelo de simulación del ciclo hidrológico, que incluye tanto la componente superficial como la subterránea. Este modelo, con paso de tiempo de simulación mensual, puede funcionar tanto en régimen natural como alterado. La componente subterránea se estudia mediante modelos unicelulares. Cada masa de agua subterránea se ha subdividido en sectores con el fin de identificar diferentes comportamientos del nivel piezométrico en una misma masa de agua subterránea y mejorar su representación. El modelo PATRICAL proporciona resultados de diferentes variables como por ejemplo, transferencias laterales, relación río-acuífero y nivel piezométrico. Se ha realizado un análisis estadístico relativo a la representatividad del nivel piezométrico simulado en el modelo respecto al nivel piezométrico medido. Para ello, se empleó el parámetro estadístico E, el cual indica en qué medida el modelo representa al piezómetro. Consiste en una evolución del Coeficiente de Nash para la calibración y evaluación de datos observacionales en modelos hidrológicos.

En el análisis de las características constructivas y litológicas de los sondeos, se valoró en mayor o menor medida la información disponible de cada piezómetro (datos de la perforación, entubación, cementación, cota de toma de medida exacta, e información de la litología), asignando un determinado peso a cada uno de los datos. En concreto, se le dio más peso al piezómetro si se disponía de información de la cota de medida exacta, y de la litología en ese punto. A continuación se muestra un ejemplo de la información técnica consultada en un punto de la red (columna litológica y ficha constructiva).

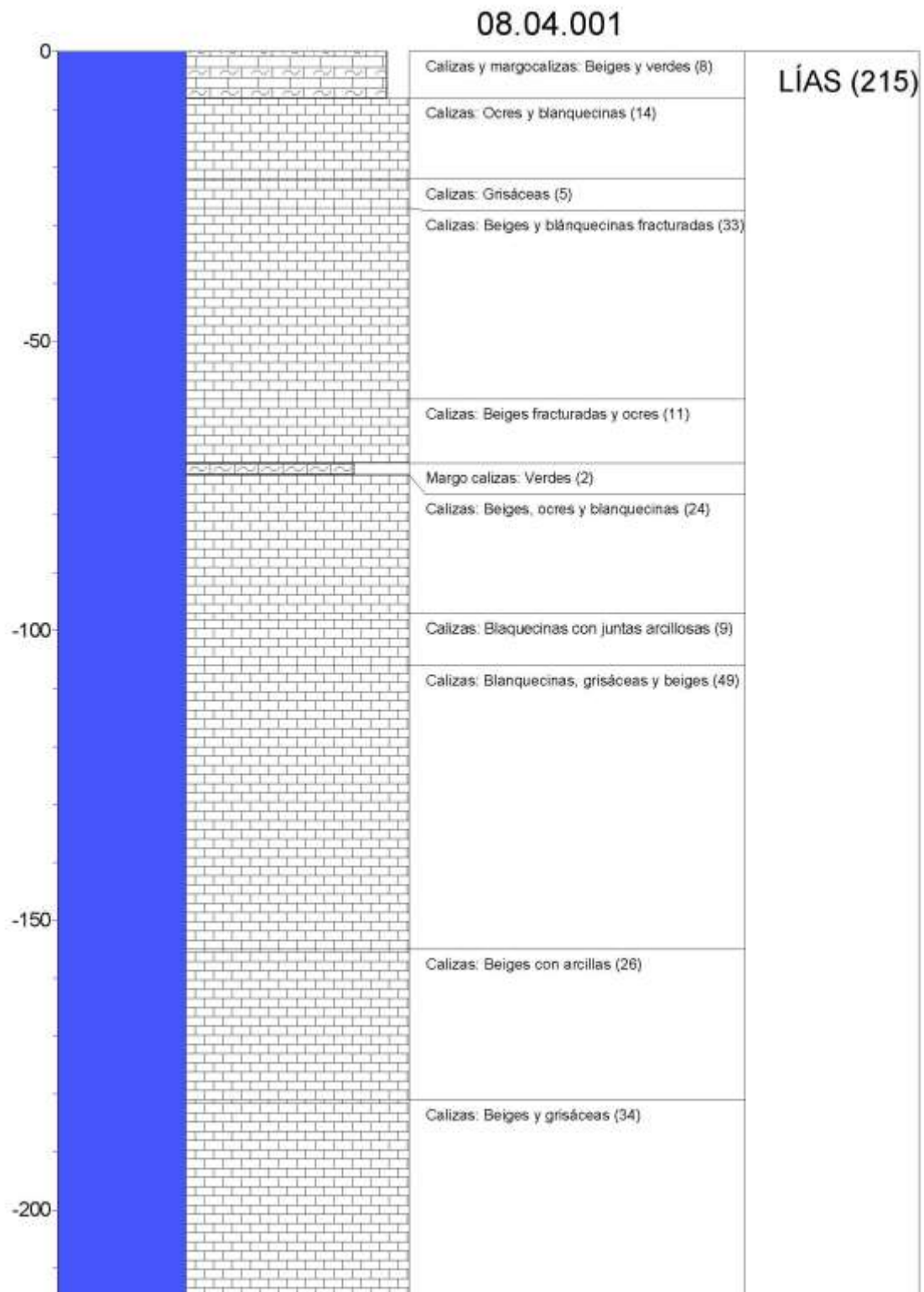


Figura 2. Ejemplo de información técnica del sondeo consultada: columna litológica.

En función de estas tres variantes, Miñana (2015) realizó una valoración de cada uno de los piezómetros considerados representativos, para determinar su nivel de representatividad.

Posteriormente, en el año 2017, se realizó una revisión de esta red representativa seleccionada inicialmente, ya que, se disponía de datos del modelo PATRICAL más actualizados, los cuales figuran en el Plan Hidrológico de cuenca (Real Decreto 1/2016, de 8 de enero). Además se partió de todos los puntos que formaban la red operativa en ese año (que a su vez incorporan los representativos anteriormente seleccionados), y se realizó una comparación de detalle de su serie de medidas con el modelo.

En esta revisión de la red, se tuvieron en cuenta los mismos criterios, con la salvedad de que se valoró la incorporación de piezómetros con una serie de medidas superior a 10 años (en vez de los 17 años que se fijaron en el estudio anterior), que habían sido descartados en el análisis previo, con el fin de tener una red ampliamente distribuida en toda la Demarcación.

Seguidamente, se comparó el gráfico de piezometría medida en campo con el nivel piezométrico medio simulado por el modelo PATRICAL en el sector donde se ubica el piezómetro. Finalmente, se seleccionaron como representativos 94 piezómetros operativos cuyo comportamiento podía ser representado por el modelo, y cumplían los criterios mencionados anteriormente. En base a esta red representativa definida, con la que se disponía de información de piezometría en 62 de las 90 masas de agua subterránea, se elaboraron los informes de piezometría de los años hidrológicos 2016/17, 2017/18 y 2018/19.

En este año 2021 se ha realizado una nueva revisión de la red representativa que se había definido. Para ello se ha procedido a definir la representatividad real hidrogeológica de cada piezómetro, con base en el funcionamiento hidrogeológico de la masa de agua subterránea en la que se encuentra, revisándose su coherencia con las columnas litológicas de los sondeos.

En primer lugar se ha realizado un compendio confrontado entre las diferentes fuentes de información existentes en cada caso: publicaciones académicas, estudios realizados por el Instituto Geológico Minero de España, y programas y trabajos específicos desarrollados por la CHJ. Y se ha estudiado cada masa de agua subterránea atendiendo a:

- Flujos de agua con los acuíferos colindantes y relaciones con el exterior (condición de contorno).
- Estratigrafía o formaciones hidrogeológicas.
- Relación río-acuífero, incluyendo los manantiales existentes.

Tras la revisión de la representatividad hidrogeológica de los piezómetros de la red representativa actual, se ha podido comprobar como ciertas masas de agua subterránea

o bien no cuentan con piezómetros representativos, o bien su representatividad no está confirmada, por lo que no deberían figurar en dicha red de control.

Posteriormente, también se han identificado piezómetros de la actual red operativa de control que pudieran incorporarse a la red representativa de piezometría en aquellas masas en las que no existían piezómetros representativos, o en las que se ha detectado que no son representativos.

En último lugar, en las masas en las que no se dispone de puntos de control en la provincia de Alicante, se han seleccionado sondeos de la red que controla la Excm. Diputación Provincial Alicante con larga serie histórica, y se han incorporado a la red representativa para poder caracterizar un mayor número de masas de agua subterránea.

La red representativa así definida, finalmente está constituida por 113 piezómetros o sondeos. Con esta red se obtienen medidas piezométricas en 69 de las 90 masas de agua subterránea. En la siguiente figura se muestran los piezómetros de la red representativa, junto a las masas de agua en las que se ubican.

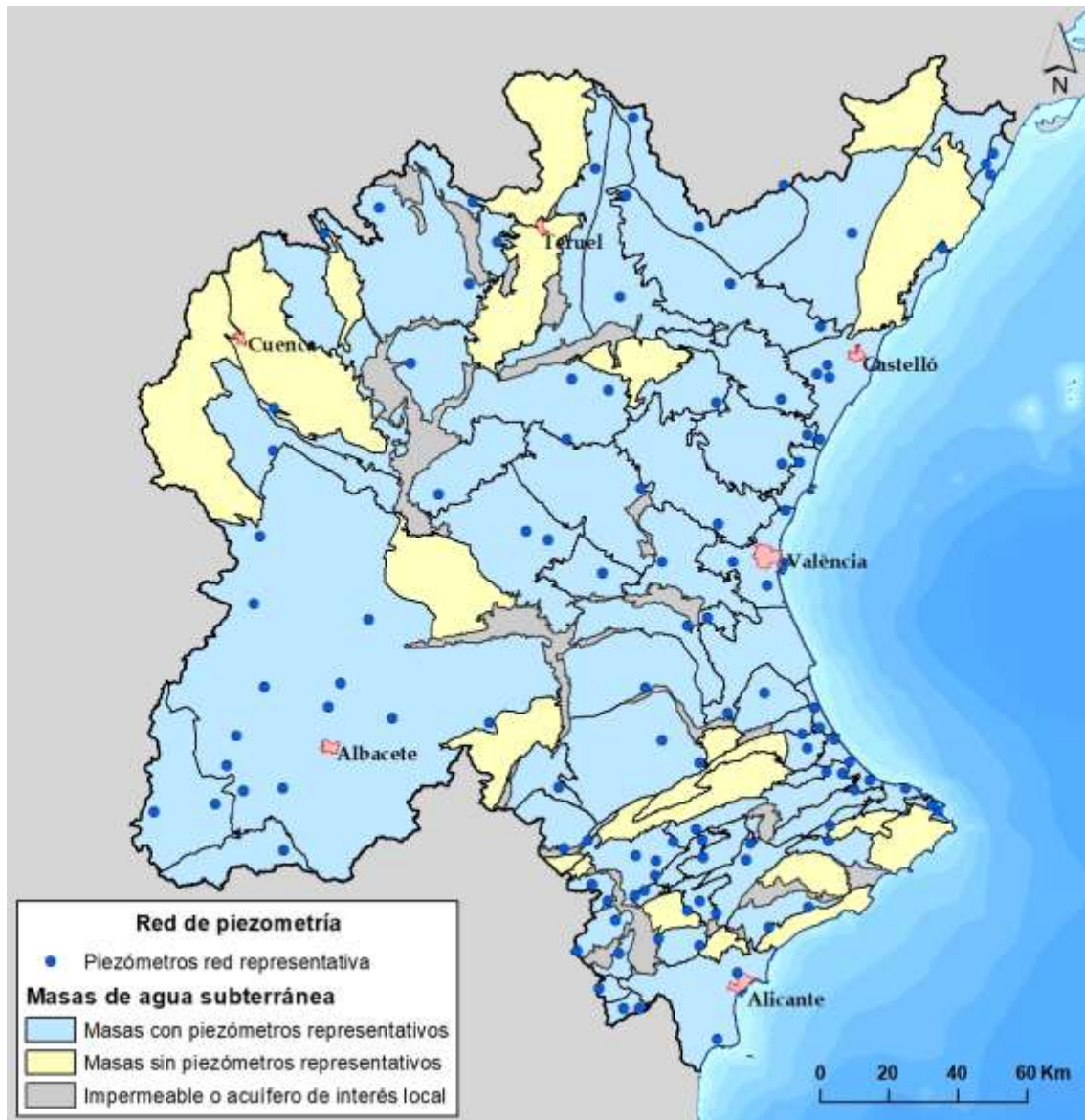


Figura 4. Red representativa de piezometría.

Como se puede observar en la figura anterior, la red está ampliamente distribuida por toda la Demarcación, teniendo un 78% de la superficie de las masas de agua subterránea (sin tener en cuenta las impermeables o acuíferos de interés local) puntos de la red representativa.

A continuación, se muestra el listado de las 69 masas de agua subterránea, y el número de puntos representativos que hay en cada una, así como el índice de explotación (bombeo/recurso disponible) de la misma que figura en el Plan Hidrológico.

Código masa	Nombre masa	Nº Piezómetros representativos	Estado cuantitativo	Índice de explotación (k)
080.102	Javalambre Occidental	1	Bueno	0
080.103	Javalambre Oriental	1	Bueno	0
080.104	Mosqueruela	3	Bueno	0
080.106	Plana de Cenia	1	Bueno	0,6

Código masa	Nombre masa	Nº Piezómetros representativos	Estado cuantitativo	Índice de explotación (k)
080.107	Plana de Vinaroz	2	Malo	1
080.108	Maestrazgo Occidental	1	Bueno	0
080.110	Plana de Oropesa - Torreblanca	1	Malo	1
080.111	Lucena - Alcora	3	Bueno	0,1
080.113	Arquillo	1	Bueno	0,1
080.114	Gea de Albarracín	1	Bueno	0
080.115	Montes Universales	2	Bueno	0
080.117	Jurásico de Uña	1	Bueno	0,2
080.120	Cretácico de Cuenca Sur	1	Bueno	0
080.121	Jurásico de Cardenete	1	Bueno	0
080.122	Vallanca	1	Bueno	0
080.123	Alpuente	3	Bueno	0
080.125	Jérica	1	Bueno	0,2
080.126	Onda - Espadán	1	Bueno	0,2
080.127	Plana de Castellón	4	Malo	1
080.128	Plana de Sagunto	1	Malo	1,1
080.129	Mancha Oriental	12	Malo	1,1
080.130	Medio Palancia	2	Malo	1,2
080.131	Liria - Casinos	1	Bueno	0,8
080.132	Las Serranías	1	Bueno	0,1
080.133	Requena - Utiel	2	Malo	0,4
080.134	Mira	1	Bueno	0,1
080.136	Lezuza - El Jardín	2	Bueno	0,1
080.137	Arco de Alcaraz	1	Bueno	0,1
080.139	Cabrillas - Malacara	1	Bueno	0,1
080.140	Buñol - Cheste	1	Malo	0,7
080.141	Plana de Valencia Norte	3	Bueno	0,6
080.142	Plana de Valencia Sur	1	Bueno	0,2
080.143	La Contienda	1	Malo	1,9
080.144	Sierra del Ave	1	Bueno	0,8
080.145	Caroch Norte	1	Bueno	0,1
080.146	Almansa	1	Malo	1,4
080.147	Caroch Sur	2	Bueno	0,6
080.149	Sierra de las Agujas	1	Malo	1,2
080.150	Bárig	1	Bueno	0,5
080.151	Plana de Jaraco	2	Bueno	0,3
080.152	Plana de Gandía	1	Malo	1
080.153	Marchuquera - Falconera	1	Bueno	0,8
080.154	Sierra de Ador	1	Bueno	0,1
080.157	Sierra de la Oliva	1	Malo	1,1
080.159	Rocín	1	Malo	1,5
080.160	Villena - Benezama	4	Malo	1,8
080.161	Volcadores - Albaida	1	Bueno	0,5
080.162	Almirante Mustalla	1	Bueno	0,5
080.163	Oliva - Pego	2	Malo	1
080.164	Ondara - Denia	1	Malo	1,3
080.165	Montgó	1	Bueno	0,1
080.167	Alfaro - Segaria	1	Bueno	0,5
080.168	Mediodía	1	Bueno	0,9
080.169	Muro de Alcoy	1	Bueno	0,1

Código masa	Nombre masa	Nº Piezómetros representativos	Estado cuantitativo	Índice de explotación (k)
080.170	Salt San Cristóbal	1	Bueno	0,9
080.171	Sierra Mariola	1	Malo	1
080.173	Sierra del Castellar	3	Malo	6,4
080.174	Peñarrubia	2	Malo	2
080.175	Hoya de Castalla	2	Bueno	0,4
080.176	Barrancones - Carrasqueta	2	Bueno	0,6
080.178	Serrella - Aixorta - Algar	1	Bueno	0,8
080.180	Jávea	1	Malo	1,2
080.181	Sierra de Salinas	2	Malo	5,7
080.183	Orcheta	2	Bueno	0,4
080.186	Sierra del Cid	2	Malo	0,7
080.187	Sierra del Reclot	2	Malo	1,6
080.188	Sierra de Argallet	1	Malo	1,6
080.189	Sierra de Crevillente	2	Malo	3,4
080.190	Bajo Vinalopó	2	Bueno	0,1

Tabla 2. Masas de agua subterránea con piezómetros representativos, número de puntos, estado cuantitativo e índice de explotación.

3 Evolución de los niveles piezométricos.

Este informe se realiza a partir de las mediciones del nivel piezométrico realizadas en los puntos de control pertenecientes a la red representativa de piezometría de la CHJ, realizadas de forma mensual o bimestral dependiendo de cada punto, y representadas en metros sobre el nivel del mar (m s.n.m.). En la siguiente tabla se muestra el listado de piezómetros que hay en cada masa subterránea.

Código masa	Nombre masa	Nº Piezómetros representativos
080.102	Javalambre Occidental	08.05.041
080.103	Javalambre Oriental	08.05.005
080.104	Mosqueruela	08.06.005
		08.06.108
		08.06.109
080.106	Plana de Cenia	08.10.083
080.107	Plana de Vinaroz	08.10.008
		08.10.009
080.108	Maestrazgo Occidental	08.07.124
080.110	Plana de Oropesa - Torreblanca	08.07.009
080.111	Lucena - Alcora	08.06.106
		08.06.112
		08.06.113
080.113	Arquillo	08.03.001
080.114	Gea de Albaracín	08.03.002
080.115	Montes Universales	08.02.002
		08.02.005
080.117	Jurásico de Uña	08.02.065
080.120	Cretácico de Cuenca Sur	08.17.171
080.121	Jurásico de Cardenete	08.17.020
080.122	Vallanca	08.04.001
080.123	Alpuente	08.15.002
		08.15.076
		08.15.078
080.125	Jérica	08.14.004
080.126	Onda - Espadán	08.13.007
080.127	Plana de Castellón	08.12.014
		08.12.015
		08.12.017
		08.12.033
080.128	Plana de Sagunto	08.21.005
080.129	Mancha Oriental	08.17.028
		08.29.033
		08.29.035
		08.29.049
		08.29.053
		08.29.059
		08.29.060
		08.29.080
08.29.102		

Código masa	Nombre masa	Nº Piezómetros representativos
		08.29.307
		08.29.308
		08.30.003
080.130	Medio Palancia	08.20.009
		08.20.011
080.131	Liria - Casinos	08.22.045
080.132	Las Serranías	08.22.002
080.133	Requena - Utiel	08.24.005
		08.24.010
080.134	Mira	08.24.118
080.136	Lezuza - El Jardín	08.30.151
		08.30.152
080.137	Arco de Alcaraz	08.29.1117
080.139	Cabrillas - Malacara	08.18.086
080.140	Buñol - Cheste	08.23.017
080.141	Plana de Valencia Norte	08.25.009
		08.25.010
		08.25.094
080.142	Plana de Valencia Sur	08.26.016
080.143	La Contienda	08.27.207
080.144	Sierra del Ave	08.27.096
080.145	Caroch Norte	08.27.204
080.146	Almansa	08.33.001
080.147	Caroch Sur	08.28.007
		08.28.008
080.149	Sierra de las Agujas	08.31.007
080.150	Bárig	08.32.010
080.151	Plana de Jaraco	08.38.018
		08.38.020
080.152	Plana de Gandía	08.38.019
080.153	Marchuquera - Falconera	08.32.003
080.154	Sierra de Ador	08.37.007
080.157	Sierra de la Oliva	08.34.003
080.159	Rocín	08.99.099
080.160	Villena - Benejama	08.36.001
		08.36.021
		08.36.024
		08.36.041
080.161	Volcadores - Albaida	08.36.002
080.162	Almirante Mustalla	08.37.009
080.163	Oliva - Pego	08.38.003
		08.38.014
080.164	Ondara - Denia	08.38.001
080.165	Montgó	08.47.319
080.167	Alfaro - Segaria	08.37.014
080.168	Mediodía	08.47.118
080.169	Muro de Alcoy	08.40.106
080.170	Salt San Cristóbal	08.40.001
080.171	Sierra Mariola	08.40.029
080.173	Sierra del Castellar	08.35.003
		08.35.006

Código masa	Nombre masa	Nº Piezómetros representativos
		08.35.054
080.174	Peñarrubia	08.41.001
		08.41.003
080.175	Hoya de Castalla	08.43.004
		08.44.041
080.176	Barrancones - Carrasqueta	08.44.005
		08.44.007
080.178	Serrella - Aixorta - Algar	08.46.003
080.180	Jávea	08.47.318
080.181	Sierra de Salinas	08.42.003
		08.42.035
080.183	Orcheta	08.48.001
		08.48.011
080.186	Sierra del Cid	08.49.001
		08.50.005
080.187	Sierra del Reclot	08.51.001
		08.51.004
080.188	Sierra de Argallet	08.51.014
080.189	Sierra de Crevillente	08.52.003
		08.52.009
080.190	Bajo Vinalopó	08.99.098
		08.99.103

Tabla 3. Masas de agua subterránea y piezómetros representativos.

En este apartado, se incluye un mapa por masa de agua subterránea, con la ubicación de los piezómetros representativos que hay en la misma.

Además, para cada masa se muestran dos gráficos: uno con el histórico de medidas de nivel de cada punto desde el inicio de su serie histórica, y otro gráfico correspondiente al año hidrológico 2019/20 (octubre 2019 – septiembre 2020), en el que se representan cuatro series:

- Máximo de la serie del piezómetro: máximo nivel registrado en toda la serie histórica para cada mes.
- Promedio de la serie del piezómetro: promedio de las medidas de cada mes, en base a toda la serie histórica.
- Mínimo de la serie del piezómetro: mínimo nivel registrado en toda la serie histórica para cada mes.
- Mediciones de nivel (mensuales o bimestrales), realizadas en el año hidrológico 2019/20.

De esta forma, se obtiene una visión histórica del comportamiento del piezómetro, y a su vez es posible el análisis de cada mes, con el promedio, mínimo y máximo de su serie. Hay que destacar que las series calculadas (mínimo, máximo y promedio) que se muestran en los gráficos, se corresponden sólo a aquellos meses en los que hay medida,

por lo que en los puntos que se controlan de forma bimestral, habrá 6 medidas como máximo disponibles entre octubre de 2019 y septiembre de 2020.

Tras el análisis realizado, se ha caracterizado de forma cualitativa la evolución del nivel piezométrico del año hidrológico 2019/20, como: por encima o por debajo de la media, o sin variación significativa, respecto a su serie histórica. En el apartado 4 de este informe se incluye un resumen con los resultados por piezómetros para cada masa.

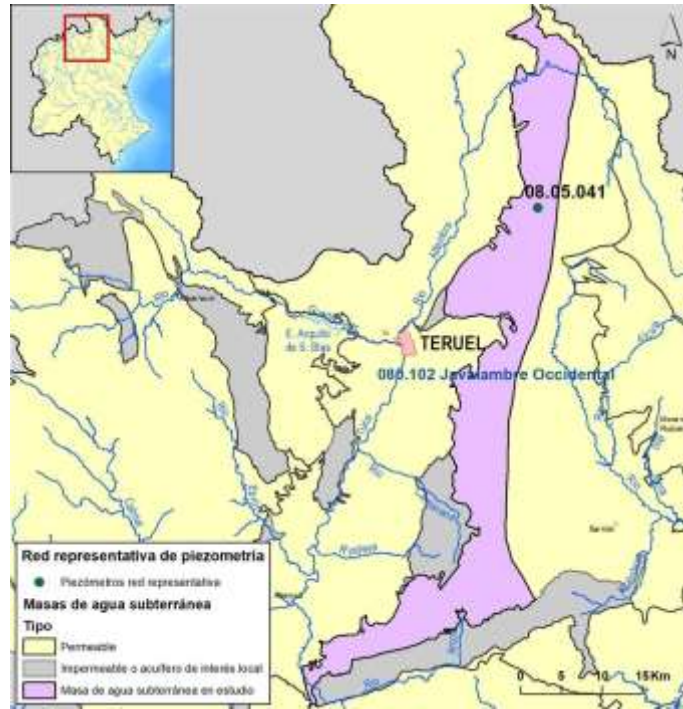


Figura 5. Red representativa en la masa de agua subterránea 080.102 Javalambre Occidental.

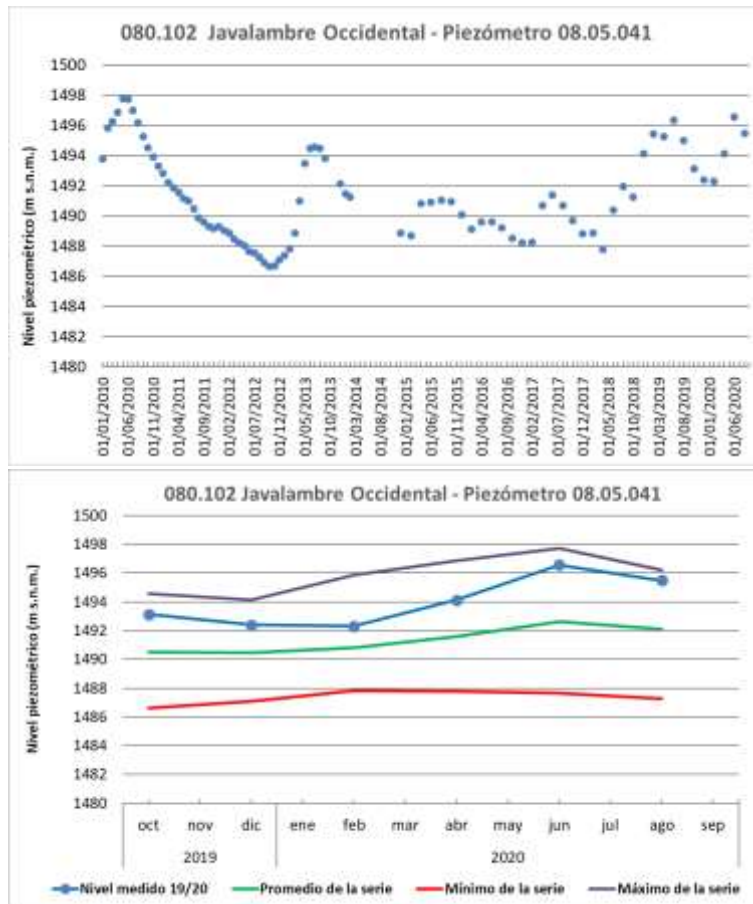


Figura 6. Piezometría en la masa de agua 080.102 Javalambre Occidental: serie histórica y año hidrológico 2019/20. Piezómetro 08.05.041.

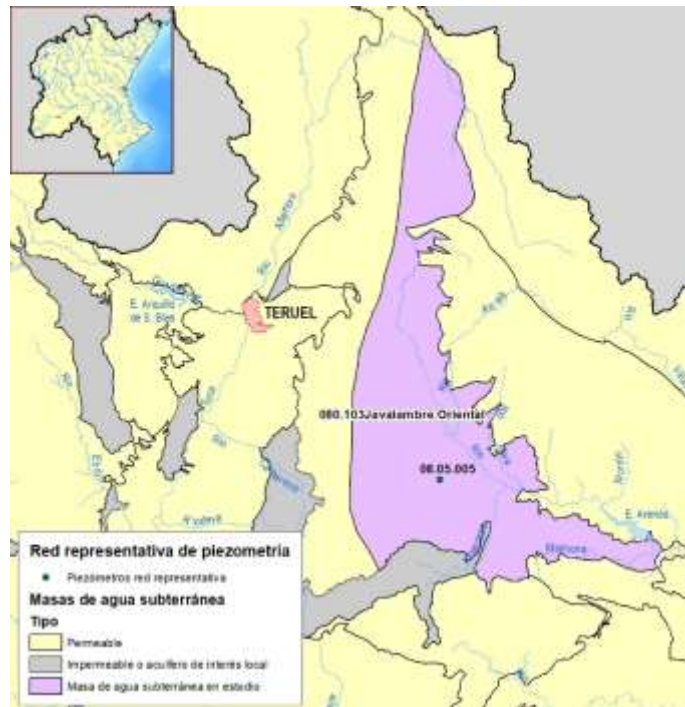


Figura 7. Red representativa en la masa de agua subterránea 080.103 Javalambre Oriental.

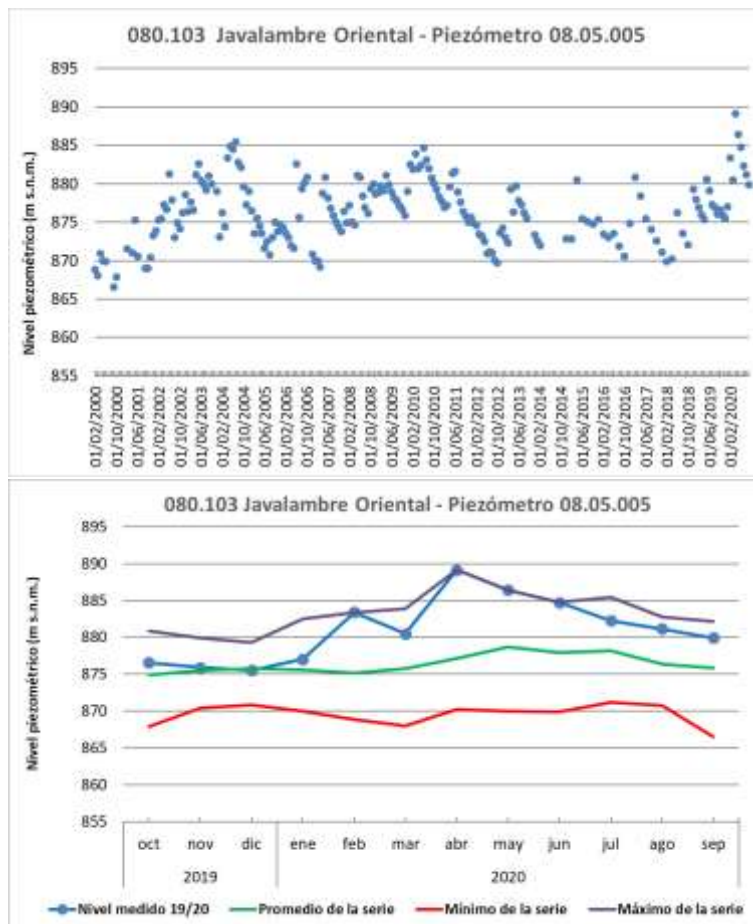


Figura 8. Piezometría en la masa de agua 080.103 Javalambre Oriental: serie histórica y año hidrológico 2019/20. Piezómetro 08.05.005.

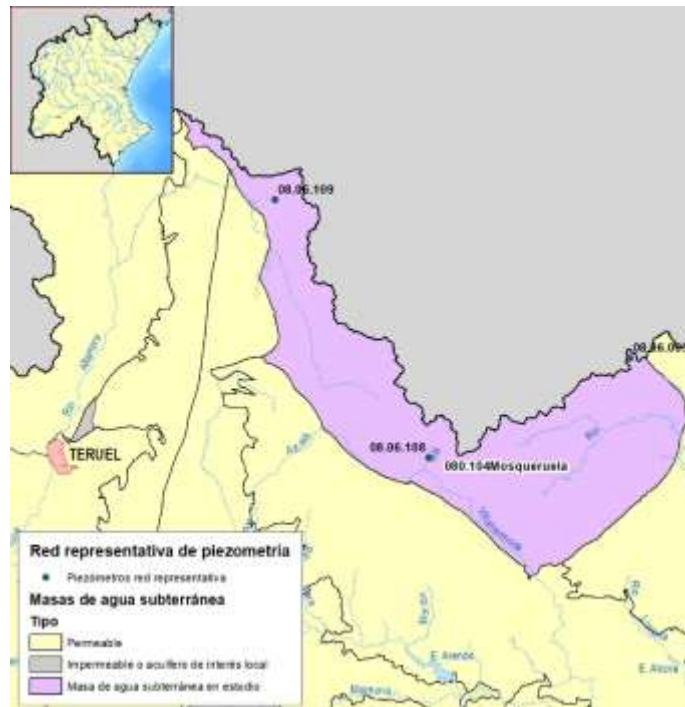


Figura 9. Red representativa en la masa de agua subterránea 080.104 Mosqueruela.

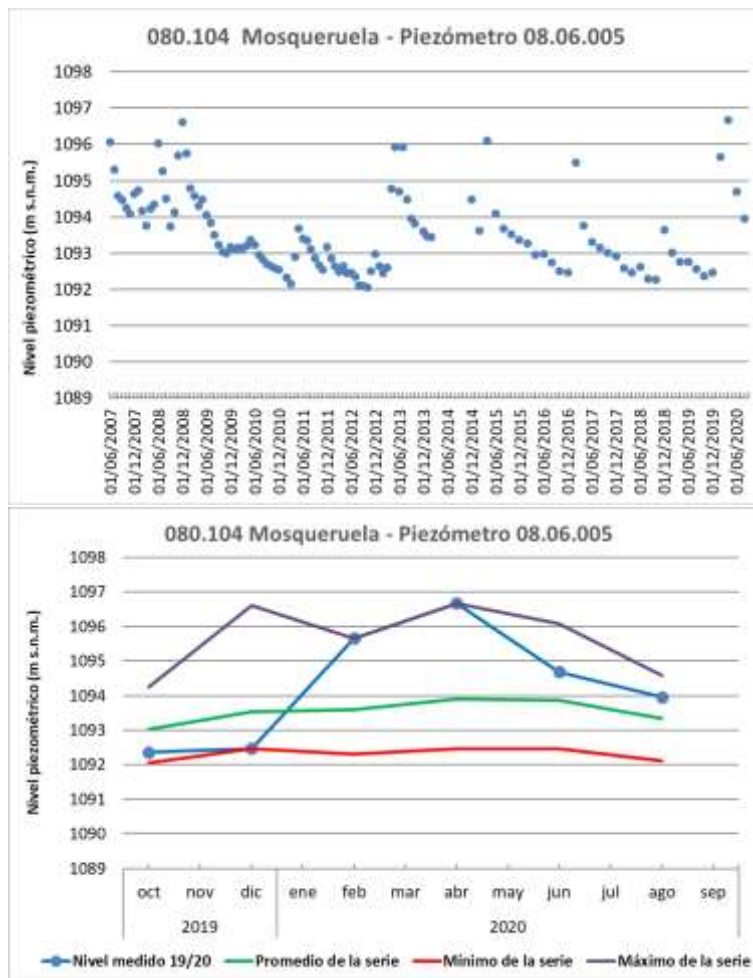


Figura 10. Piezometría en la masa de agua 080.104 Mosqueruela: serie histórica y año hidrológico 2019/20. Piezómetro 08.06.005.

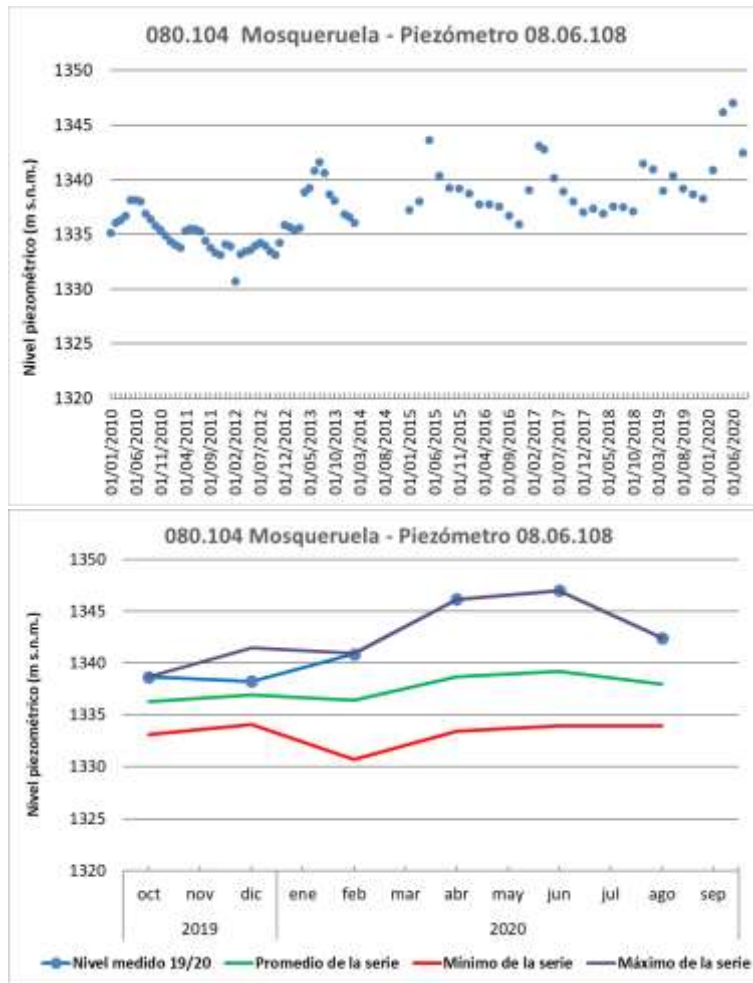


Figura 11. Piezometría en la masa de agua 080.104 Mosqueruela: serie histórica y año hidrológico 2019/20. Piezómetro 08.06.108.

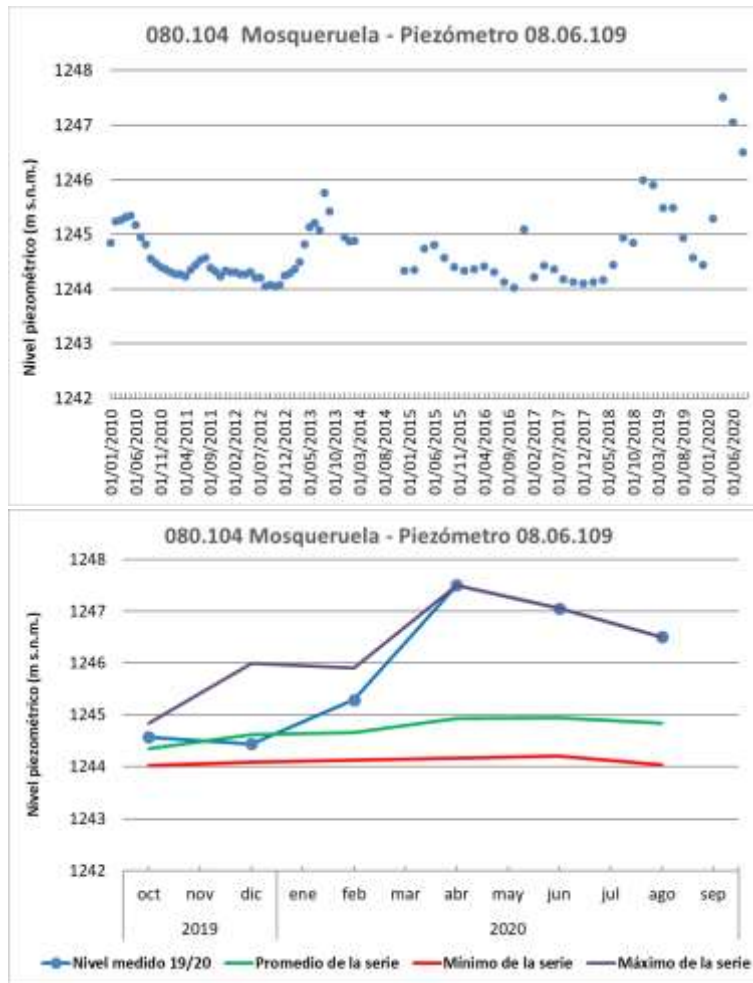


Figura 12. Piezometría en la masa de agua 080.104 Mosqueruela: serie histórica y año hidrológico 2019/20. Piezómetro 08.06.109.

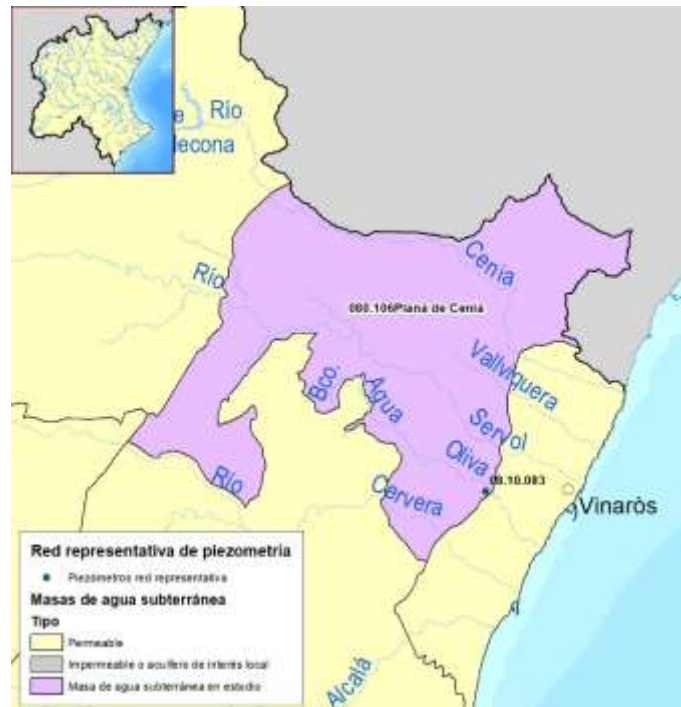


Figura 13. Red representativa en la masa de agua subterránea 080.106 Plana de Cenia.

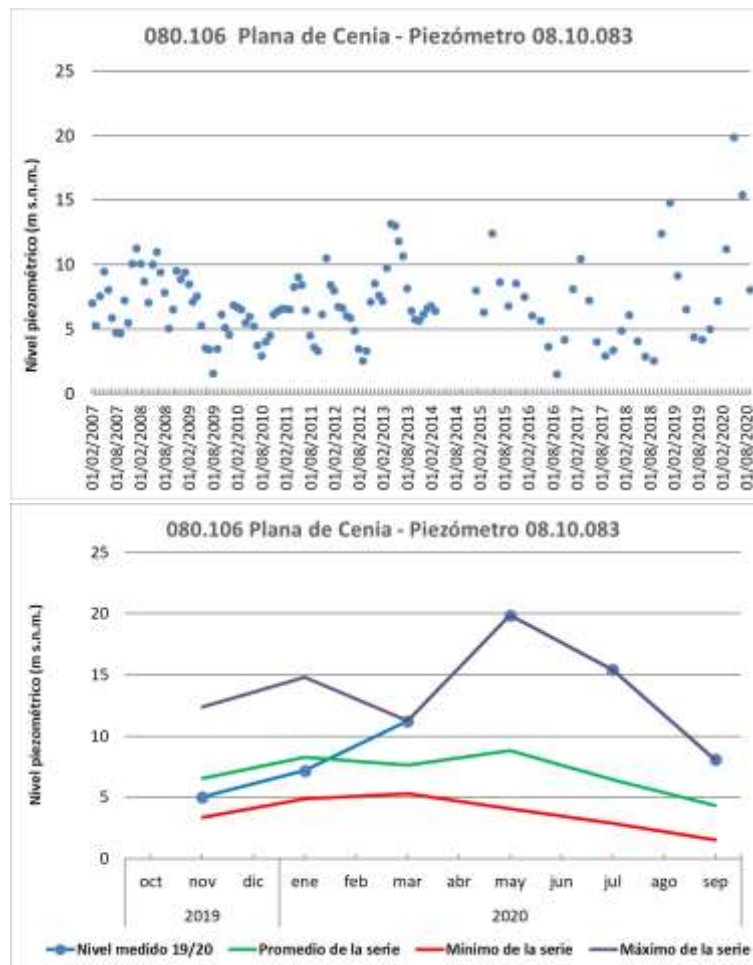


Figura 14. Piezometría en la masa de agua 080.106 Plana de Cenia: serie histórica y año hidrológico 2019/20. Piezómetro 08.10.083.



Figura 15. Red representativa en la masa de agua subterránea 080.107 Plana de Vinaroz.

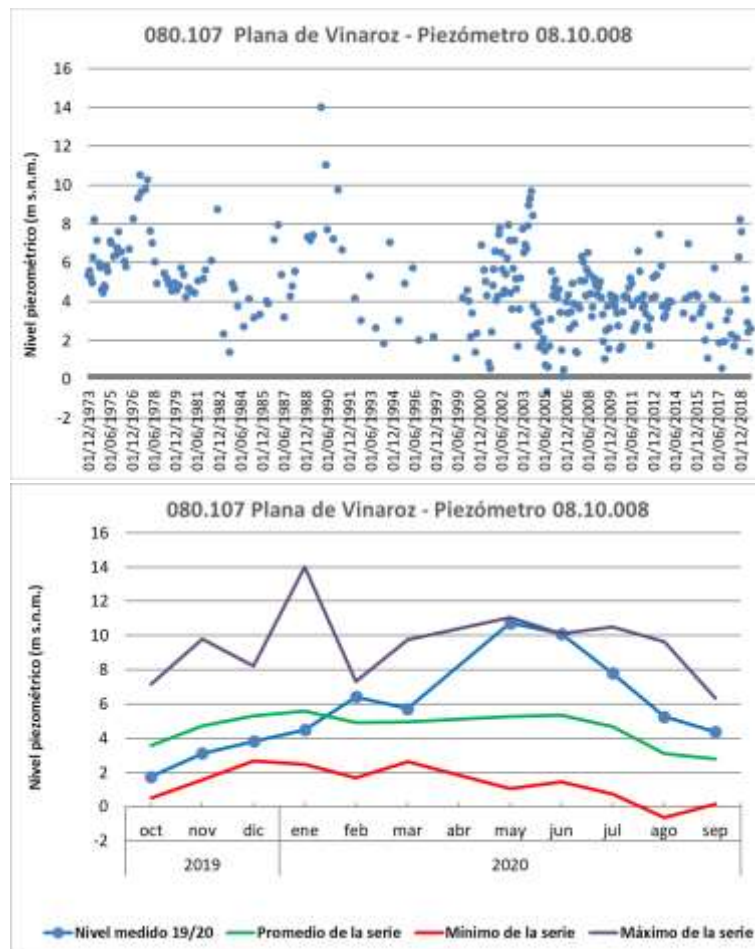


Figura 16. Piezometría en la masa de agua 080.107 Plana de Vinaroz: serie histórica y año hidrológico 2019/20. Piezómetro 08.10.008.

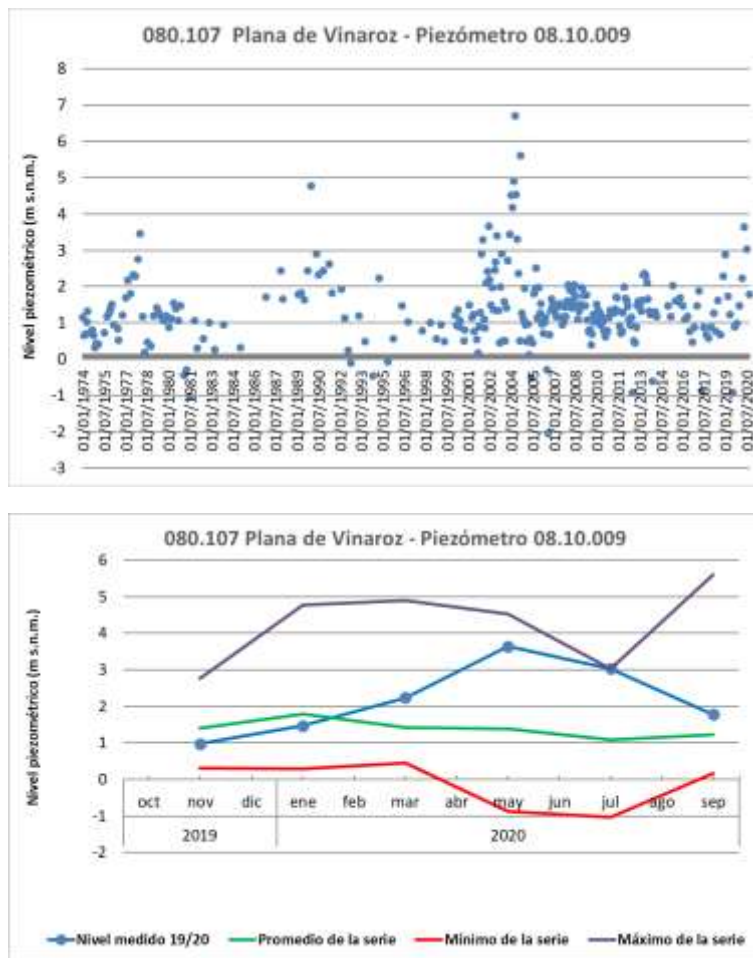


Figura 17. Piezometría en la masa de agua 080.107 Plana de Vinaroz: serie histórica y año hidrológico 2019/20. Piezómetro 08.10.009.



Figura 18. Red representativa en la masa de agua subterránea 080.108 Maestrazgo Occidental.

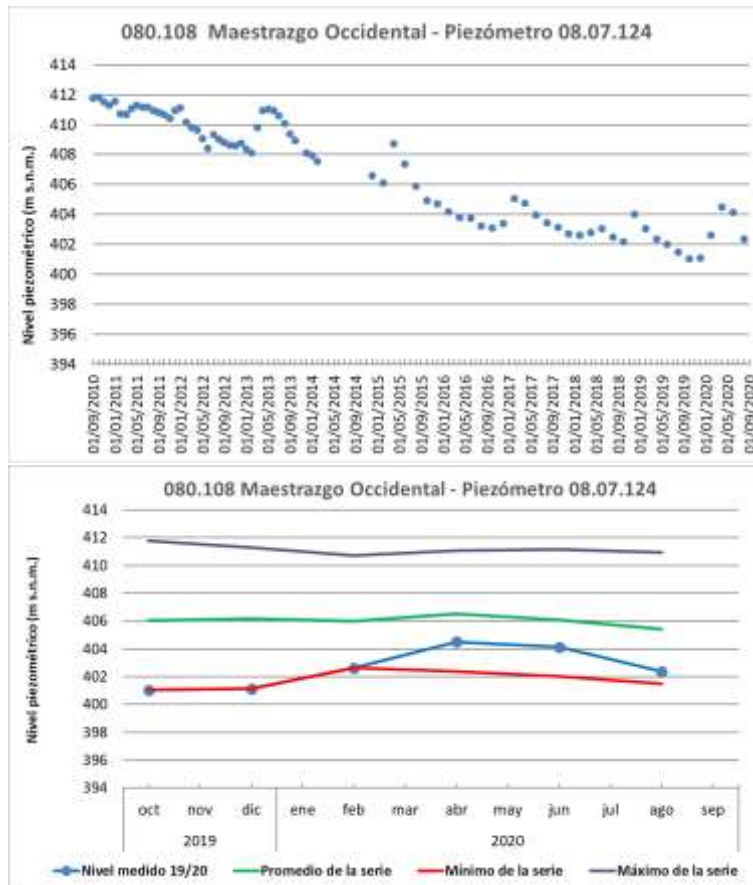


Figura 19. Piezometría en la masa de agua 080.108 Maestrazgo Occidental: serie histórica y año hidrológico 2019/20. Piezómetro 08.07.124.

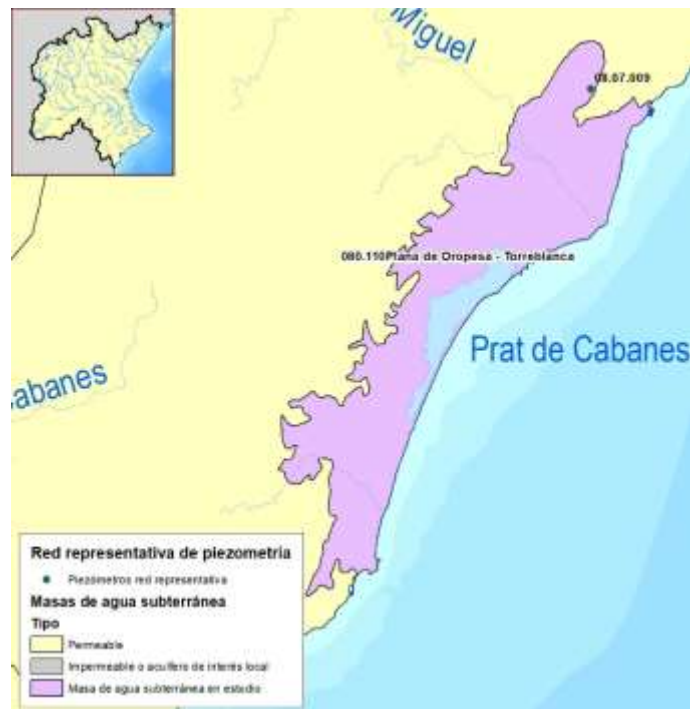


Figura 20. Red representativa en la masa de agua subterránea 080.110 Plana de Oropesa-Torreblanca.

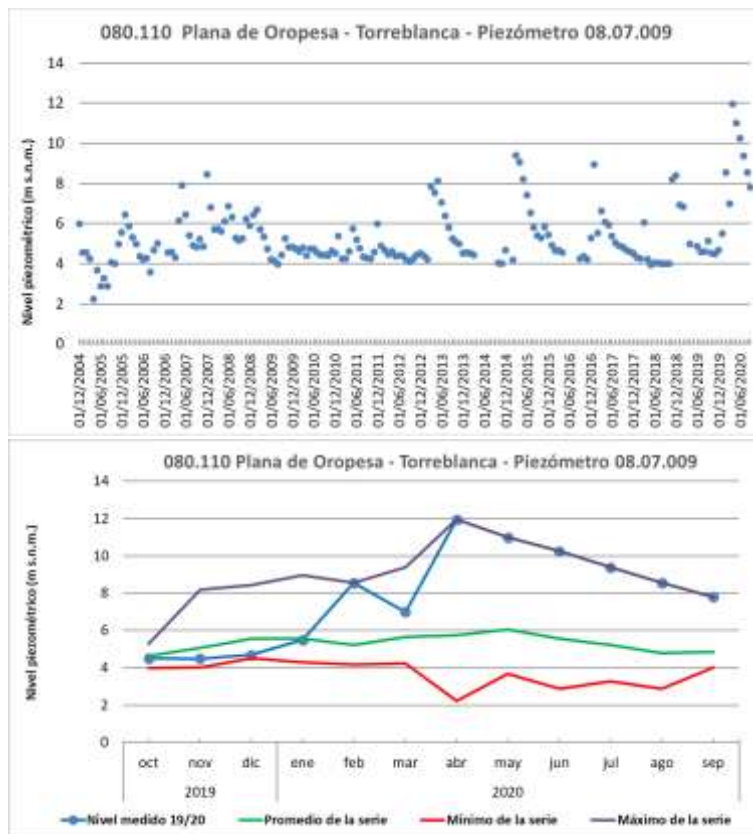


Figura 21. Piezometría en la masa de agua 080.110 Plana de Oropesa-Torreblanca: serie histórica y año hidrológico 2019/20. Piezómetro 08.07.009.

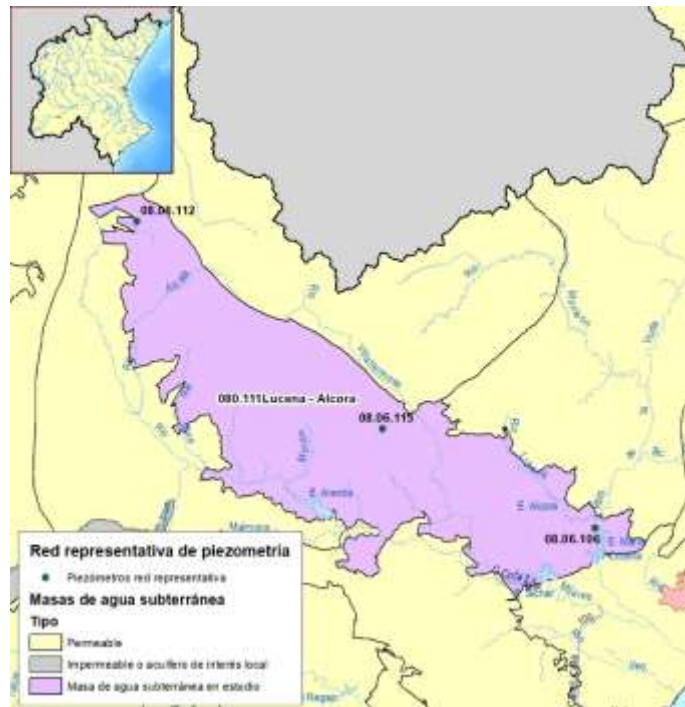


Figura 22. Red representativa en la masa de agua subterránea 080.111 Lucena-Alcora.

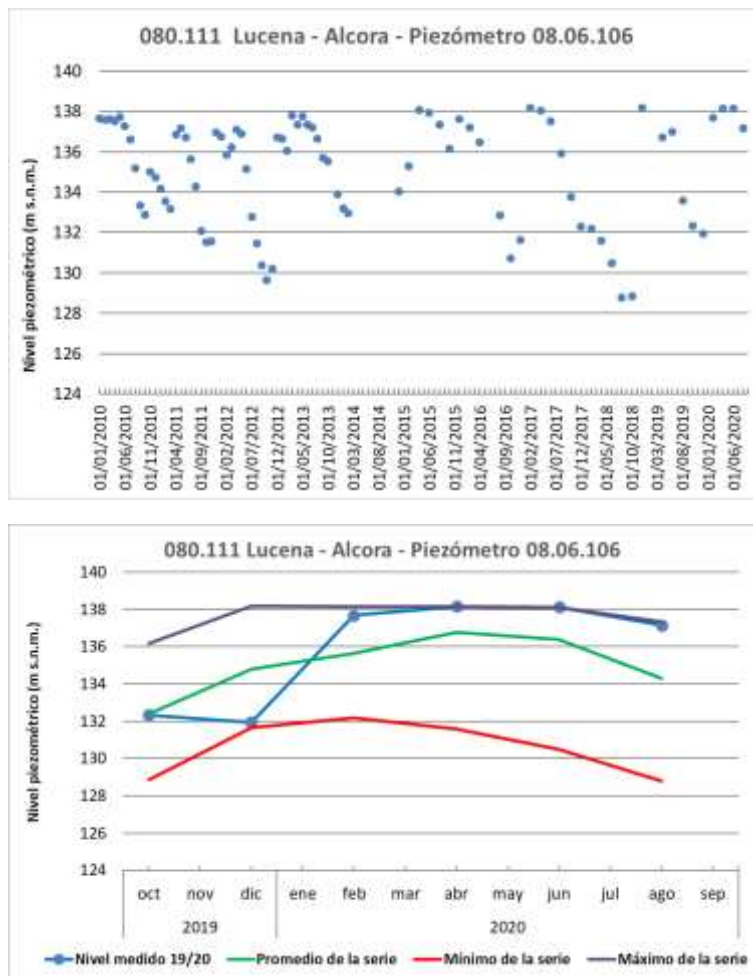


Figura 23. Piezometría en la masa de agua 080.111 Lucena-Alcora: serie histórica y año hidrológico 2019/20. Piezómetro 08.06.106.

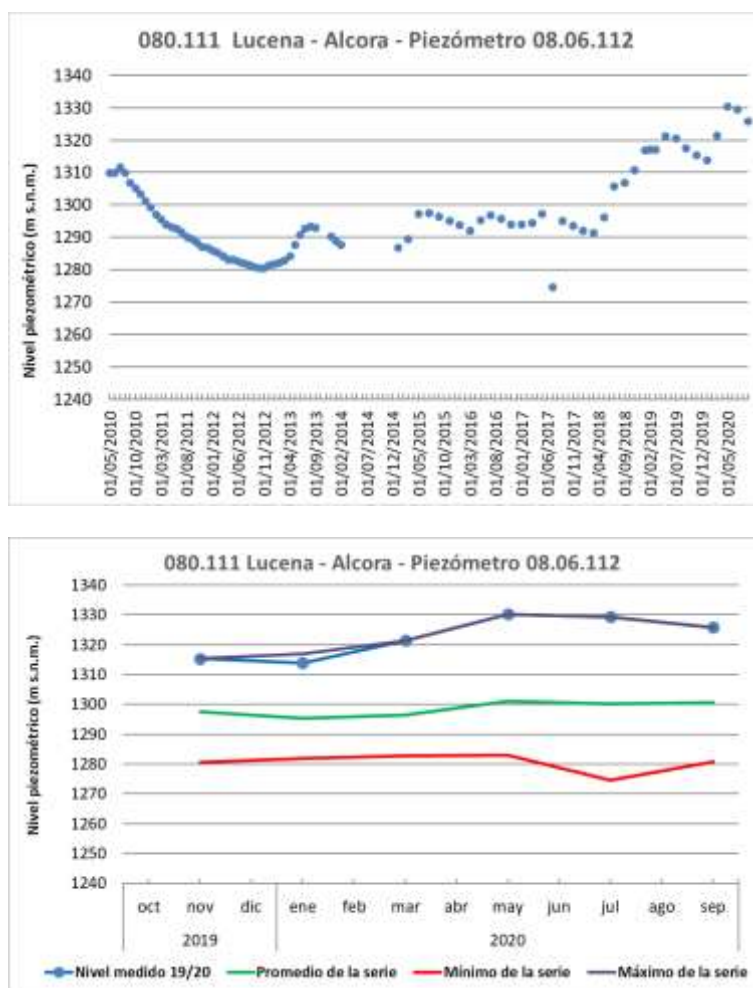


Figura 24. Piezometría en la masa de agua 080.111 Lucena-Alcora: serie histórica y año hidrológico 2019/20. Piezómetro 08.06.112.

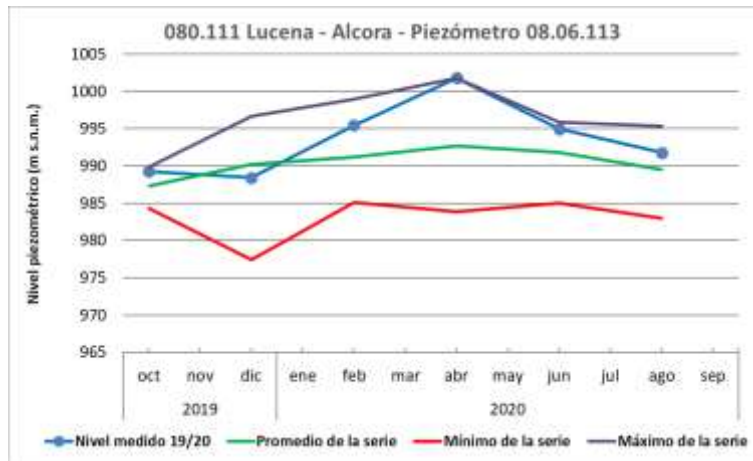
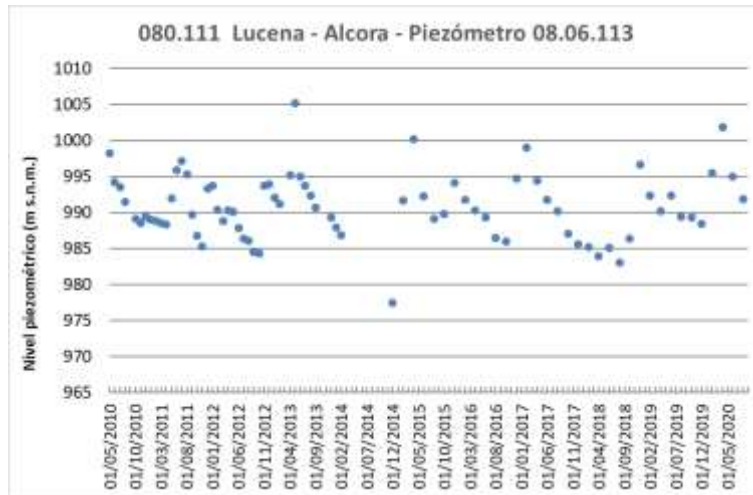


Figura 25. Piezometría en la masa de agua 080.111 Lucena-Alcora: serie histórica y año hidrológico 2019/20. Piezómetro 08.06.113.



Figura 26. Red representativa en la masa de agua subterránea 080.113 Arquillo.

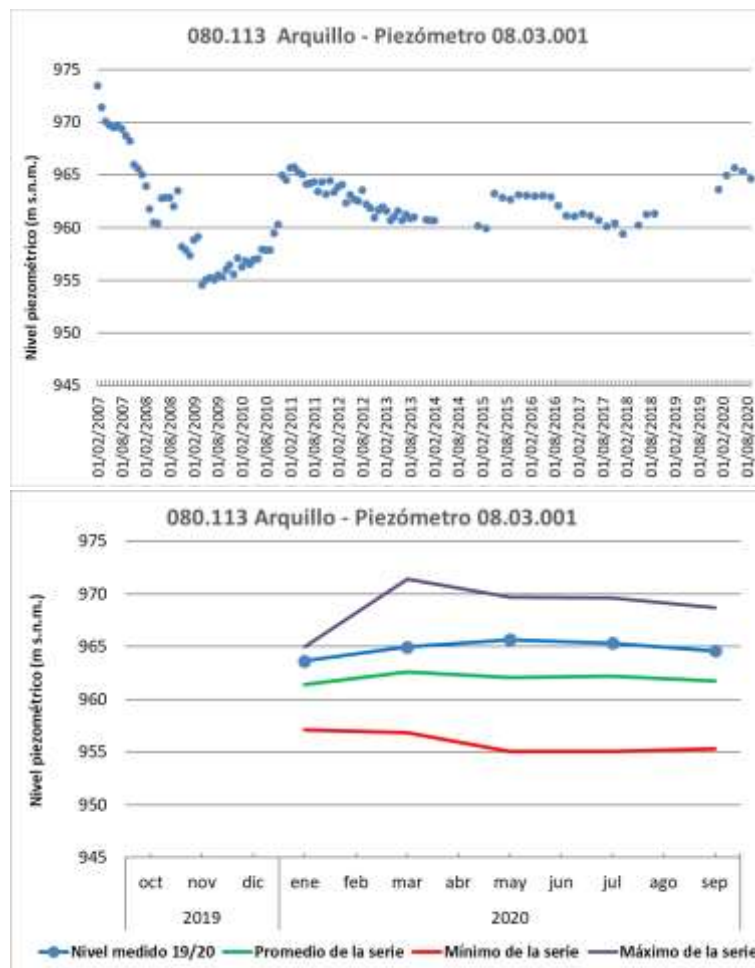


Figura 27. Piezometría en la masa de agua 080.113 Arquillo: serie histórica y año hidrológico 2019/20. Piezómetro 08.03.001.



Figura 28. Red representativa en la masa de agua subterránea 080.114 Gea de Albarracín.

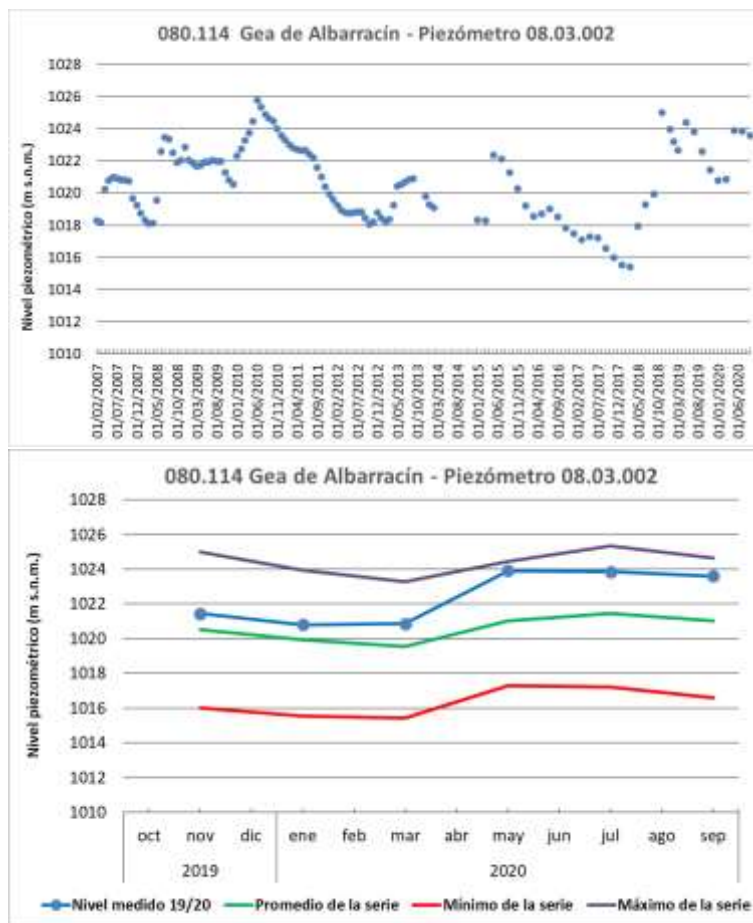


Figura 29. Piezometría en la masa de agua 080.114 Gea de Albarracín: serie histórica y año hidrológico 2019/20. Piezómetro 08.03.002.

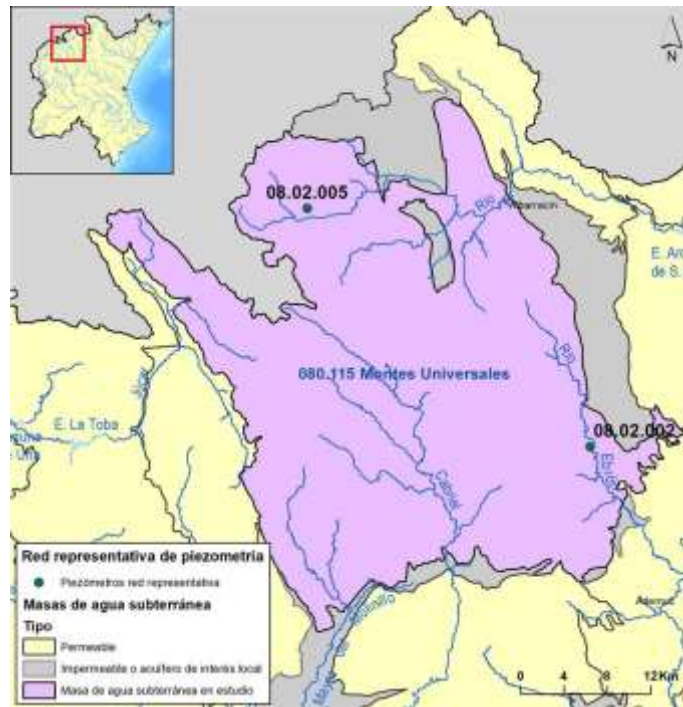


Figura 30. Red representativa en la masa de agua subterránea 080.115 Montes Universales.

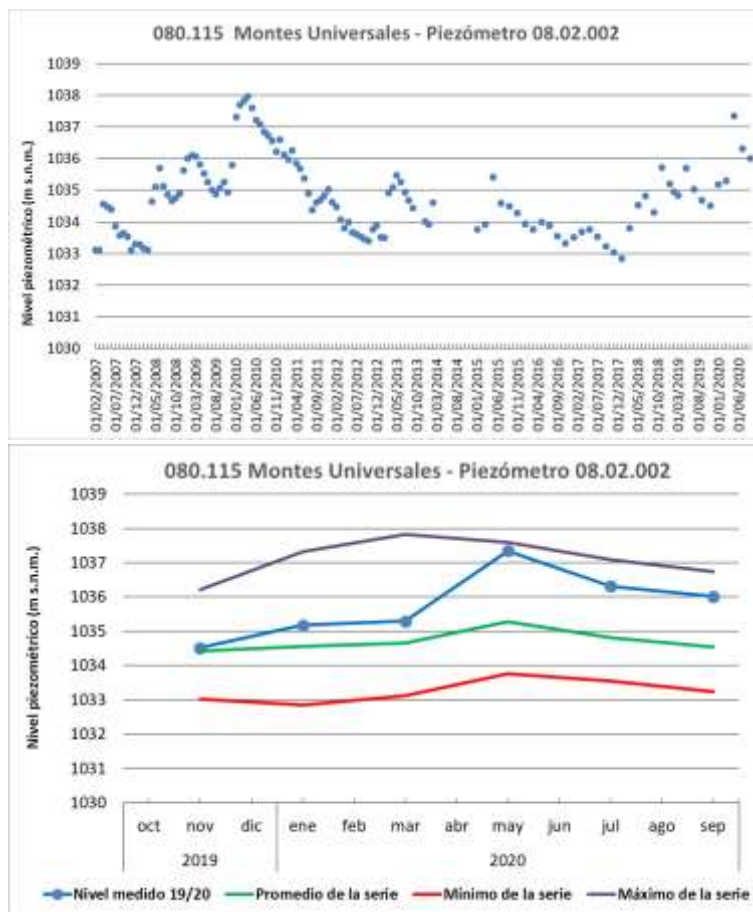


Figura 31. Piezometría en la masa de agua 080.115 Montes Universales: serie histórica y año hidrológico 2019/2020. Piezómetro 08.02.002.

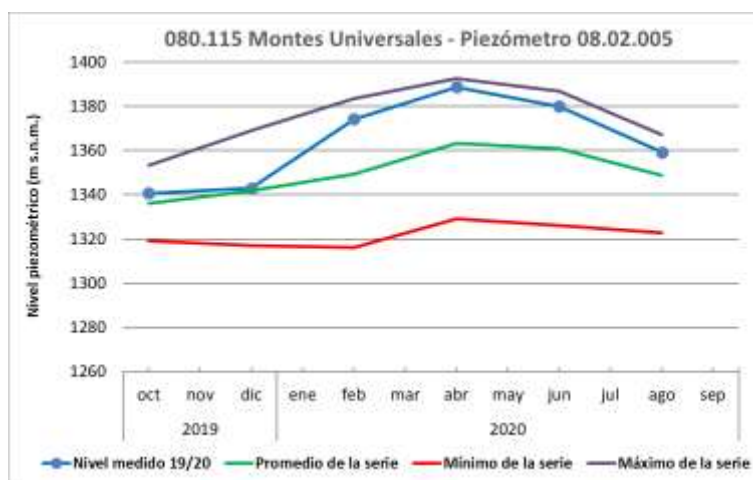
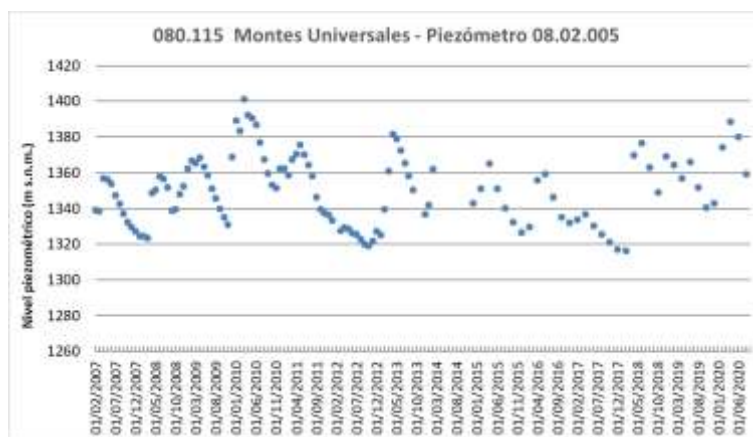


Figura 32. Piezometría en la masa de agua 080.115 Montes Universales: serie histórica y año hidrológico 2019/20. Piezómetro 08.02.005.



Figura 33. Red representativa en la masa de agua subterránea 080.117 Jurásico de Uña.

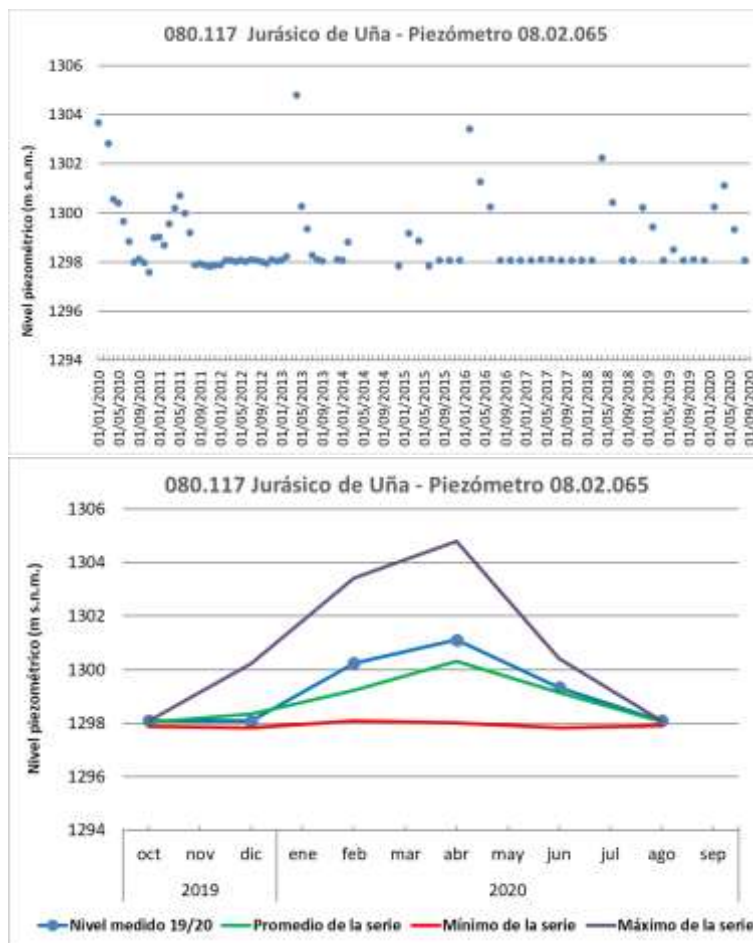


Figura 34. Piezometría en la masa de agua 080.117 Jurásico de Uña: serie histórica y año hidrológico 2019/20. Piezómetro 08.02.065.

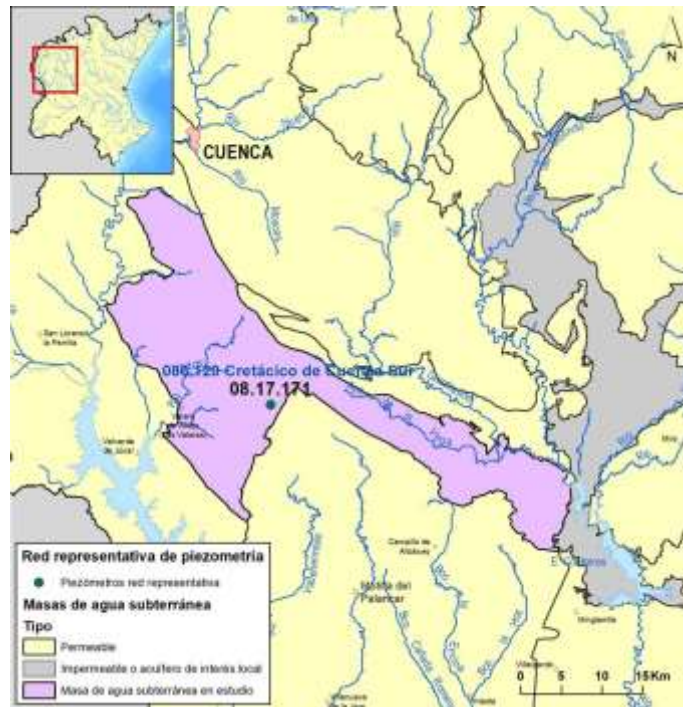


Figura 35. Red representativa en la masa de agua subterránea 080.120 Cretácico de cuenca Sur.

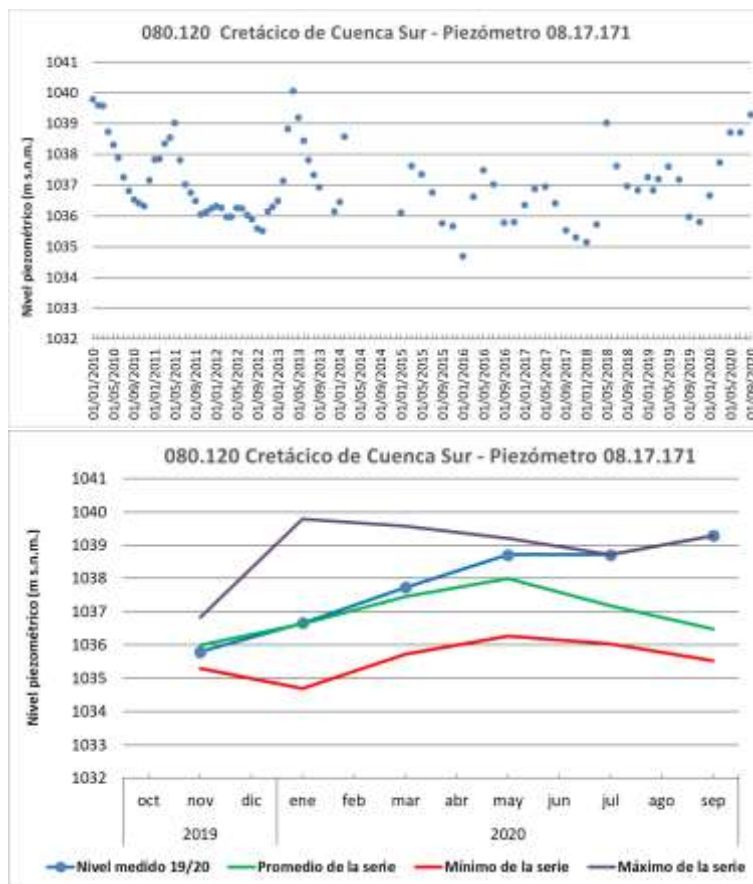


Figura 36. Piezometría en la masa de agua 080.120 Cretácico de cuenca Sur: serie histórica y año hidrológico 2019/20. Piezómetro 08.17.171.

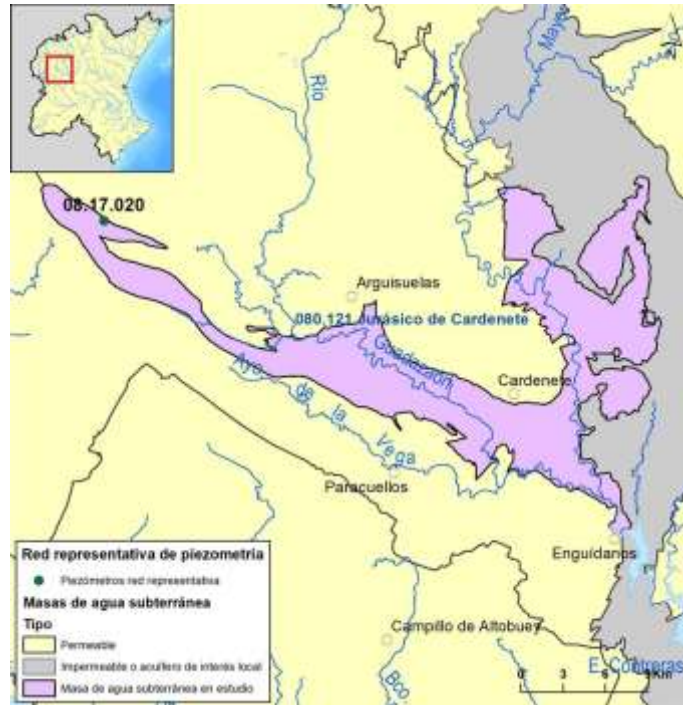


Figura 37. Red representativa en la masa de agua subterránea 080.121 Jurásico de Cardenete.

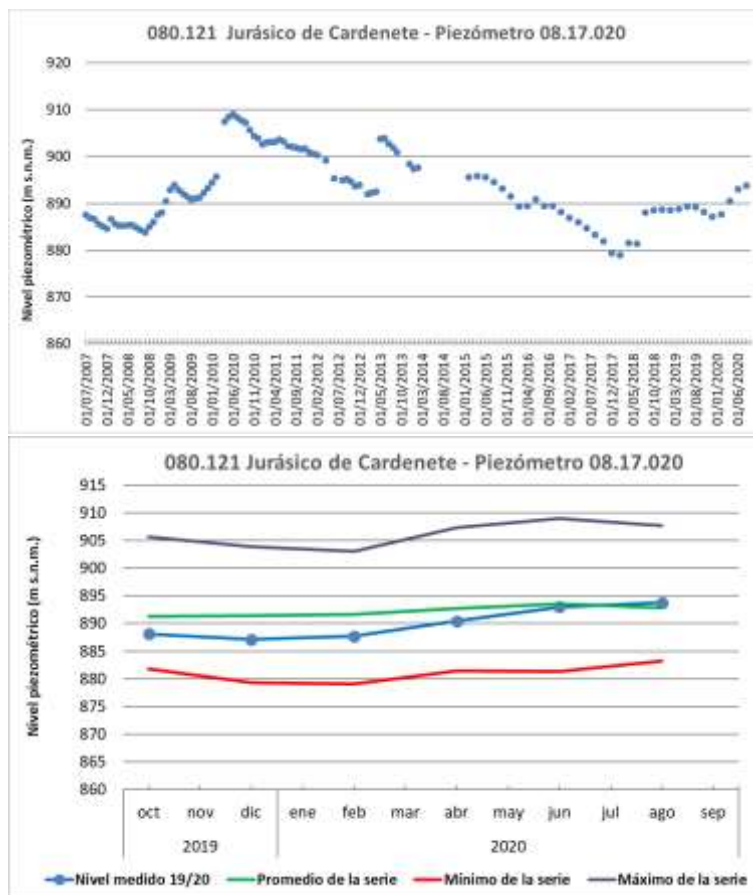


Figura 38. Piezometría en la masa de agua 080.121 Jurásico de Cardenete: serie histórica y año hidrológico 2019/20. Piezómetro 08.17.020.

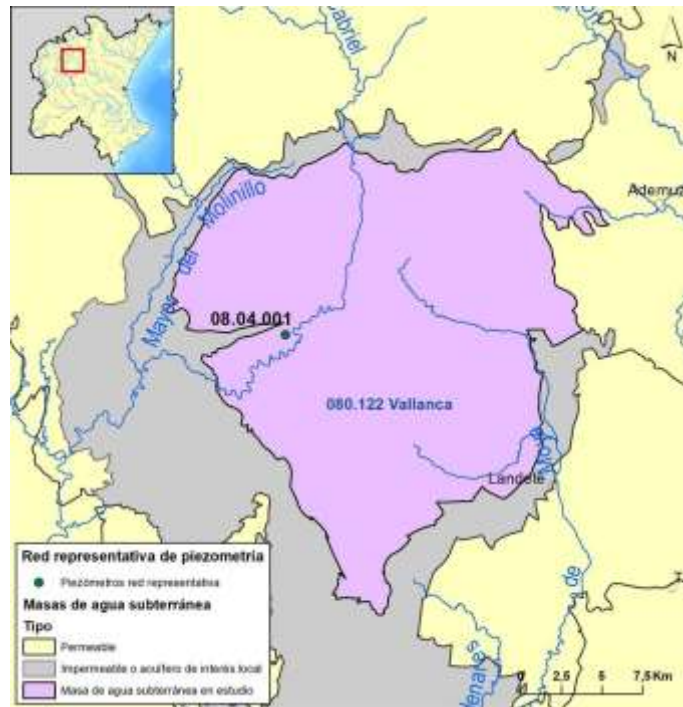


Figura 39. Red representativa en la masa de agua subterránea 080.122 Vallanca.

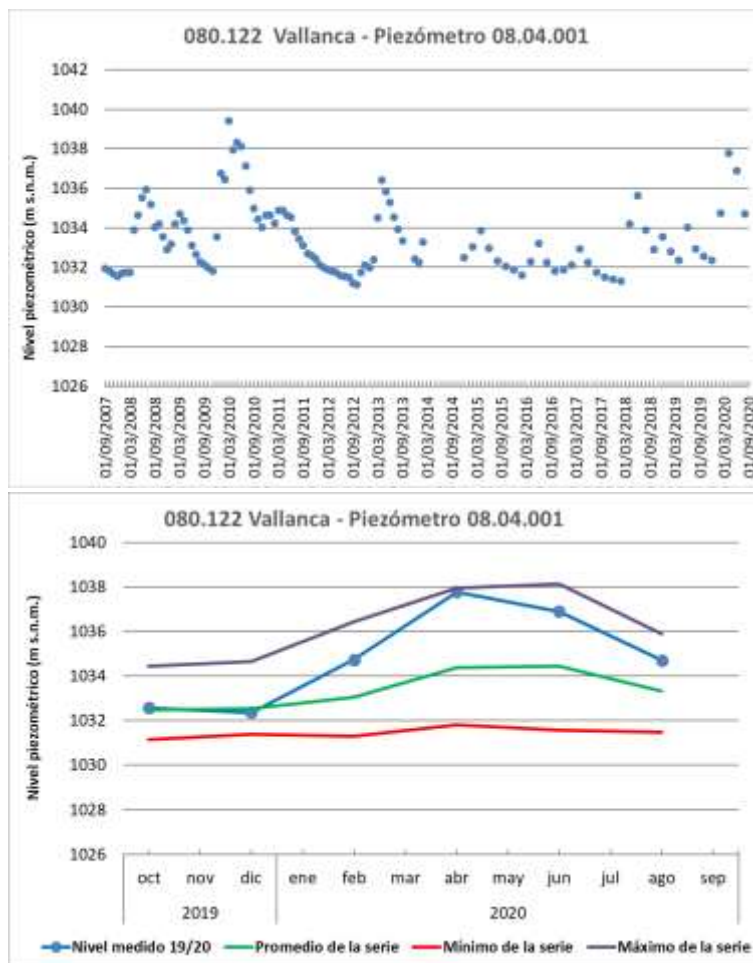


Figura 40. Piezometría en la masa de agua 080.122 Vallanca: serie histórica y año hidrológico 2019/20. Piezómetro 08.04.001.



Figura 41. Red representativa en la masa de agua subterránea 080.123 Alpuente.

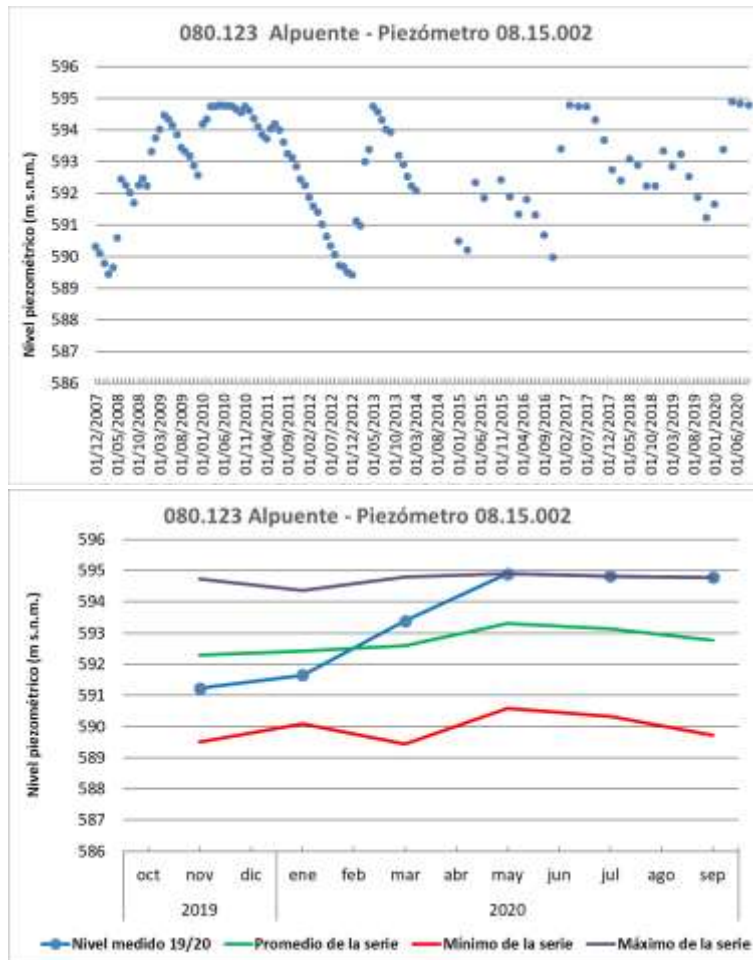


Figura 42. Piezometría en la masa de agua 080.123 Alpuente: serie histórica y año hidrológico 2019/20. Piezómetro 08.15.002.

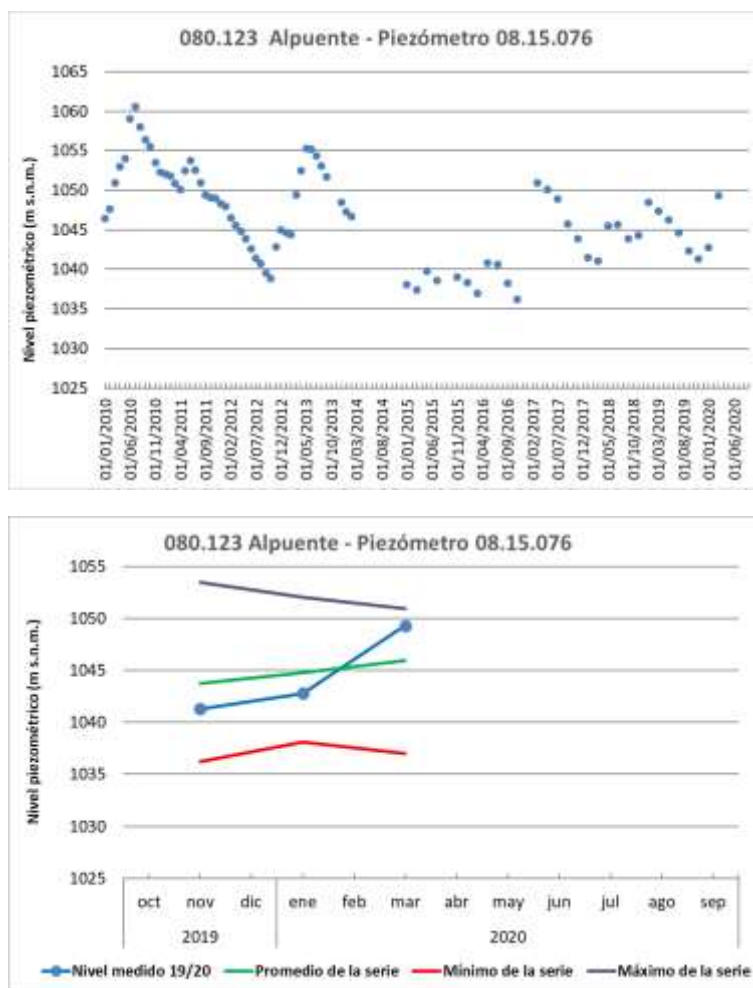


Figura 43. Piezometría en la masa de agua 080.123 Alpuente: serie histórica y año hidrológico 2019/20. Piezómetro 08.15.076.

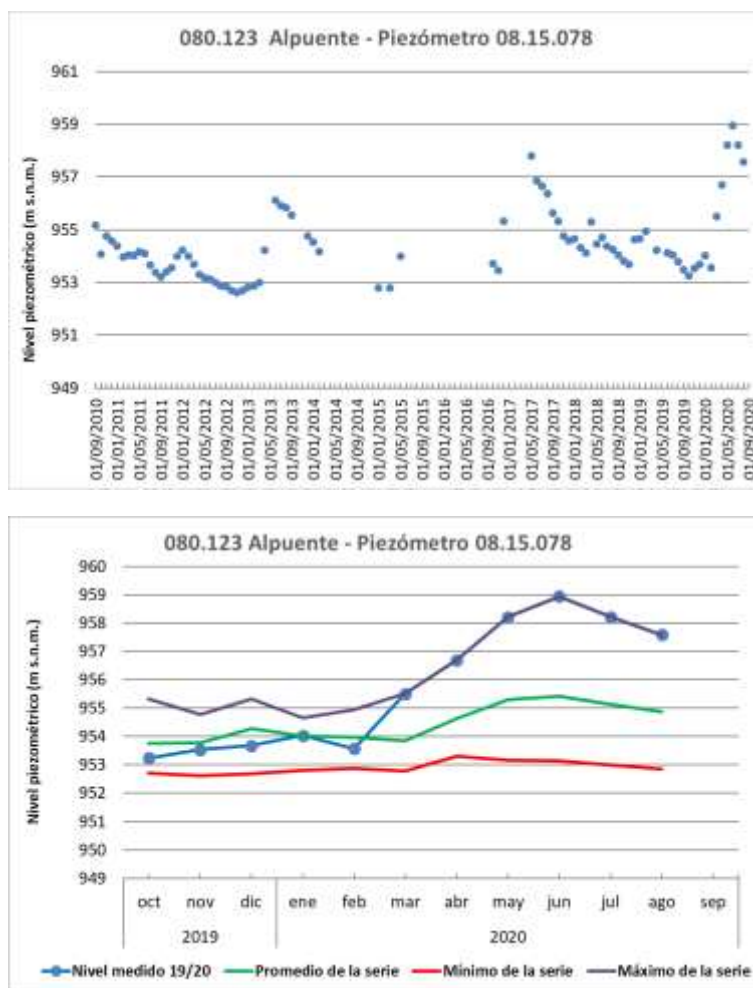


Figura 44. Piezometría en la masa de agua 080.123 Alpuente: serie histórica y año hidrológico 2019/20. Piezómetro 08.15.078.



Figura 45. Red representativa en la masa de agua subterránea 080.125 Jérica.

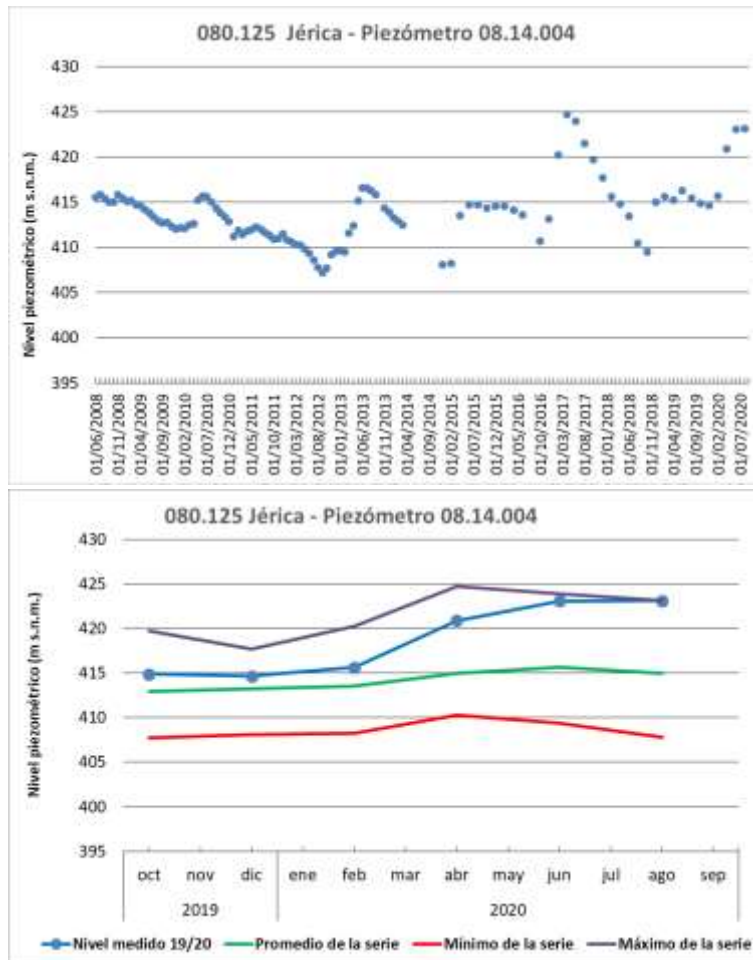


Figura 46. Piezometría en la masa de agua 080.125 Jérica: serie histórica y año hidrológico 2019/20. Piezómetro 08.14.004.



Figura 47. Red representativa en la masa de agua subterránea 080.126 Onda-Espadán.

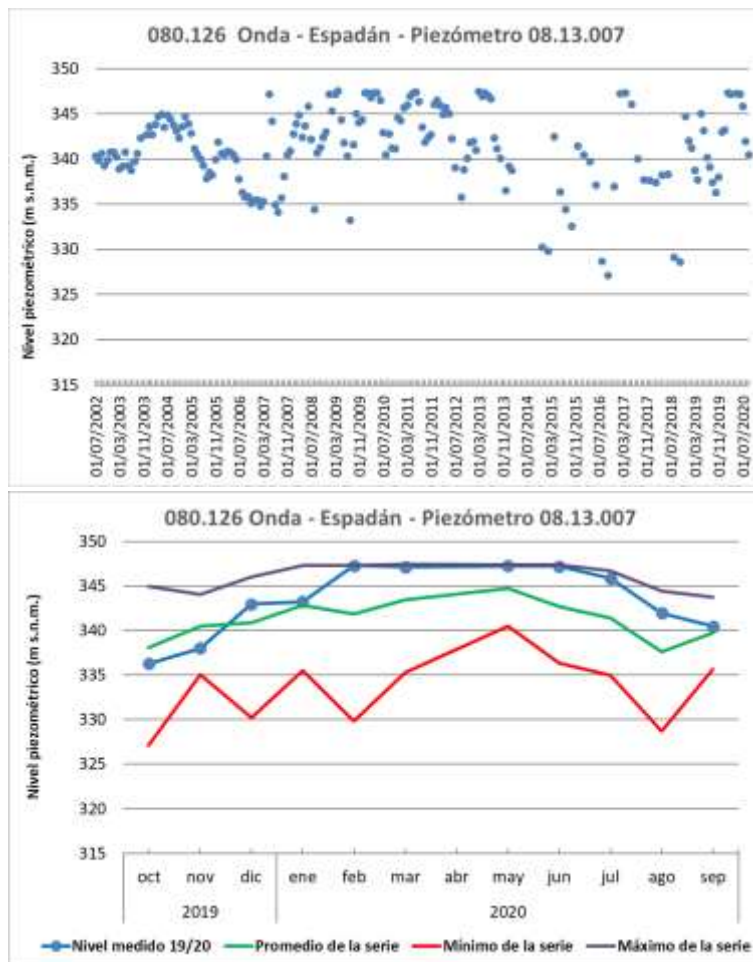


Figura 48. Piezometría en la masa de agua 080.126 Onda-Espadán: serie histórica y año hidrológico 2019/20. Piezómetro 08.13.007.



Figura 49. Red representativa en la masa de agua subterránea 080.127 Plana de Castellón.

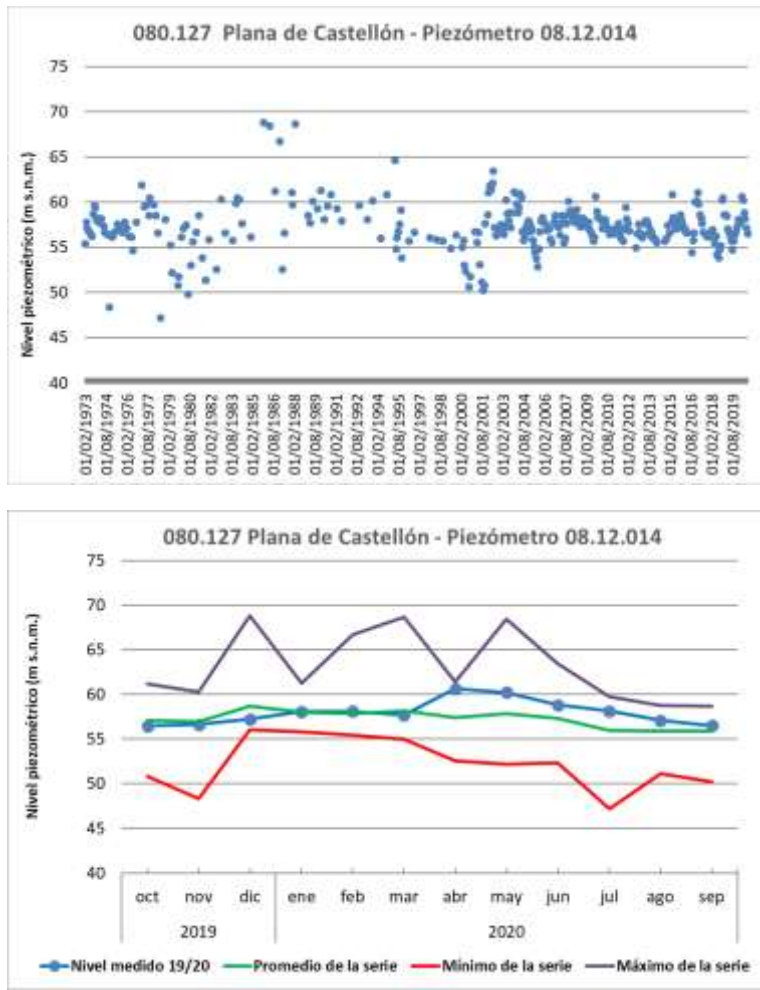


Figura 50. Piezometría en la masa de agua 080.127 Plana de Castellón: serie histórica y año hidrológico 2019/20. Piezómetro 08.12.014.

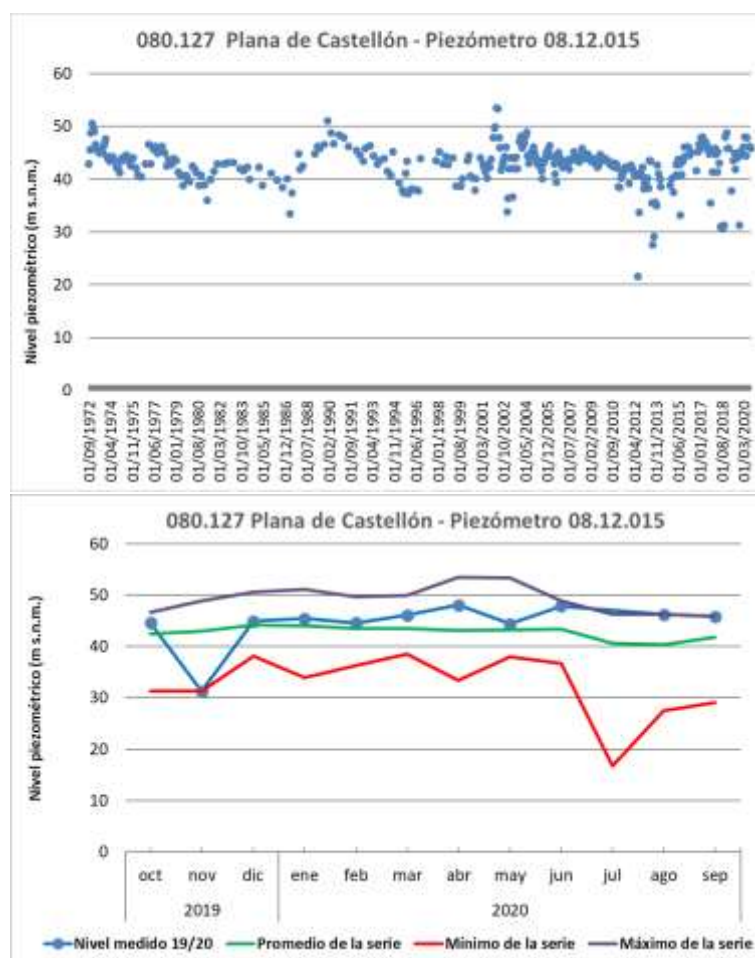


Figura 51. Piezometría en la masa de agua 080.127 Plana de Castellón: serie histórica y año hidrológico 2019/20. Piezómetro 08.12.015.

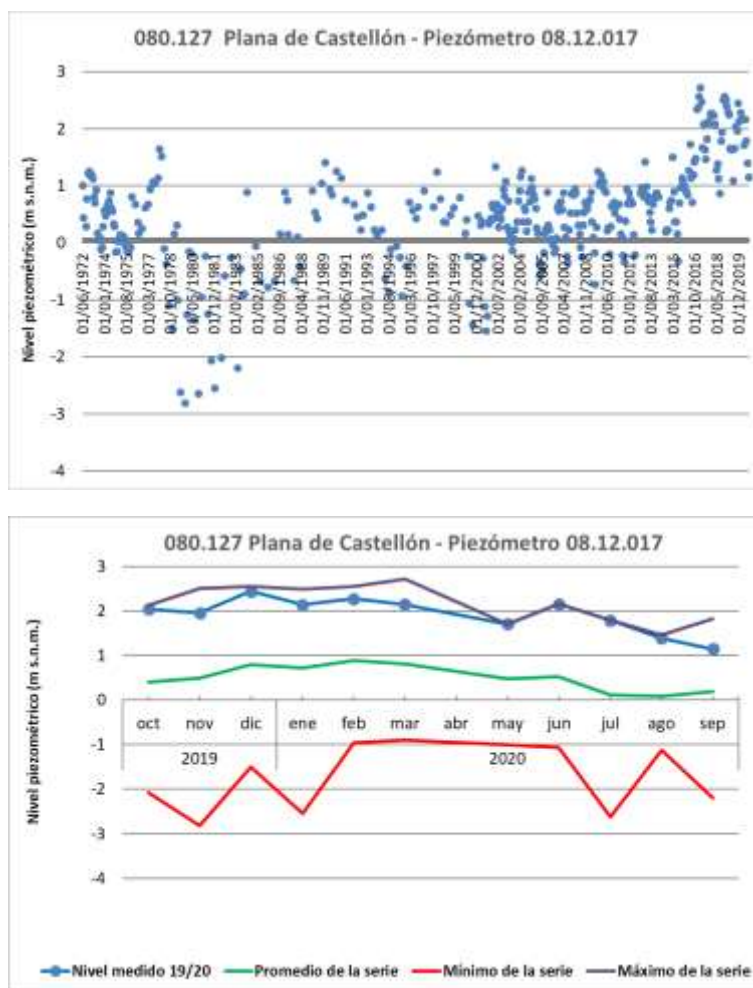


Figura 52. Piezometría en la masa de agua 080.127 Plana de Castellón: serie histórica y año hidrológico 2019/20. Piezómetro 08.12.017.

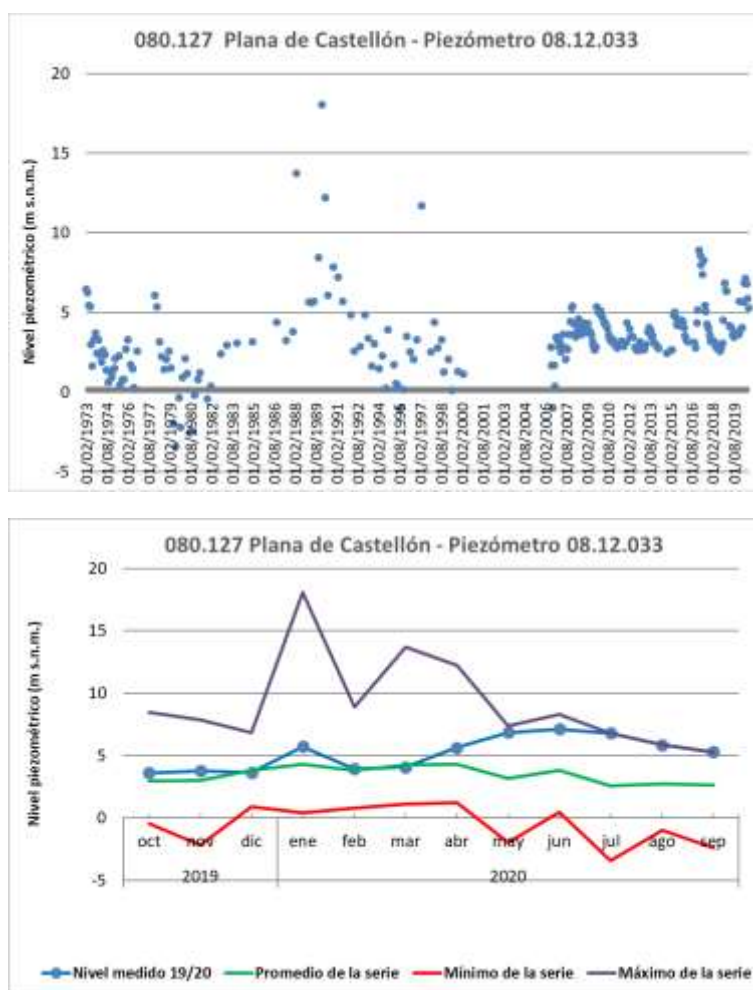


Figura 53. Piezometría en la masa de agua 080.127 Plana de Castellón: serie histórica y año hidrológico 2019/20. Piezómetro 08.12.033.



Figura 54. Red representativa en la masa de agua subterr nea 080.128 Plana de Sagunto.

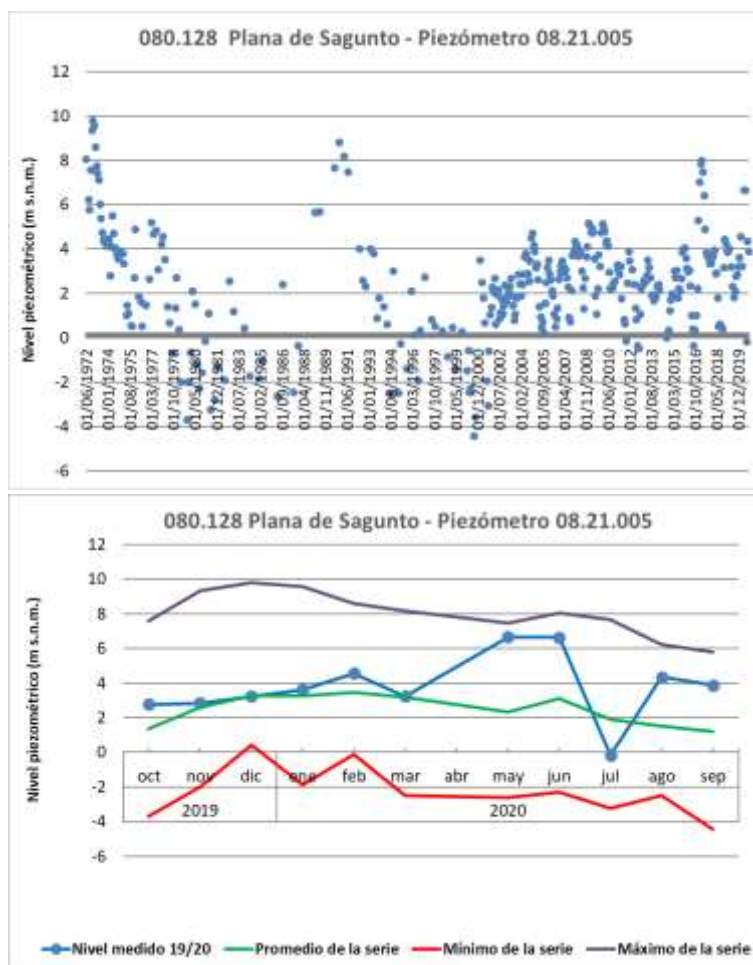


Figura 55. Piezometr a en la masa de agua 080.128 Plana de Sagunto: serie hist rica y a o hidrol gico 2019/20. Piez metro 08.21.005.

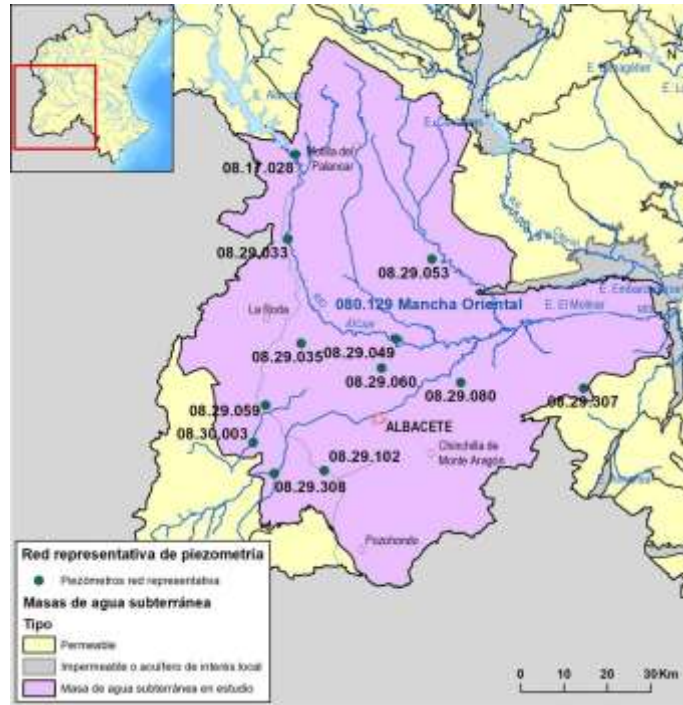


Figura 56. Red representativa en la masa de agua subterránea 080.129 Mancha Oriental.

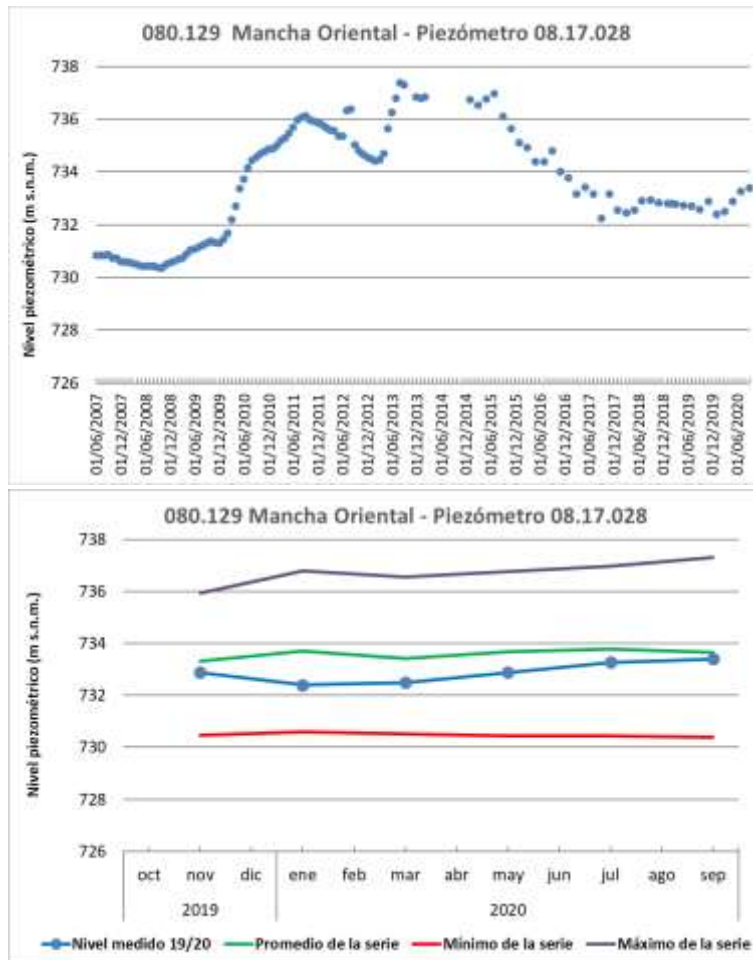


Figura 57. Piezometría en la masa de agua 080.129 Mancha Oriental: serie histórica y año hidrológico 2019/20. Piezómetro 08.17.028.

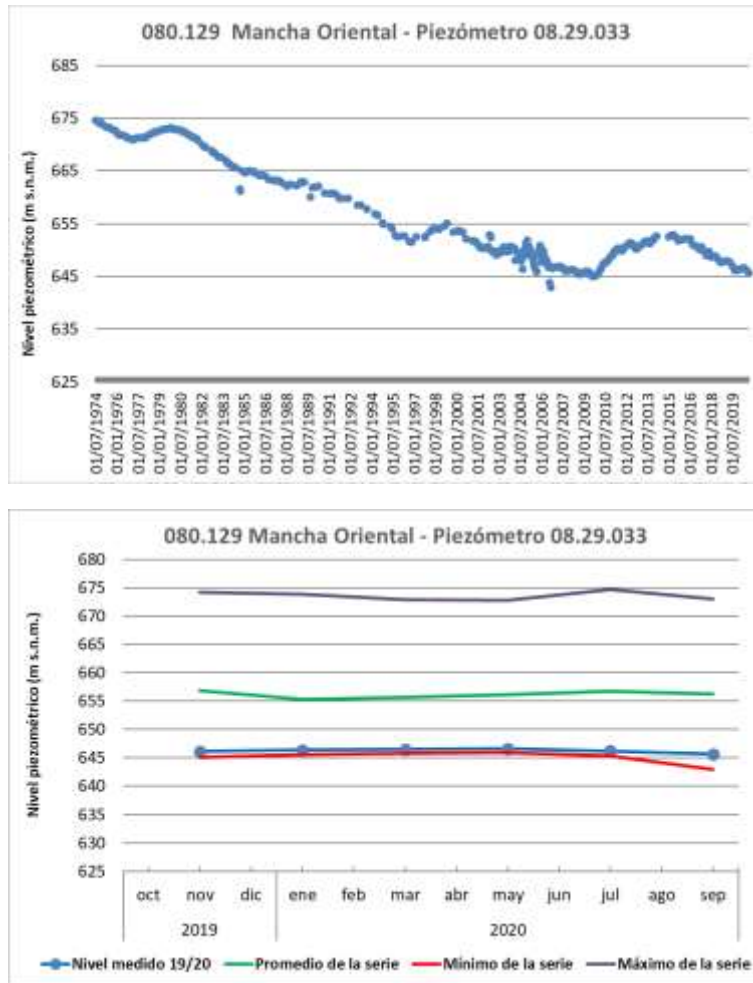


Figura 58. Piezometría en la masa de agua 080.129 Mancha Oriental: serie histórica y año hidrológico 2019/20. Piezómetro 08.29.033.

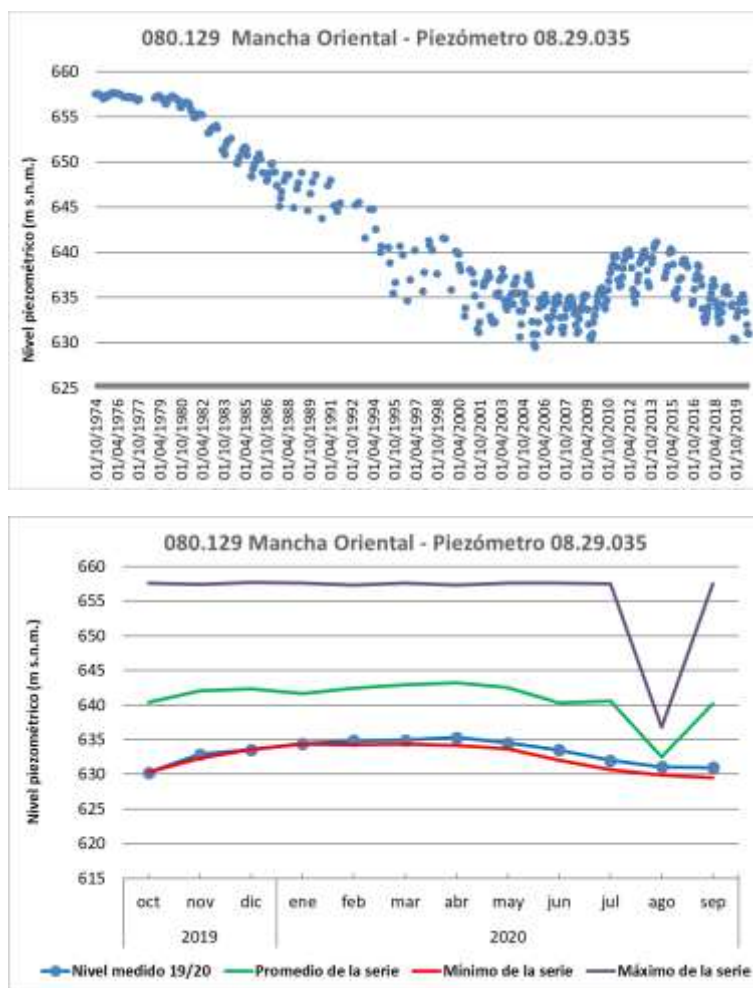


Figura 59. Piezometría en la masa de agua 080.129 Mancha Oriental: serie histórica y año hidrológico 2019/20. Piezómetro 08.29.035.

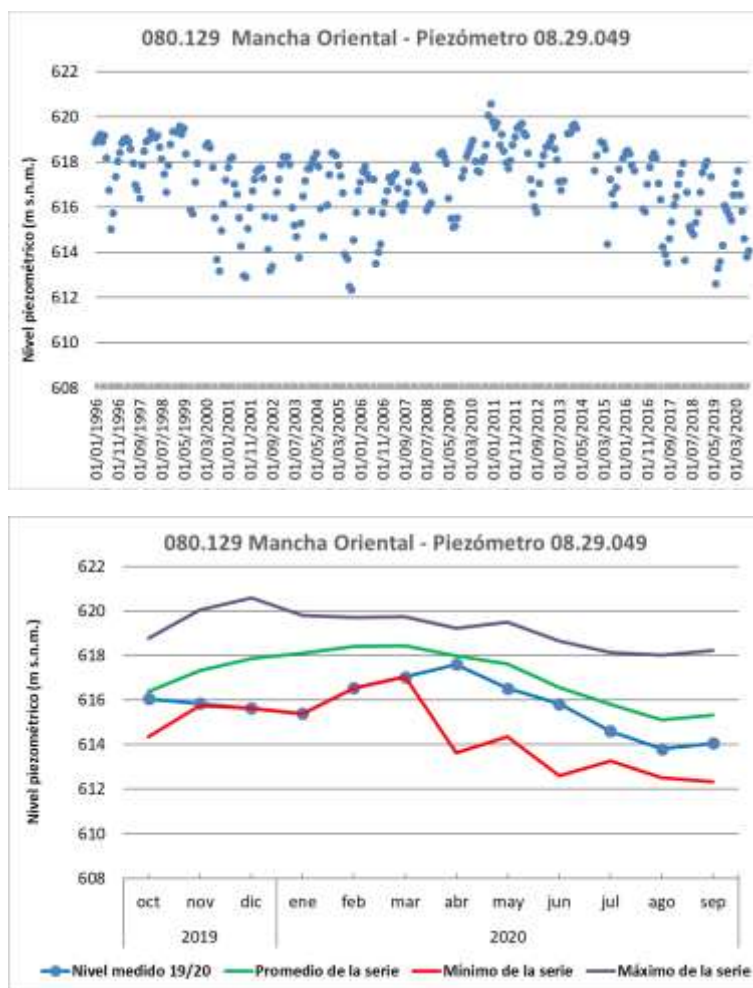


Figura 60. Piezometría en la masa de agua 080.129 Mancha Oriental: serie histórica y año hidrológico 2019/20. Piezómetro 08.29.049.

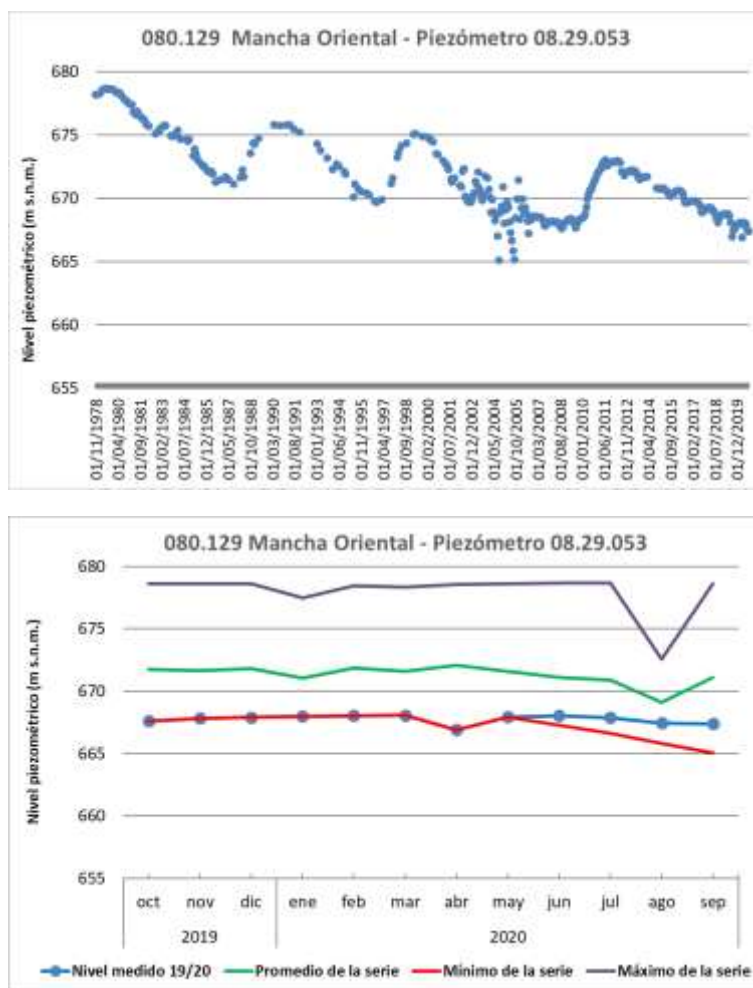


Figura 61. Piezometría en la masa de agua 080.129 Mancha Oriental: serie histórica y año hidrológico 2019/20. Piezómetro 08.29.053.

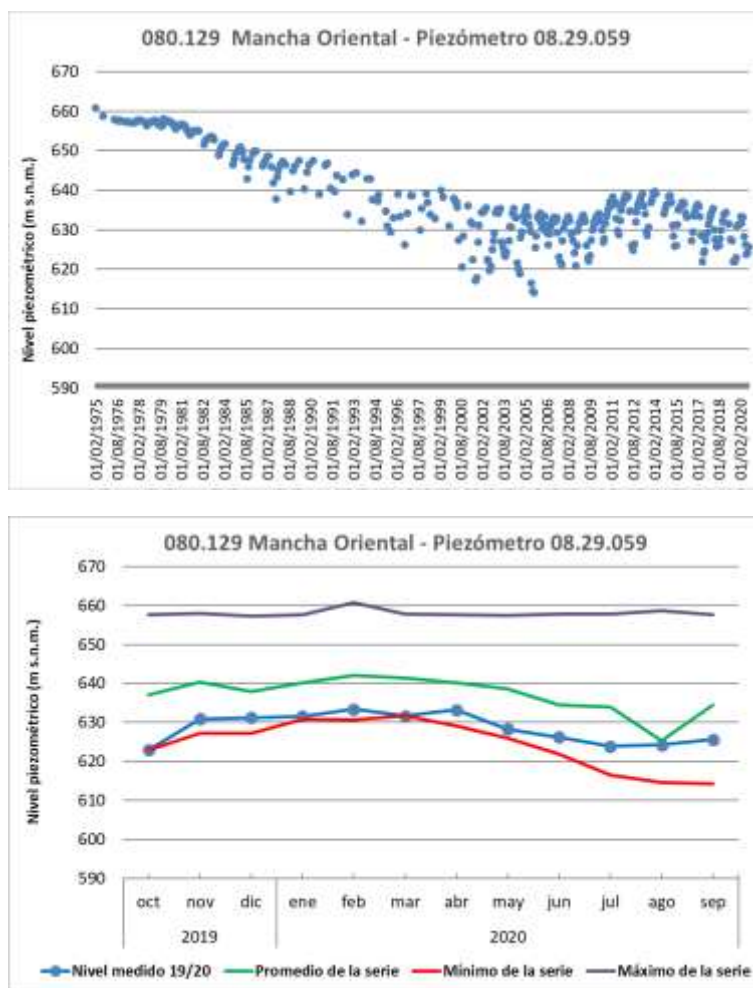


Figura 62. Piezometría en la masa de agua 080.129 Mancha Oriental: serie histórica y año hidrológico 2019/20. Piezómetro 08.29.059.

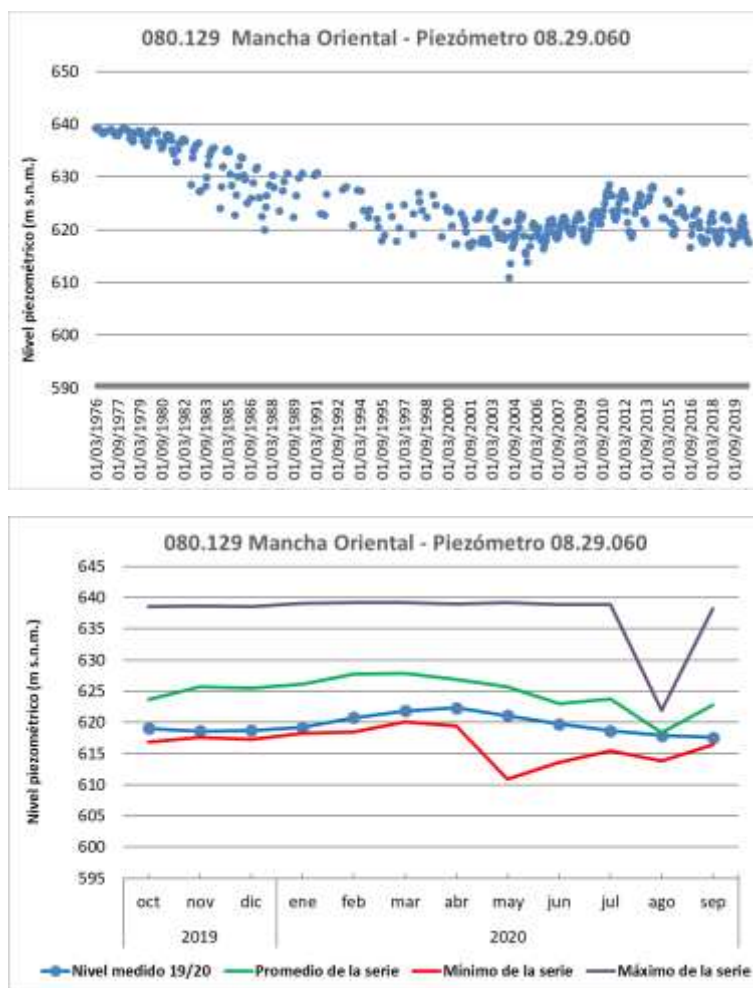


Figura 63. Piezometría en la masa de agua 080.129 Mancha Oriental: serie histórica y año hidrológico 2019/20. Piezómetro 08.29.060.

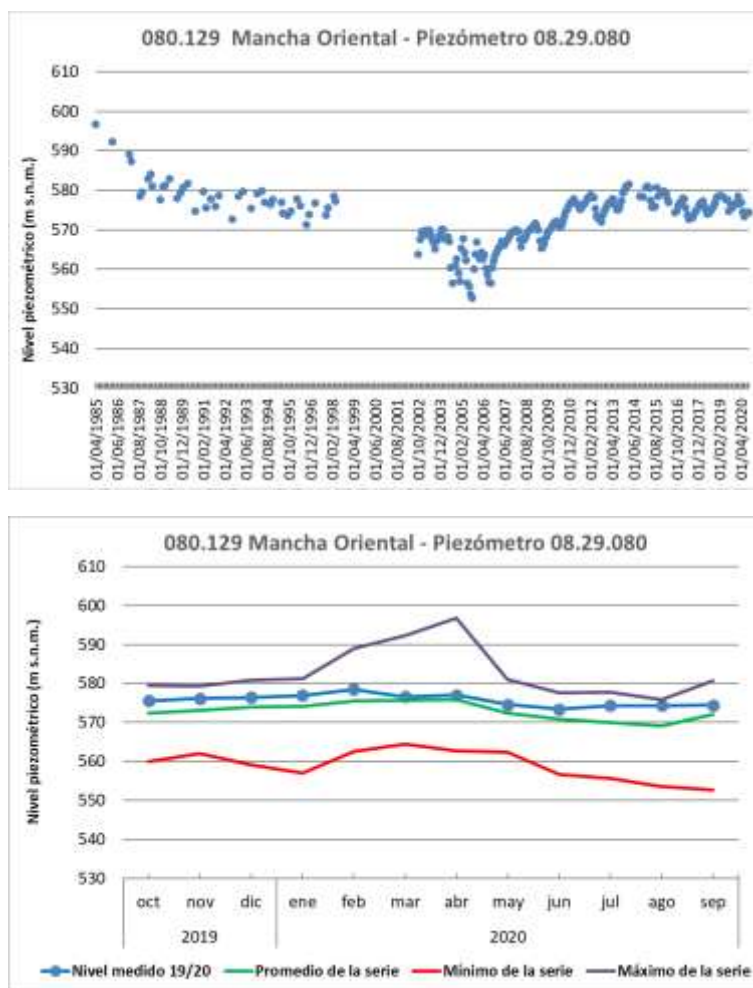


Figura 64. Piezometría en la masa de agua 080.129 Mancha Oriental: serie histórica y año hidrológico 2019/20. Piezómetro 08.29.080.

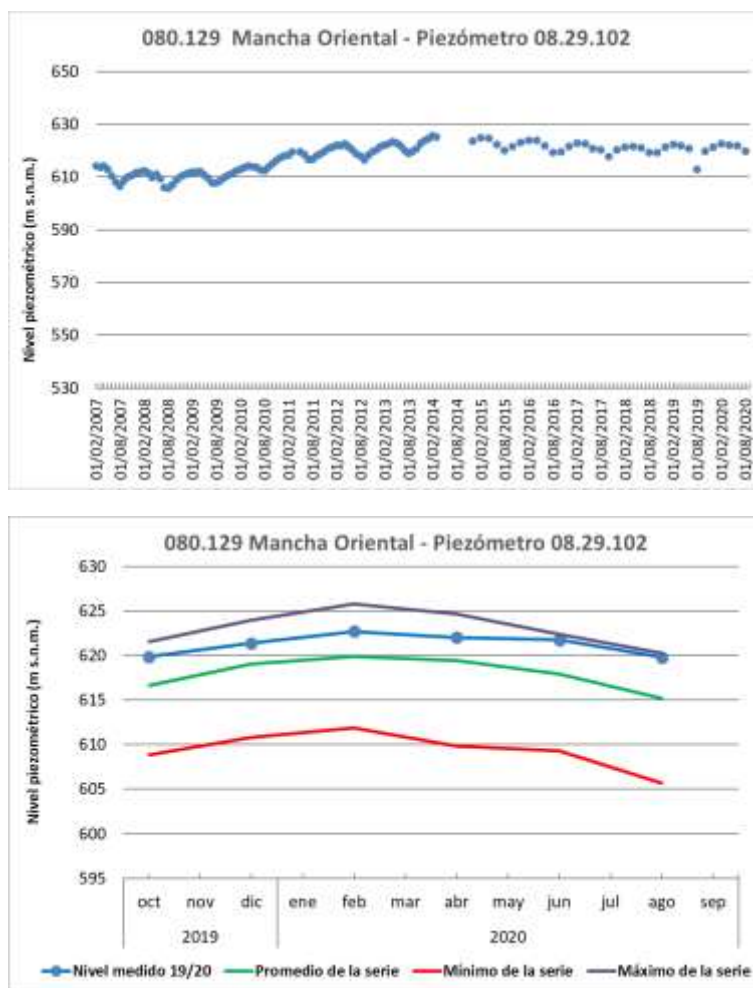


Figura 65. Piezometría en la masa de agua 080.129 Mancha Oriental: serie histórica y año hidrológico 2019/20. Piezómetro 08.29.102.

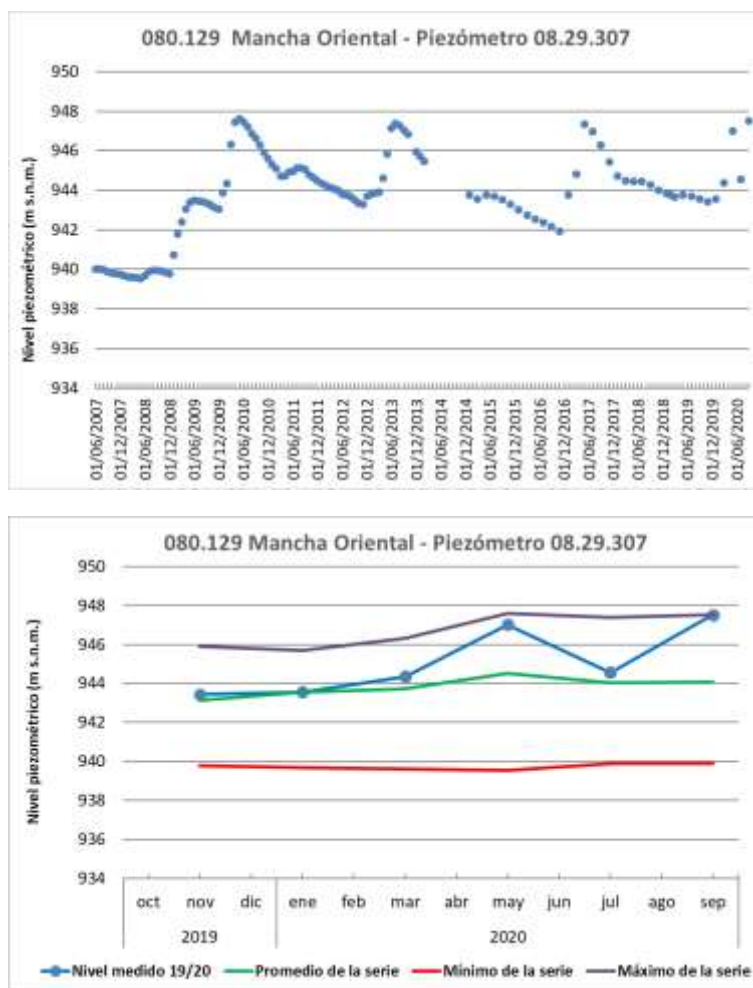


Figura 66. Piezometría en la masa de agua 080.129 Mancha Oriental: serie histórica y año hidrológico 2019/20. Piezómetro 08.29.307.

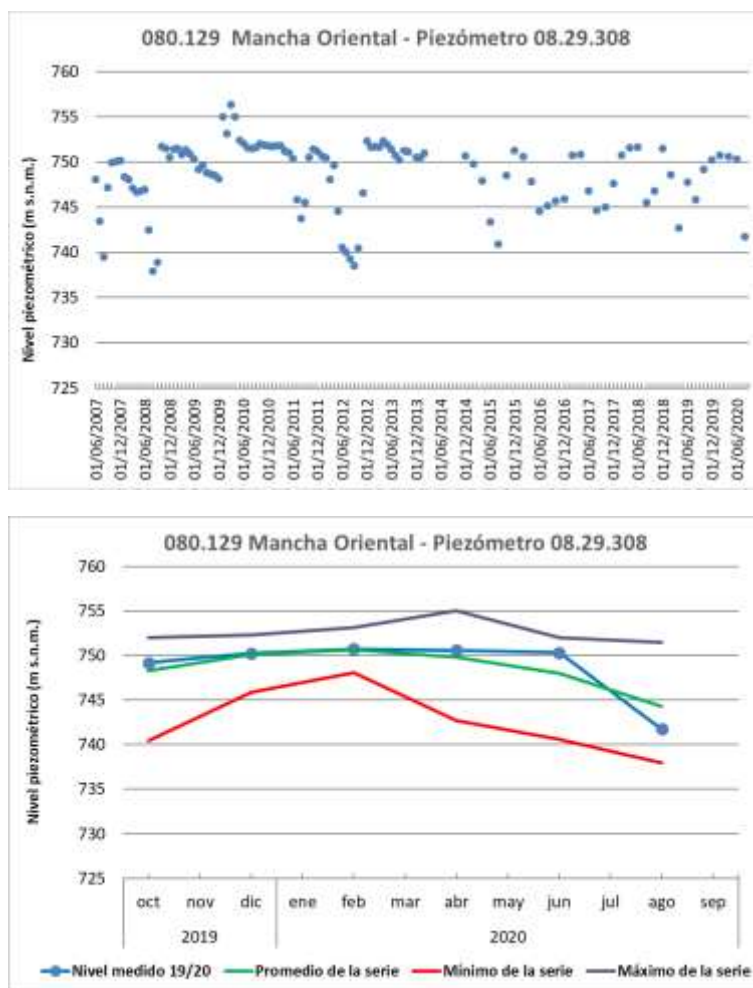


Figura 67. Piezometría en la masa de agua 080.129 Mancha Oriental: serie histórica y año hidrológico 2019/20. Piezómetro 08.29.308.

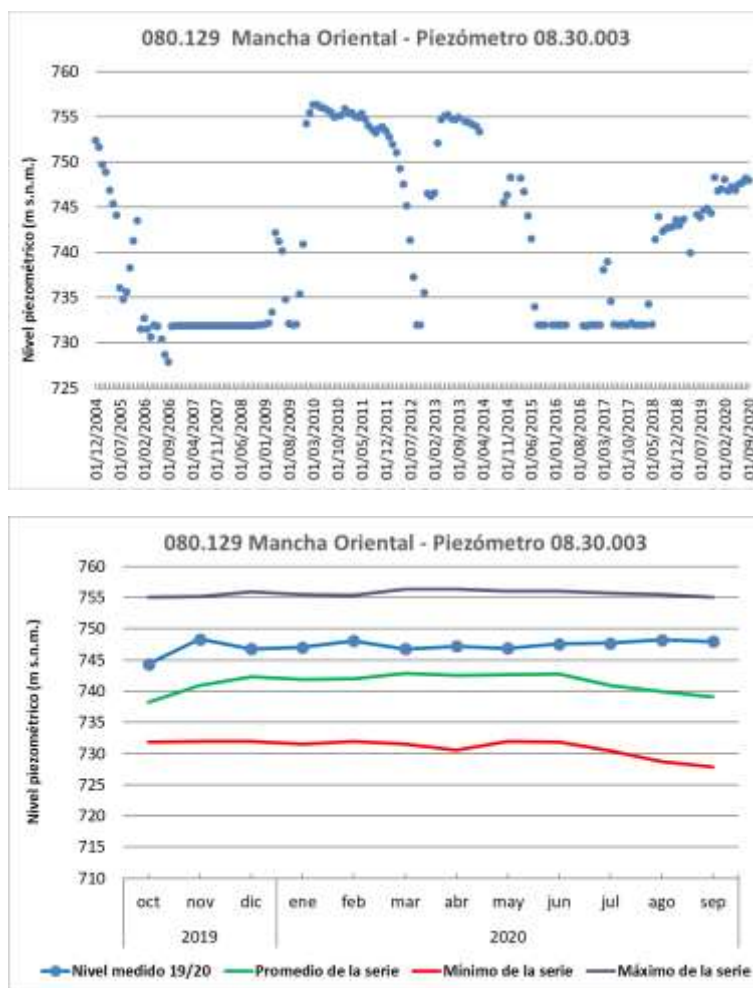


Figura 68. Piezometría en la masa de agua 080.129 Mancha Oriental: serie histórica y año hidrológico 2019/20. Piezómetro 08.30.003.

Destacar que, en el caso de los datos de promedios y máximos calculados en el mes de agosto, para los piezómetros 08.29.035, 08.29.053, 08.29.059 y 08.29.060, se observa un pico descendente similar en todos ellos. Esto es debido a que, en estos puntos con series largas de medida (desde los años 70), no hay medidas de agosto disponibles hasta el año 2001 aproximadamente. Debido a que son puntos en los que hay un descenso muy acusado, al no disponer de medidas para los años en los que los niveles piezométricos eran más elevados (años 70 u 80), los máximos de agosto siempre son inferiores en comparación con los máximos para el resto de meses.



Figura 69. Red representativa en la masa de agua subterránea 080.130 Medio Palancia.

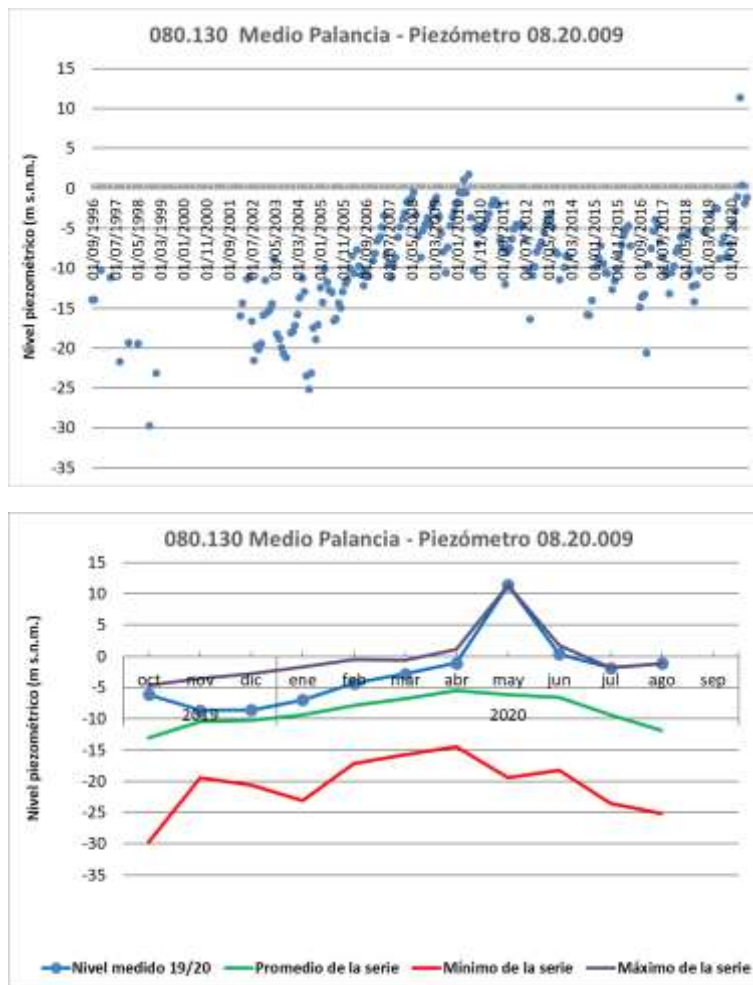


Figura 70. Piezometría en la masa de agua 080.130 Medio Palancia: serie histórica y año hidrológico 2019/20. Piezómetro 08.20.009.

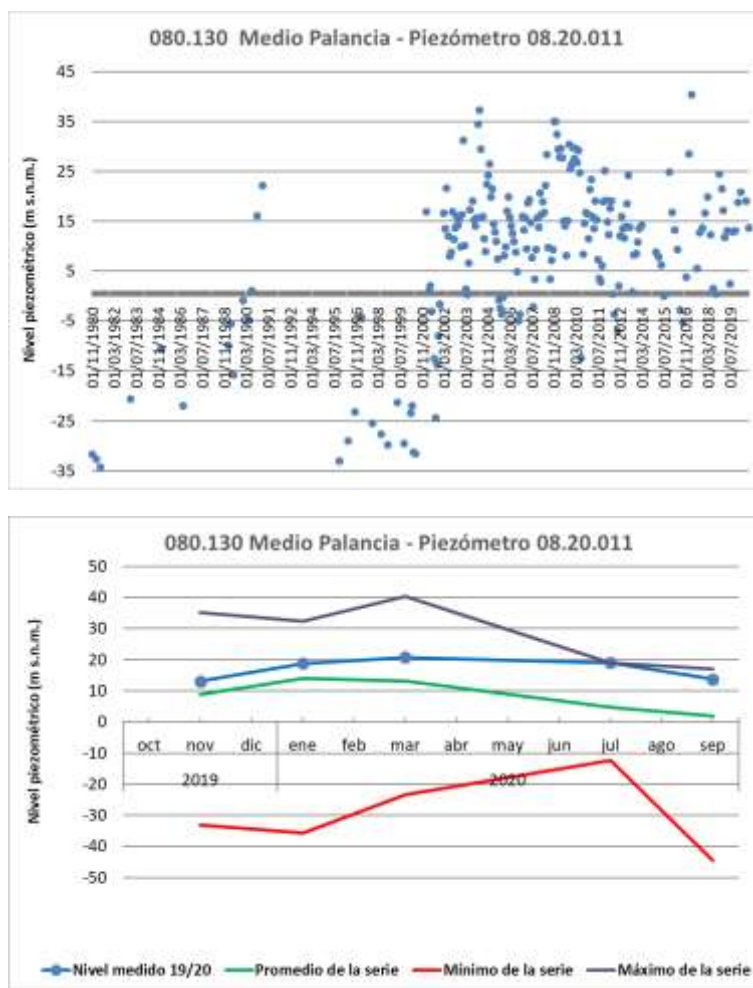


Figura 71. Piezometría en la masa de agua 080.130 Medio Palancia: serie histórica y año hidrológico 2019/20. Piezómetro 08.20.011.



Figura 72. Red representativa en la masa de agua subterránea 080.131 Liria-Casinos.

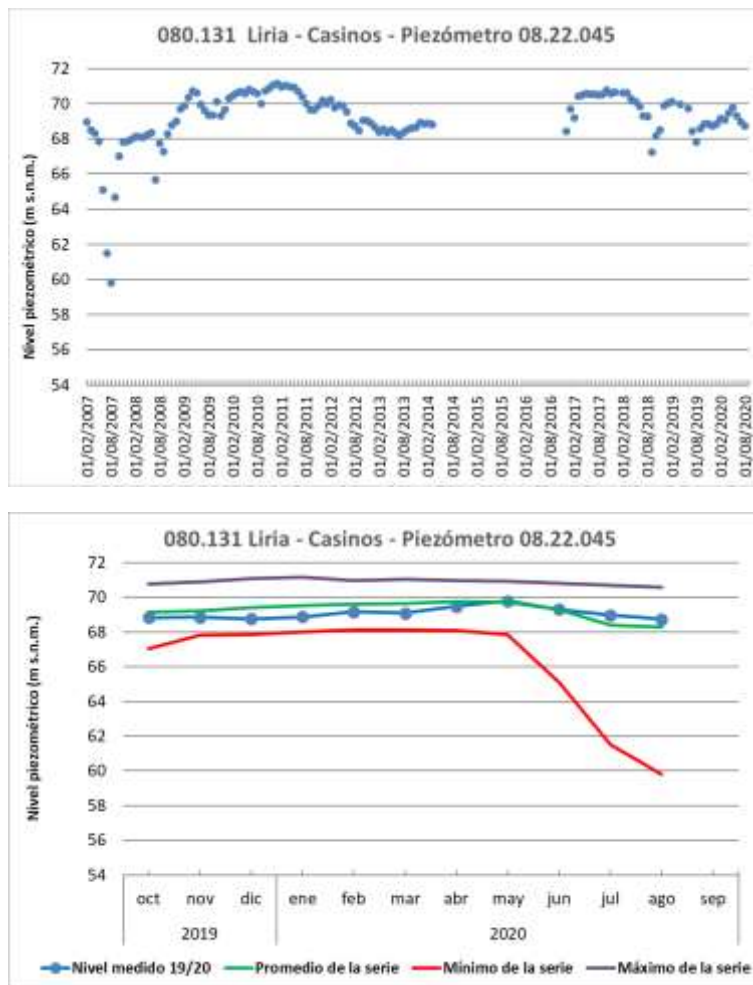


Figura 73. Piezometría en la masa de agua 080.131 Liria-Casinos: serie histórica y año hidrológico 2019/20. Piezómetro 08.22.045.

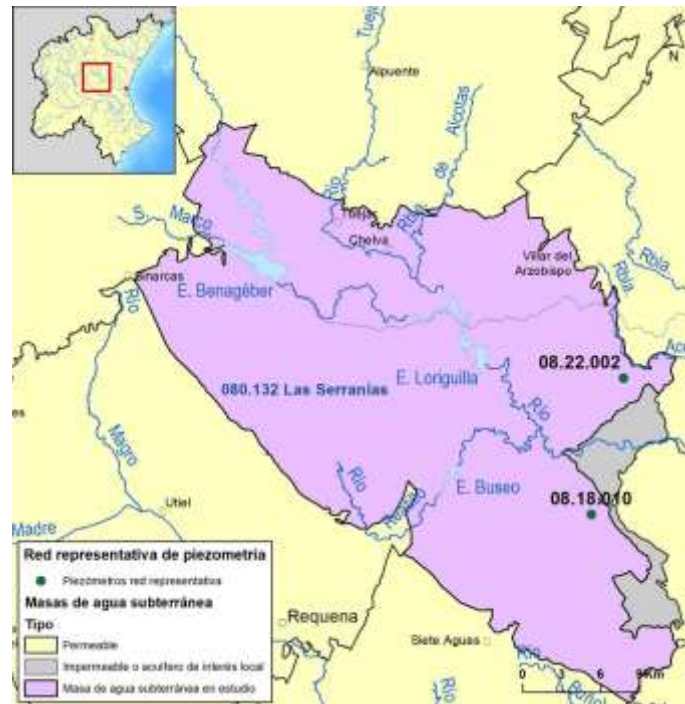


Figura 74. Red representativa en la masa de agua subterránea 080.132 Las Serranías.

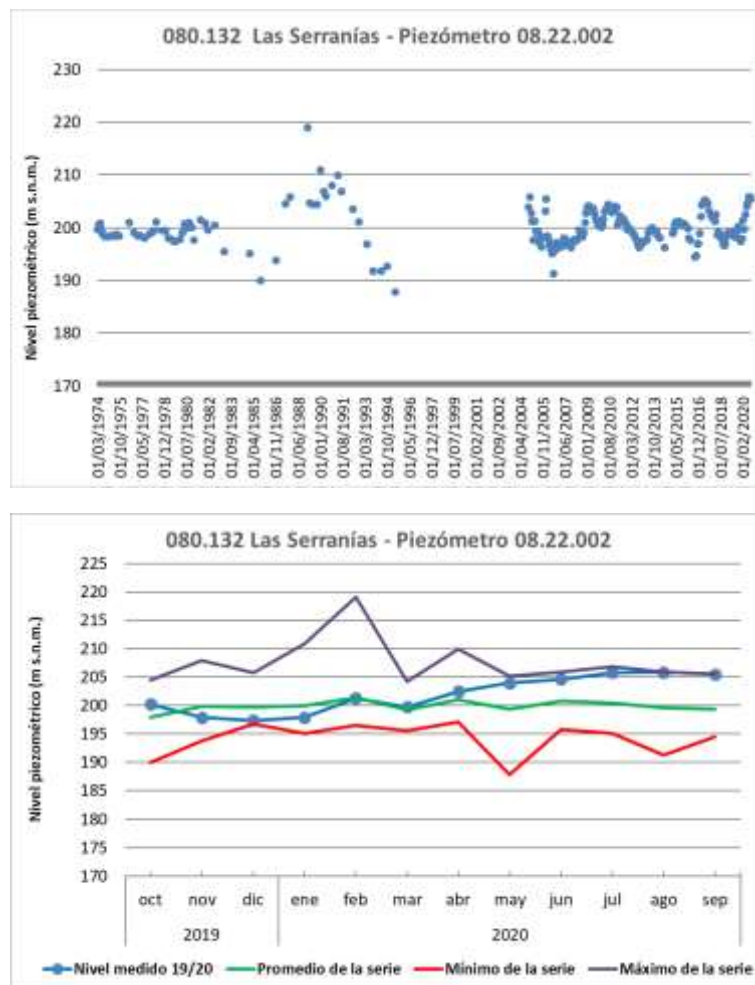


Figura 75. Piezometría en la masa de agua 080.132 Las Serranías: serie histórica y año hidrológico 2019/20. Piezómetro 08.22.002.



Figura 76. Red representativa en la masa de agua subterránea 080.133 Requena-Utiel.

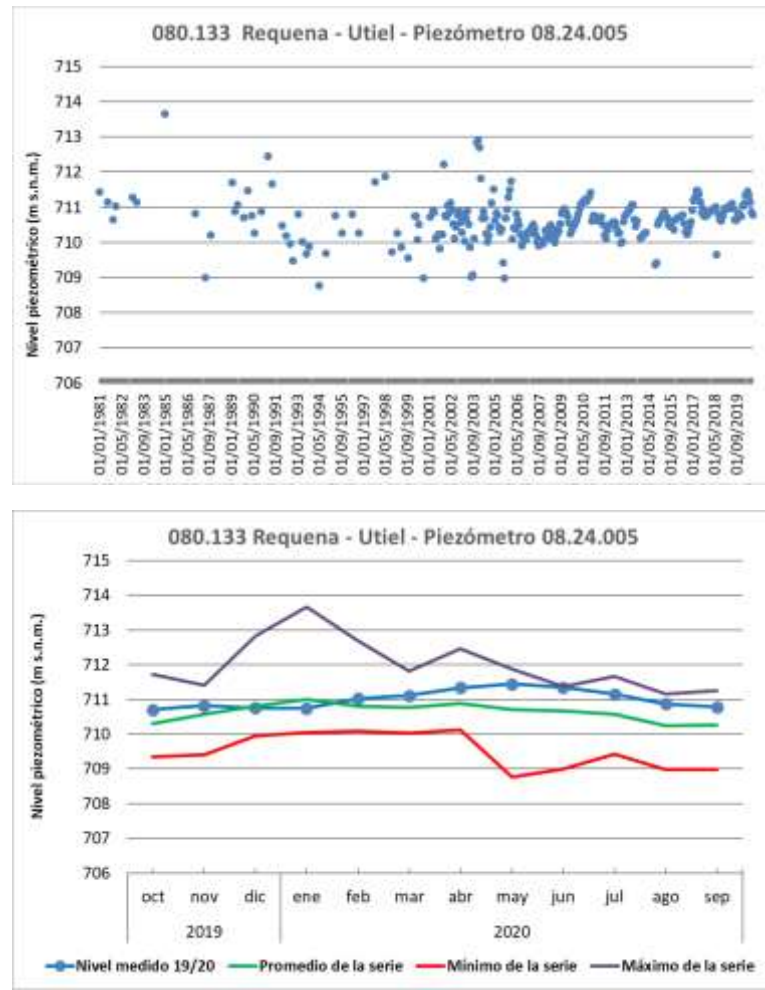


Figura 77. Piezometría en la masa de agua 080.133 Requena-Utiel: serie histórica y año hidrológico 2019/20. Piezómetro 08.24.005.

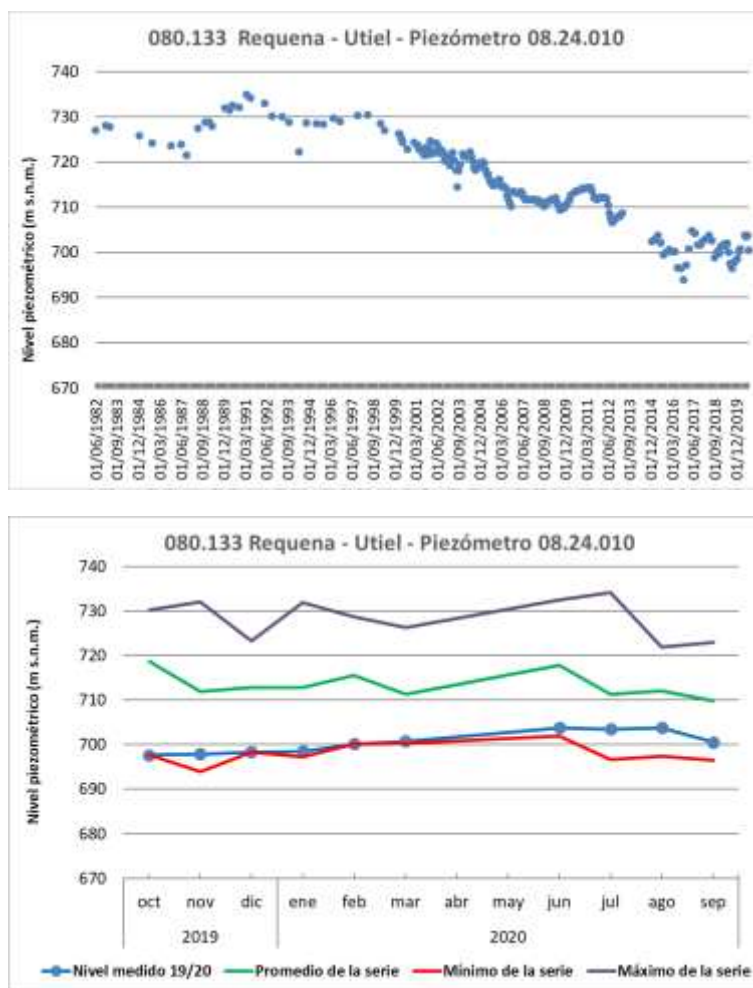


Figura 78. Piezometría en la masa de agua 080.133 Requena-Utiel: serie histórica y año hidrológico 2019/20. Piezómetro 08.24.010.



Figura 79. Red representativa en la masa de agua subterránea 080.134 Mira.

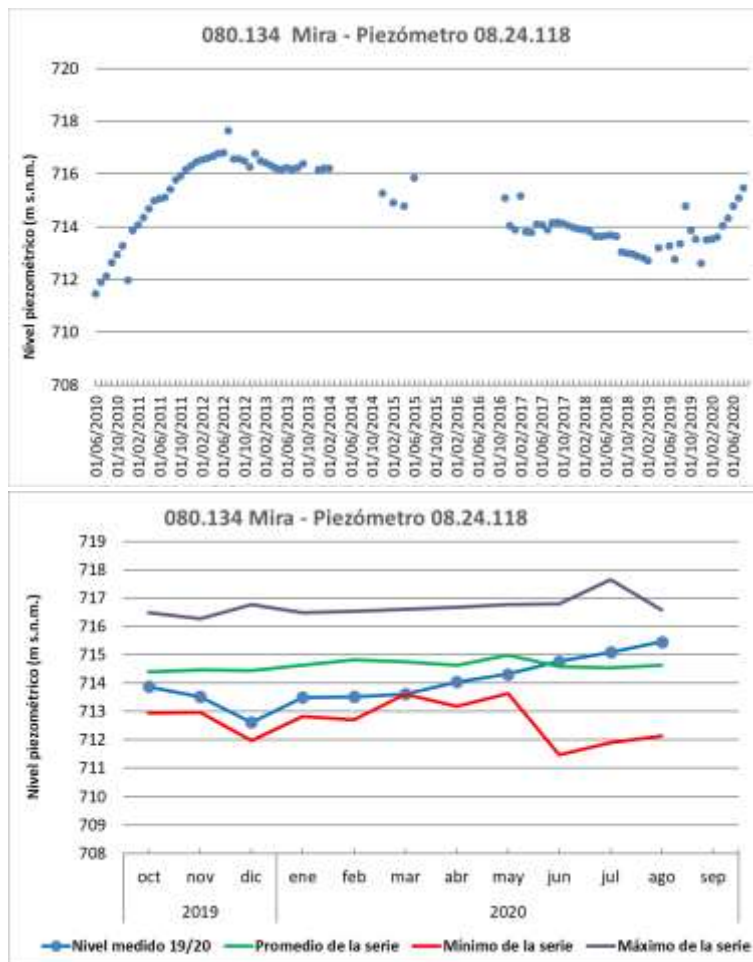


Figura 80. Piezometría en la masa de agua 080. 134 Mira: serie histórica y año hidrológico 2019/20. Piezómetro 08.24.118.

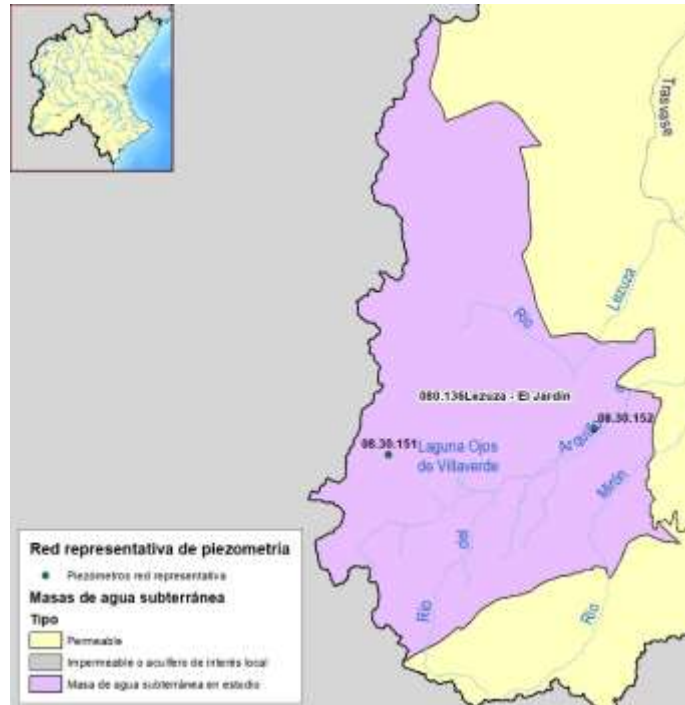


Figura 81. Red representativa en la masa de agua subterránea 080.136 Lezuza-El Jardín.

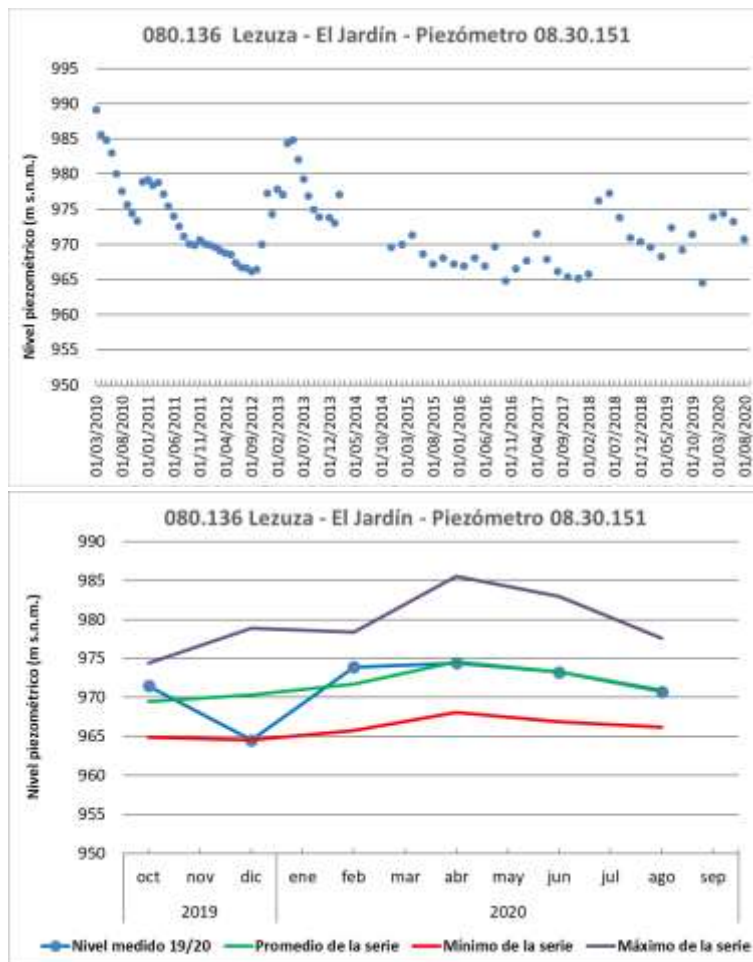


Figura 82. Piezometría en la masa de agua 080.136 Lezuza-El Jardín: serie histórica y año hidrológico 2019/20. Piezómetro 08.30.151.

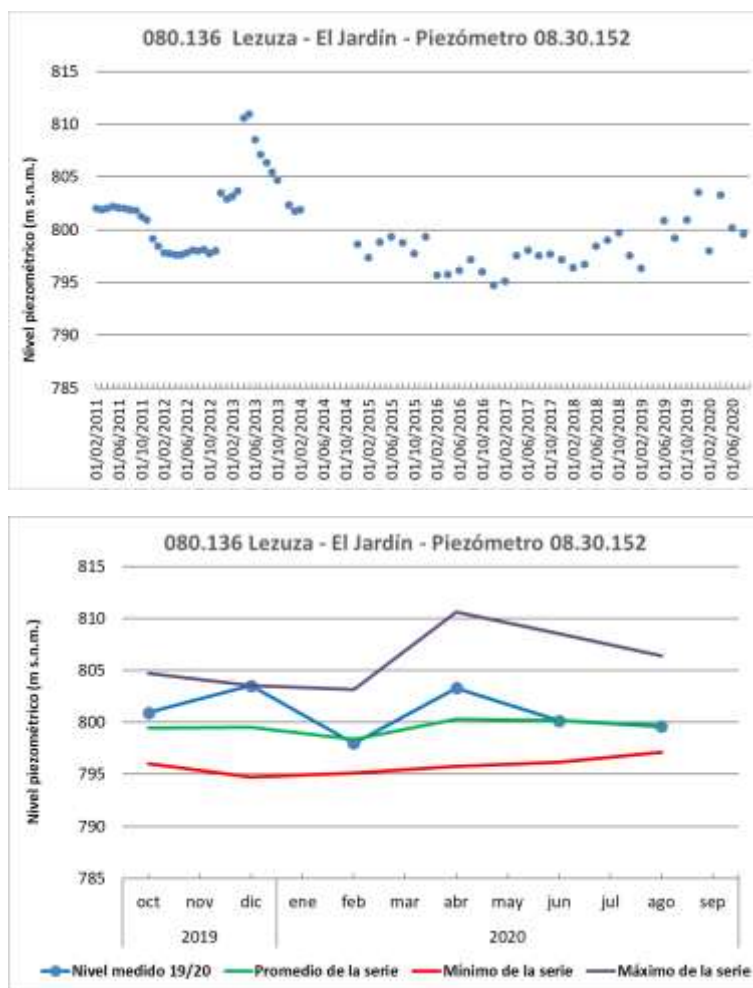


Figura 83. Piezometría en la masa de agua 080.136 Lezuza-El Jardín: serie histórica y año hidrológico 2019/20. Piezómetro 08.30.152.

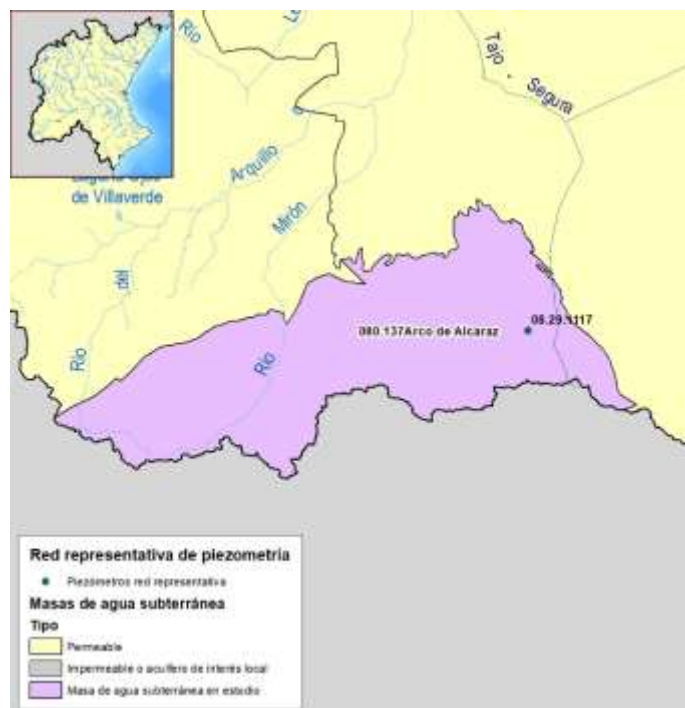


Figura 84. Red representativa en la masa de agua subterránea 080.137 Arco de Alcaraz.

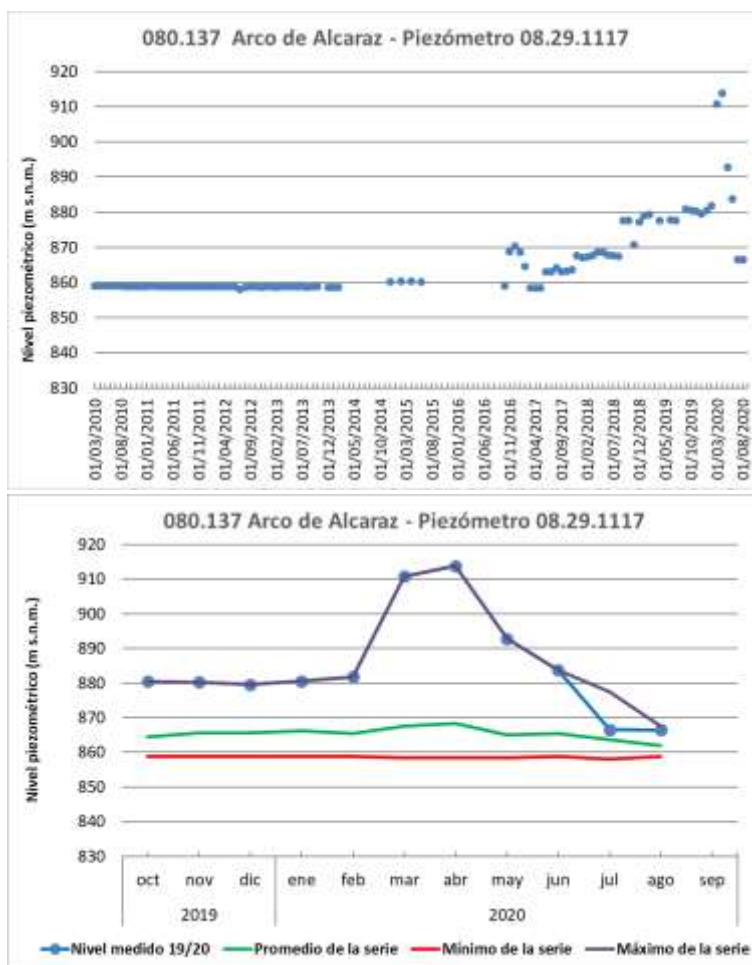


Figura 85. Piezometría en la masa de agua 080.137 Arco de Alcaraz: serie histórica y año hidrológico 2019/20. Piezómetro 08.29.1117.

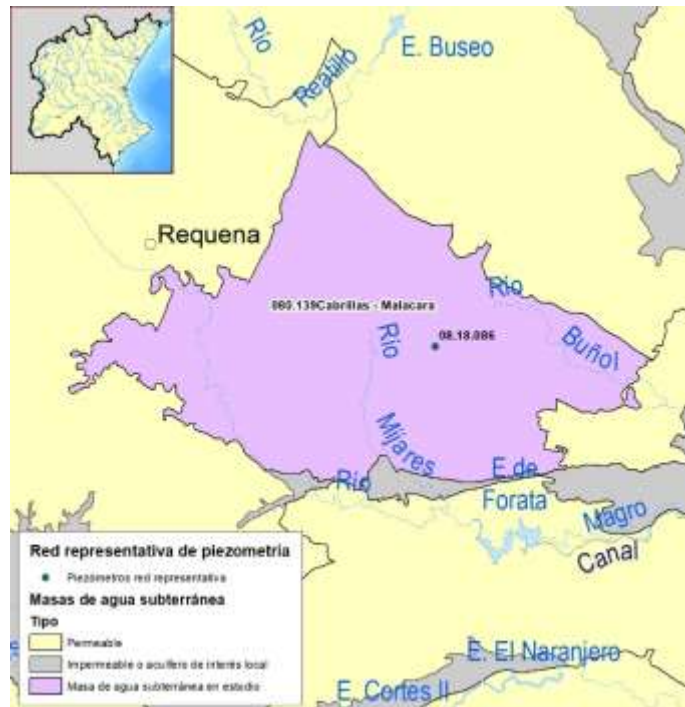


Figura 86. Red representativa en la masa de agua subterránea 080.139 Cabrillas-Malacara.

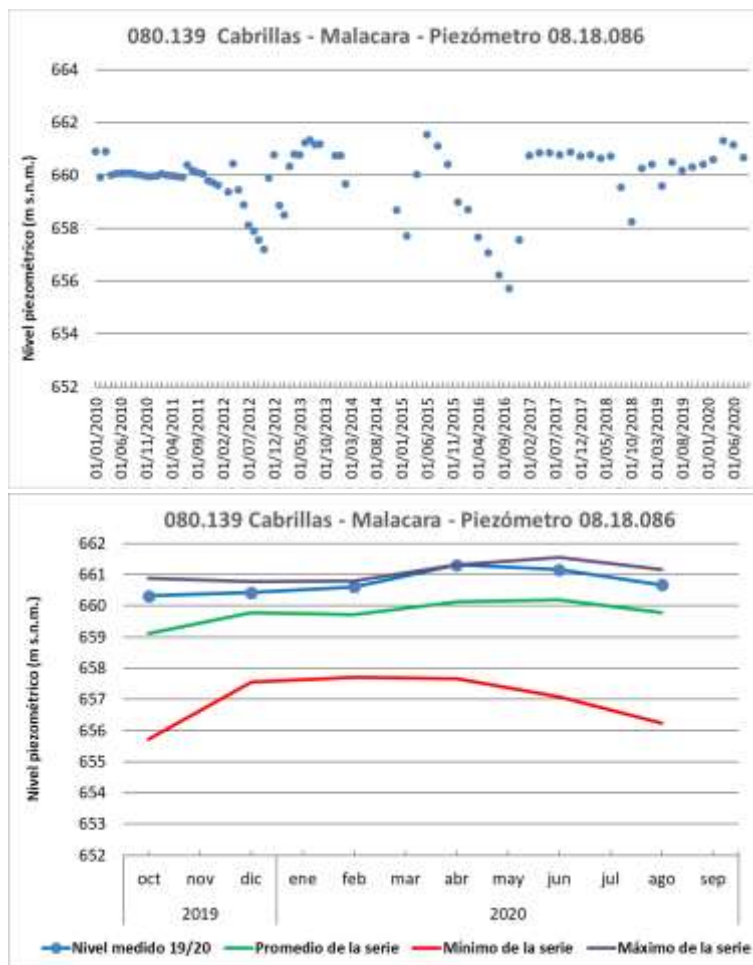


Figura 87. Piezometría en la masa de agua 080.139 Cabrillas-Malacara: serie histórica y año hidrológico 2019/20. Piezómetro 08.18.086.



Figura 88. Red representativa en la masa de agua subterránea 080.140 Buñol-Cheste.

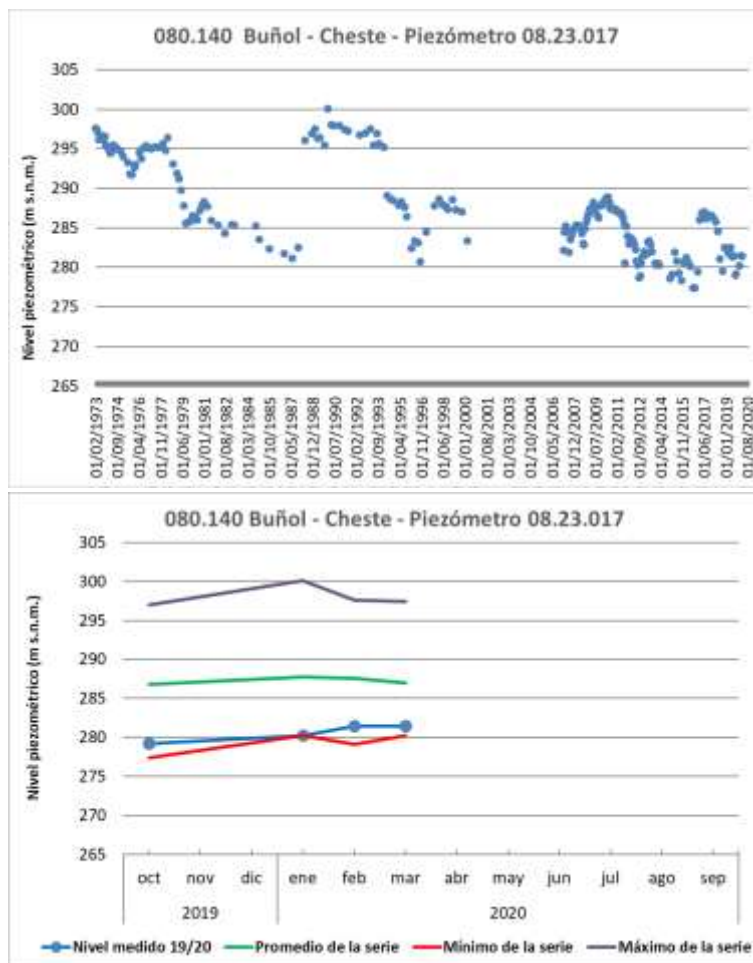


Figura 89. Piezometría en la masa de agua 080.140 Buñol-Cheste: serie histórica y año hidrológico 2019/20. Piezómetro 08.23.017.



Figura 90. Red representativa en la masa de agua subterránea 080.141 Plana de Valencia Norte.

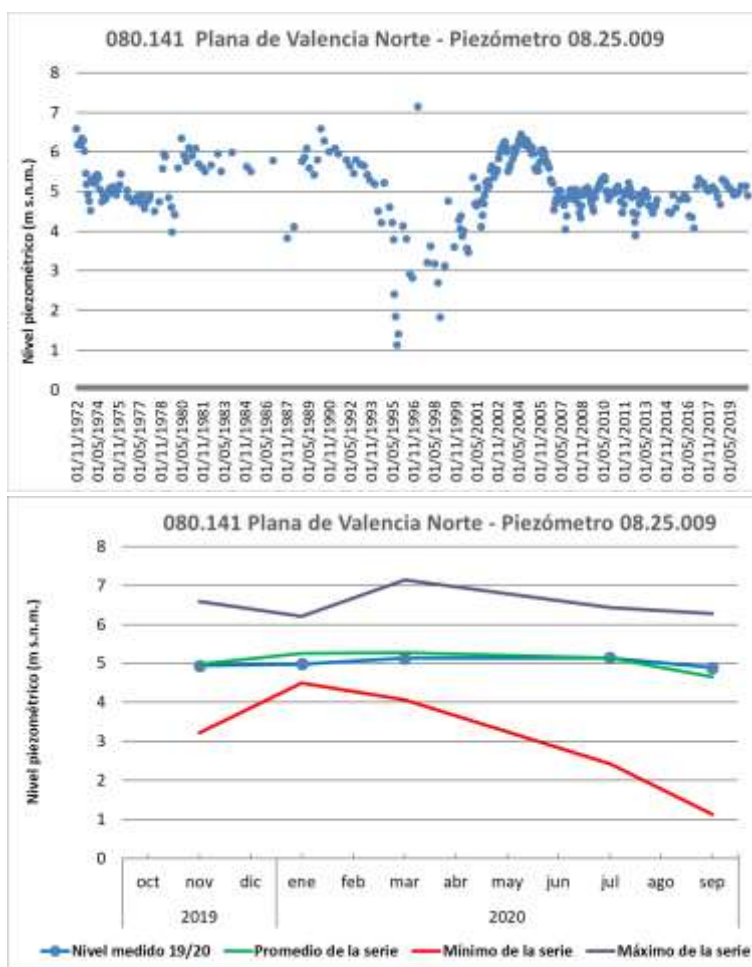


Figura 91. Piezometría en la masa de agua 080.141 Plana de Valencia Norte: serie histórica y año hidrológico 2019/20. Piezómetro 08.25.009.

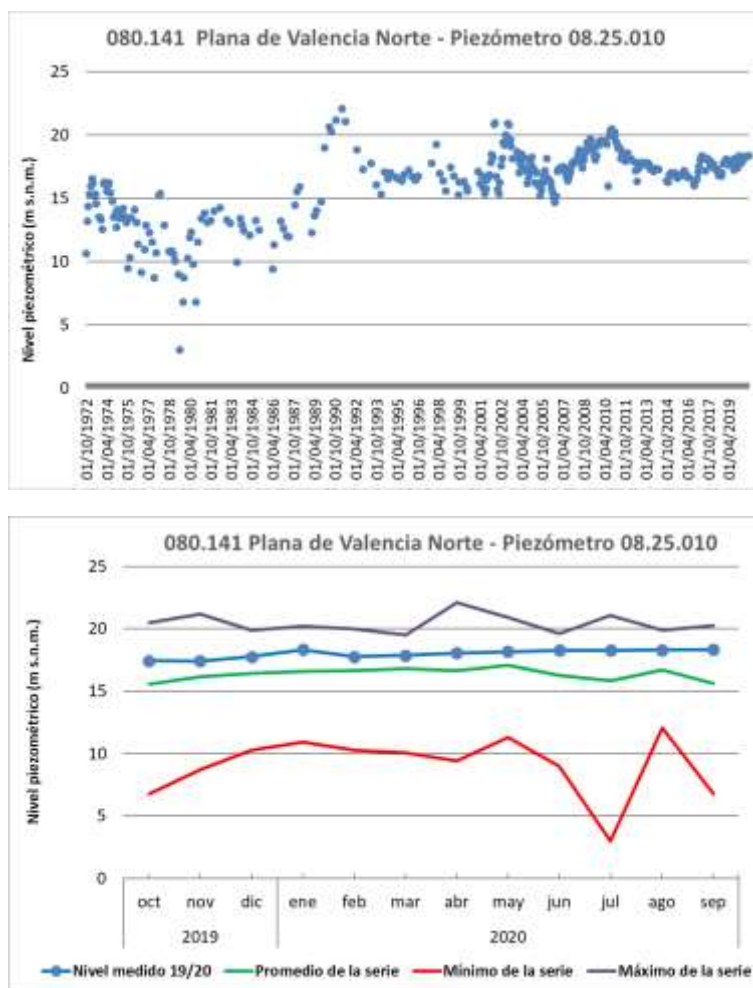


Figura 92. Piezometría en la masa de agua 080.141 Plana de Valencia Norte: serie histórica y año hidrológico 2019/20. Piezómetro 08.25.010.

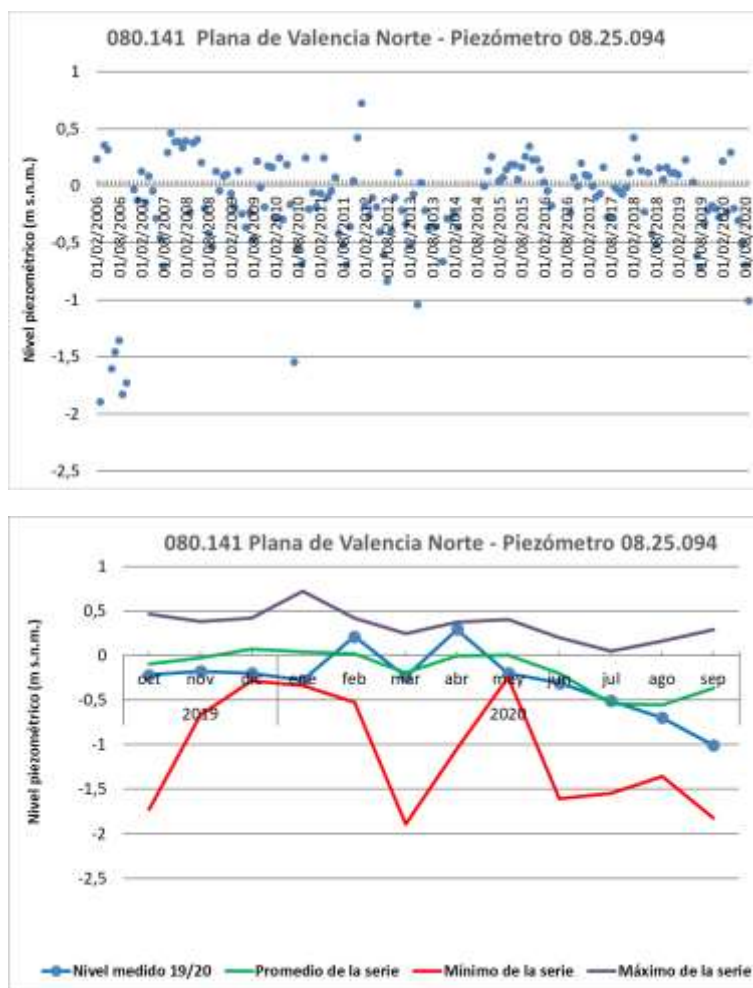


Figura 93. Piezometría en la masa de agua 080.141 Plana de Valencia Norte: serie histórica y año hidrológico 2019/20. Piezómetro 08.25.094.

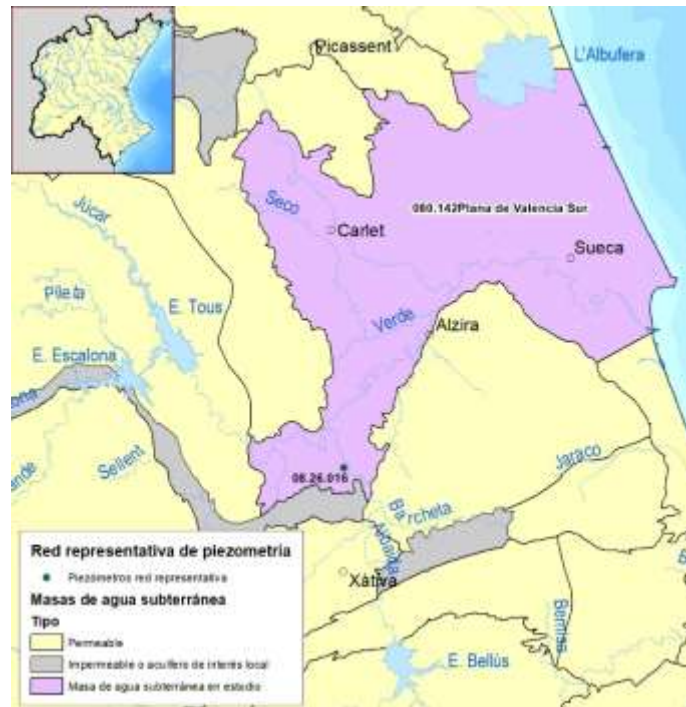


Figura 94. Red representativa en la masa de agua subterránea 080.142 Plana de Valencia Sur.

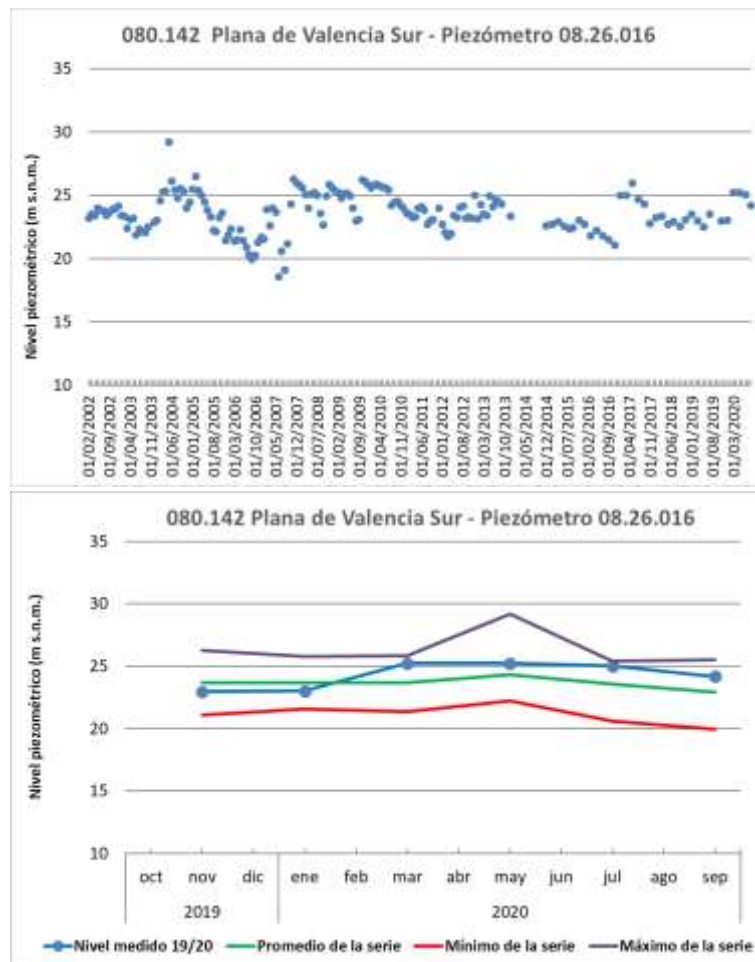


Figura 95. Piezometría en la masa de agua 080.142 Plana de Valencia Sur: serie histórica y año hidrológico 2019/20. Piezómetro 08.26.016.

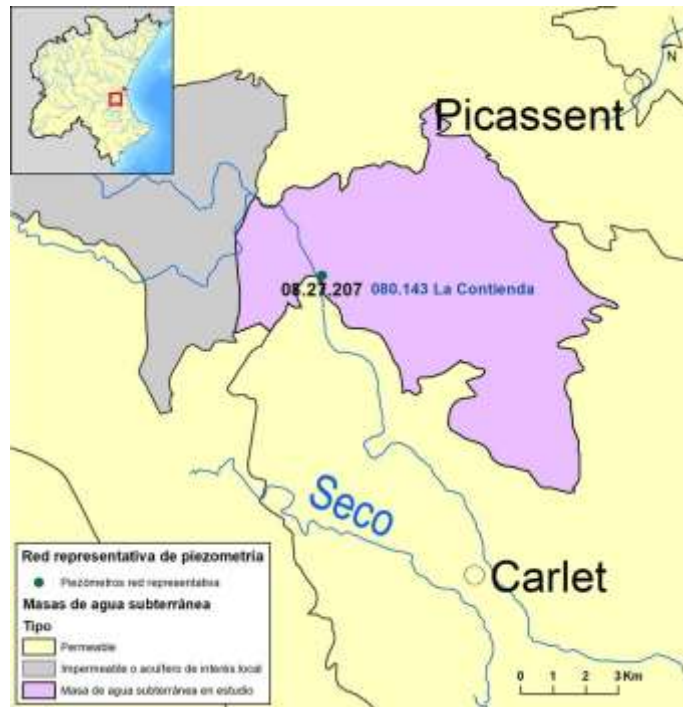


Figura 96. Red representativa en la masa de agua subterránea 080.143 La Contienda.

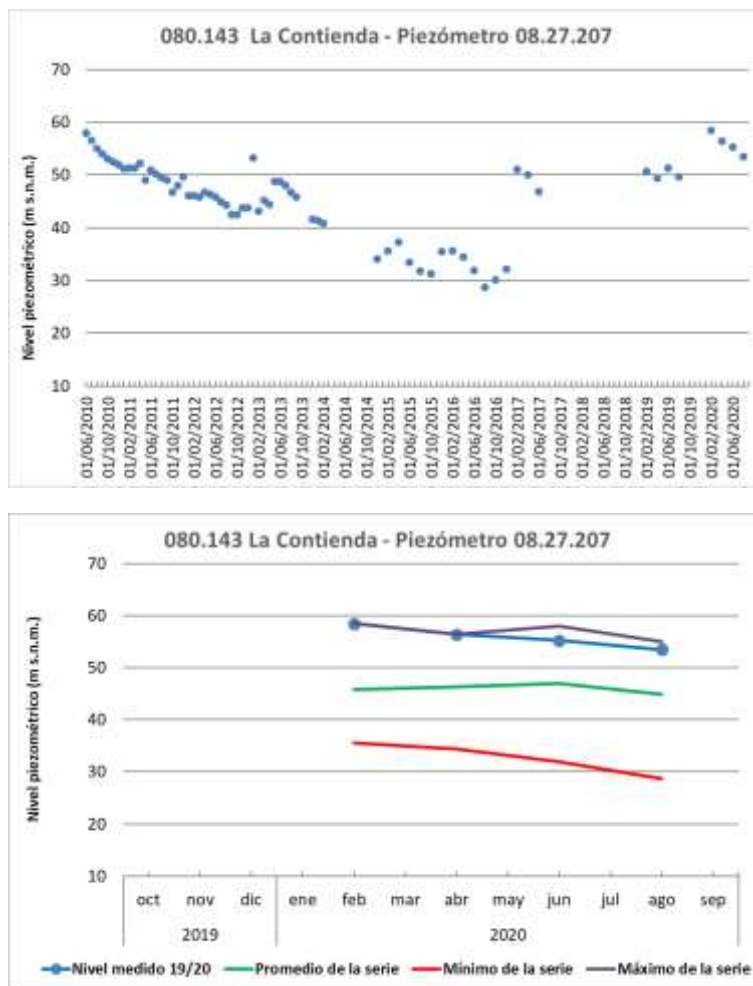


Figura 97. Piezometría en la masa de agua 080.143 La Contienda: serie histórica y año hidrológico 2019/20. Piezómetro 08.27.207.



Figura 98. Red representativa en la masa de agua subterránea 080.144 Sierra del Ave.

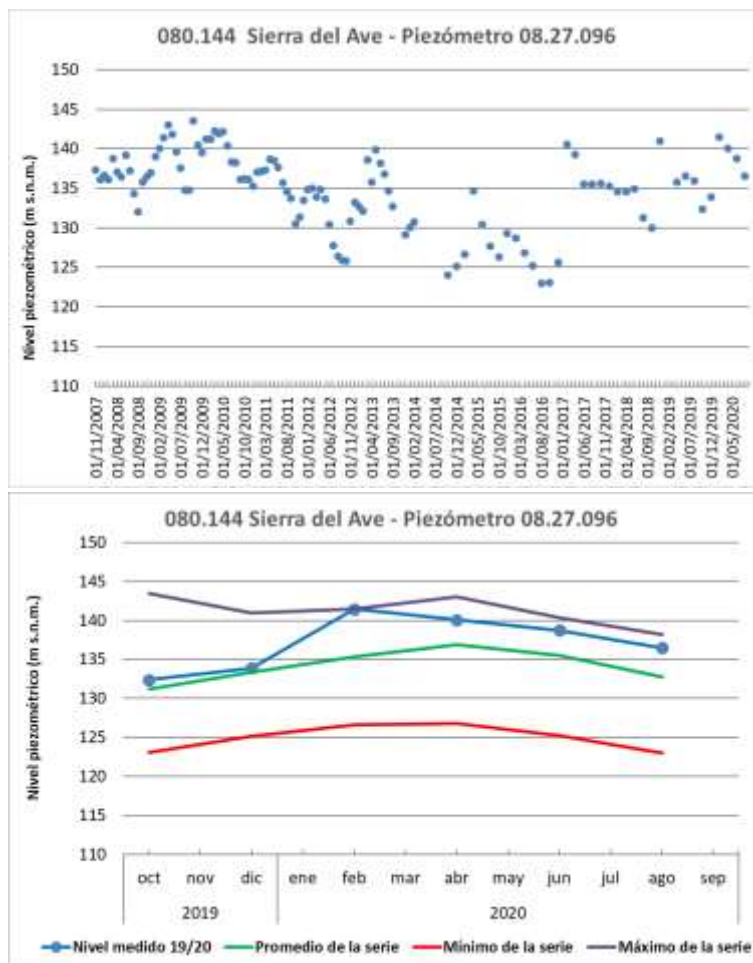


Figura 99. Piezometría en la masa de agua 080.144 Sierra del Ave: serie histórica y año hidrológico 2019/20. Piezómetro 08.27.096.



Figura 100. Red representativa en la masa de agua subterránea 080.145 Caroch Norte.

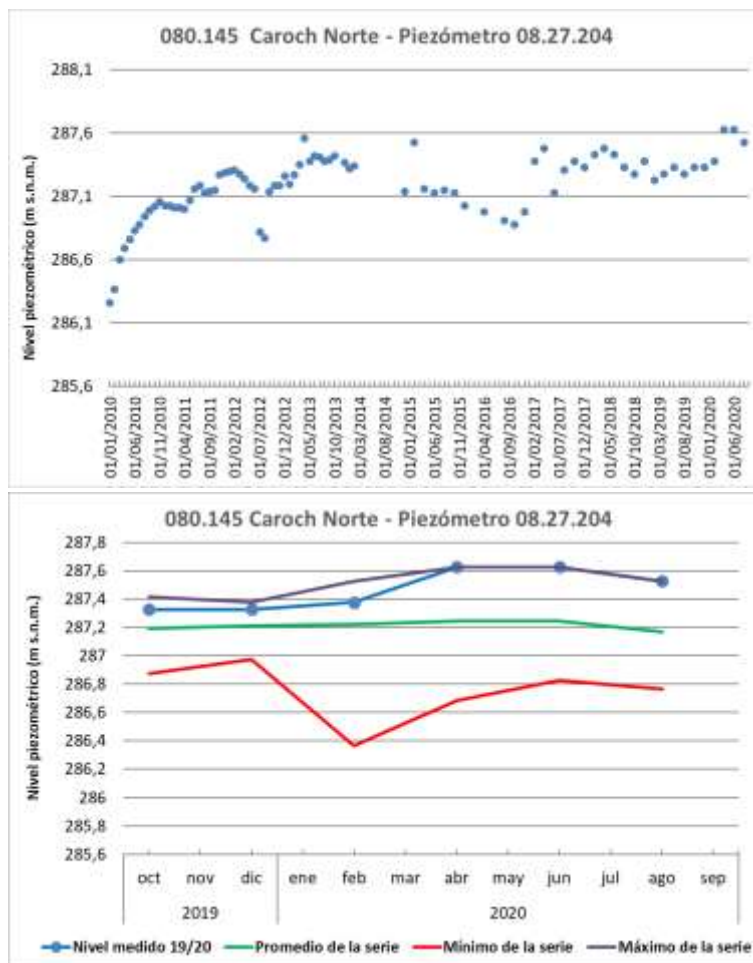


Figura 101. Piezometría en la masa de agua 080.145 Caroch Norte: serie histórica y año hidrológico 2019/20. Piezómetro 08.27.204.

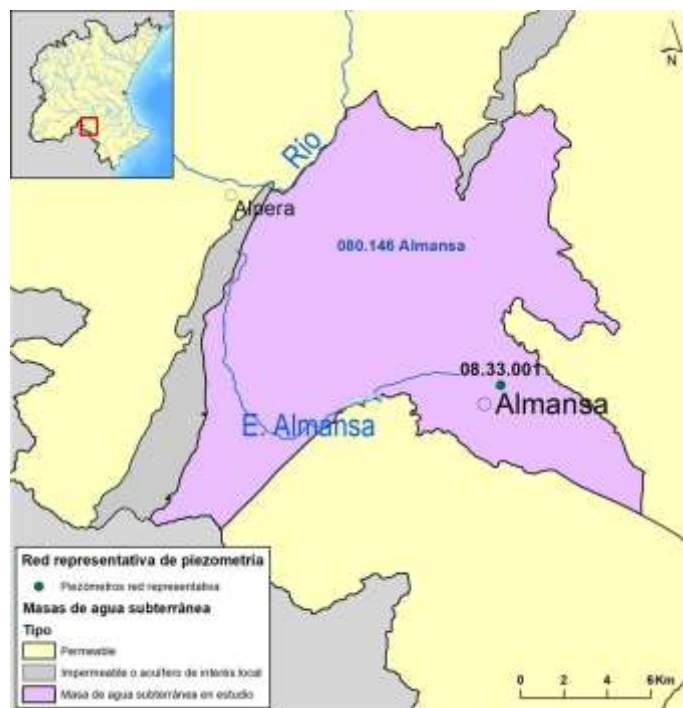


Figura 102. Red representativa en la masa de agua subterránea 080.146 Almansa.

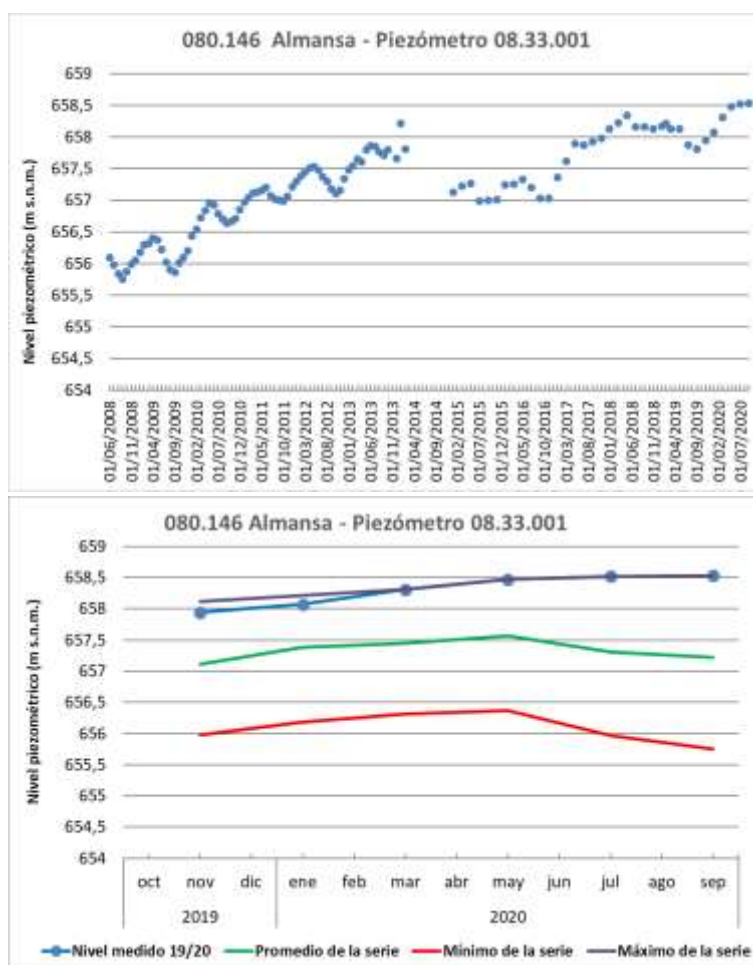


Figura 103. Piezometría en la masa de agua 080.146 Almansa: serie histórica y año hidrológico 2019/20. Piezómetro 08.33.001.

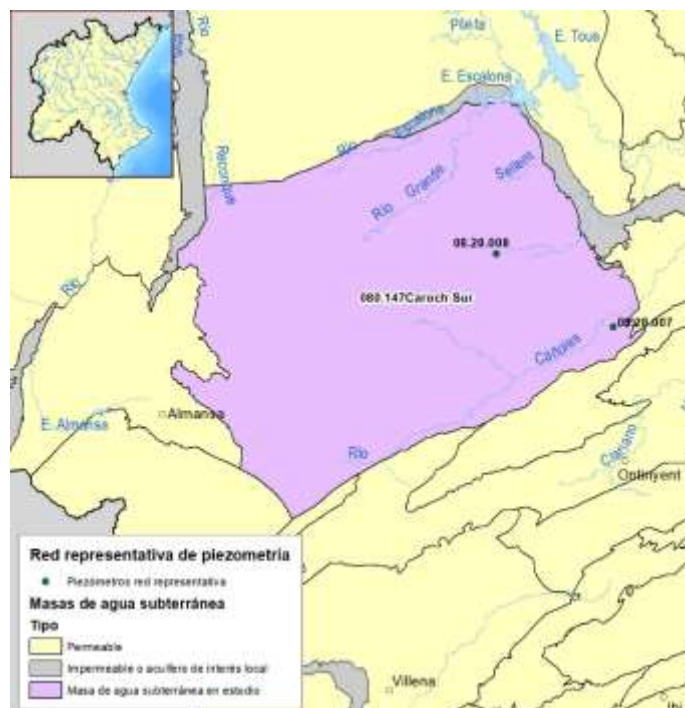


Figura 104. Red representativa en la masa de agua subterránea 080.147 Caroch Sur.

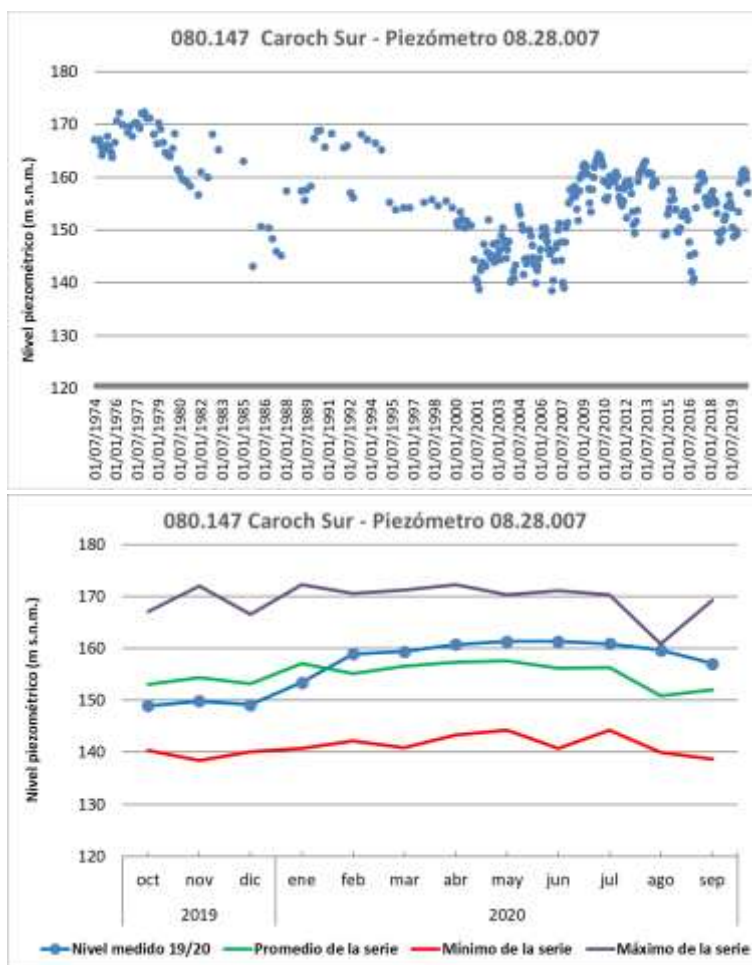


Figura 105. Piezometría en la masa de agua 080.147 Caroch Sur: serie histórica y año hidrológico 2019/20. Piezómetro 08.28.007.

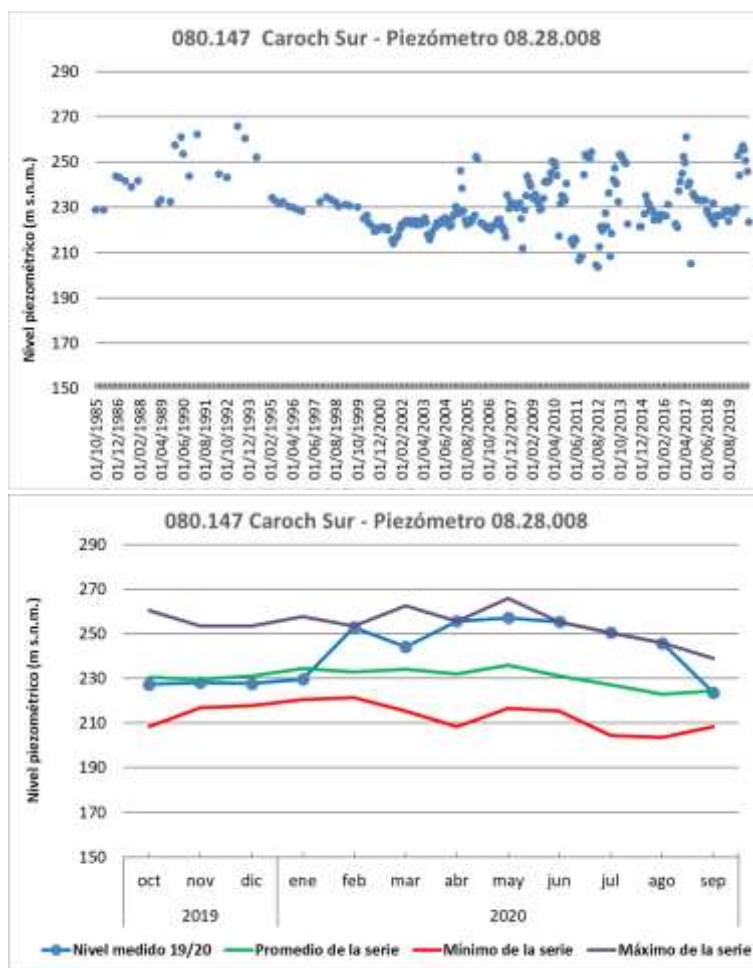


Figura 106. Piezometría en la masa de agua 080.147 Caroch Sur: serie histórica y año hidrológico 2019/20. Piezómetro 08.28.008.



Figura 107. Red representativa en la masa de agua subterránea 080.149 Sierra de las Agujas.

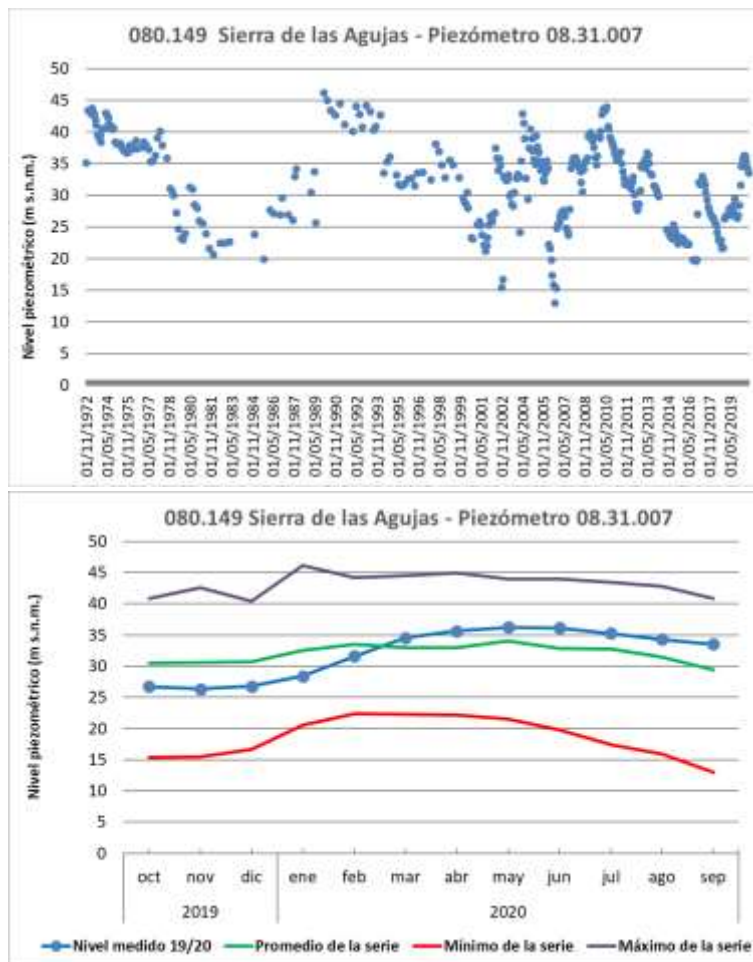


Figura 108. Piezometría en la masa de agua 080.149 Sierra de las Agujas: serie histórica y año hidrológico 2019/20. Piezómetro 08.31.007.



Figura 109. Red representativa en la masa de agua subterránea 080.150 Bárig.

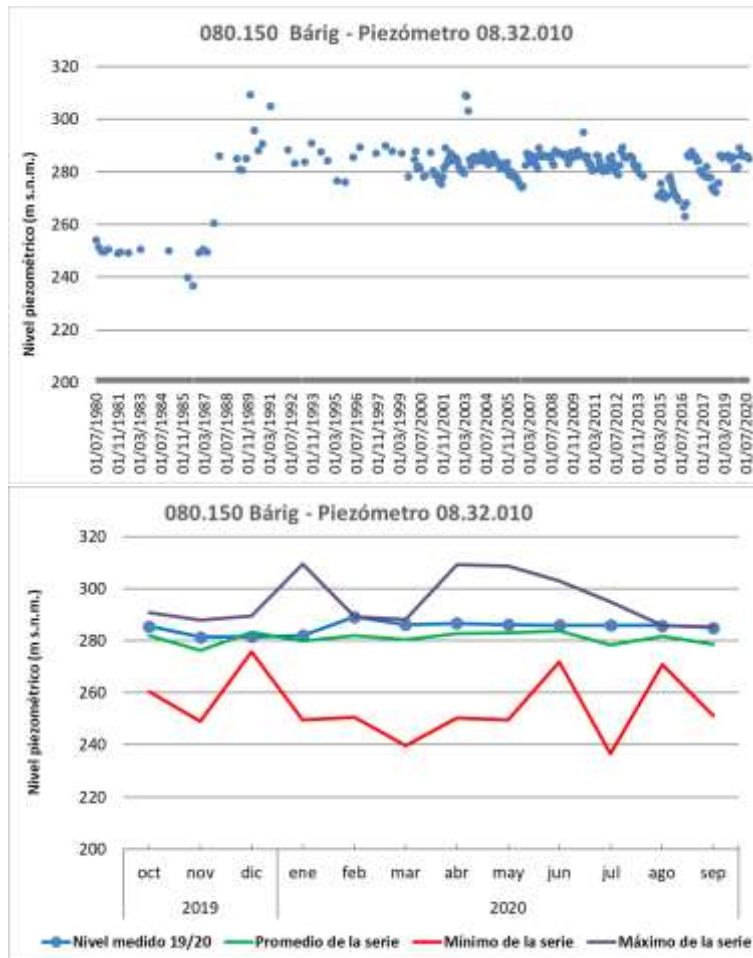


Figura 110. Piezometría en la masa de agua 080.150 Bárig: serie histórica y año hidrológico 2019/20. Piezómetro 08.32.010.



Figura 111. Red representativa en la masa de agua subterránea 080.151 Plana de Jaraco.

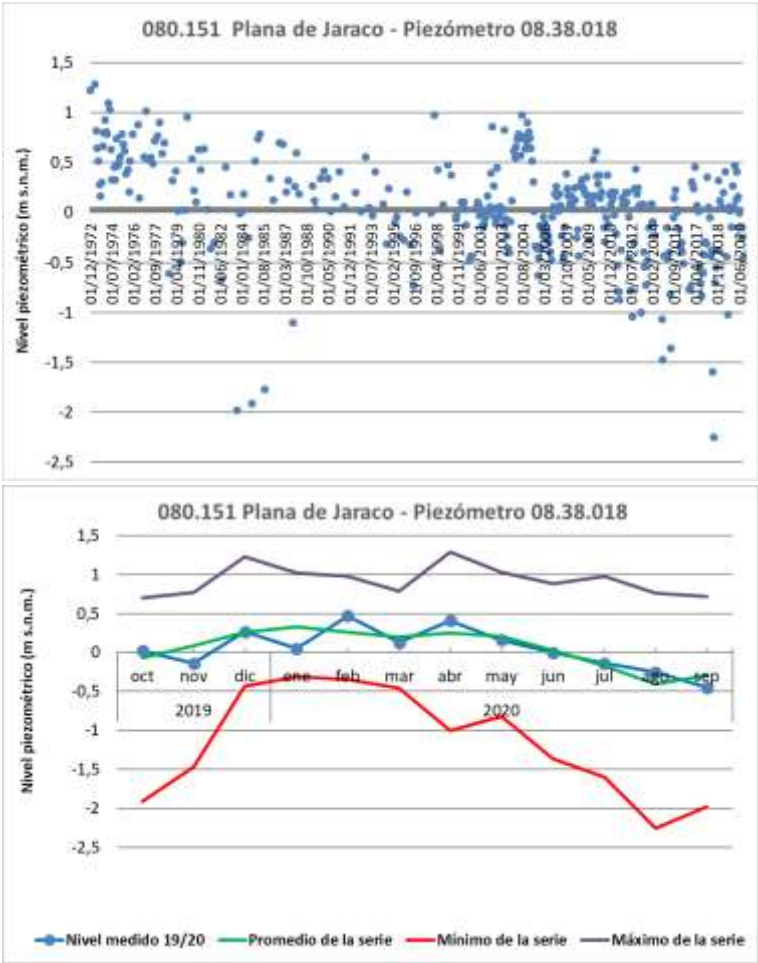


Figura 112. Piezometría en la masa de agua 080.151 Plana de Jaraco: serie histórica y año hidrológico 2019/20. Piezómetro 08.38.018.

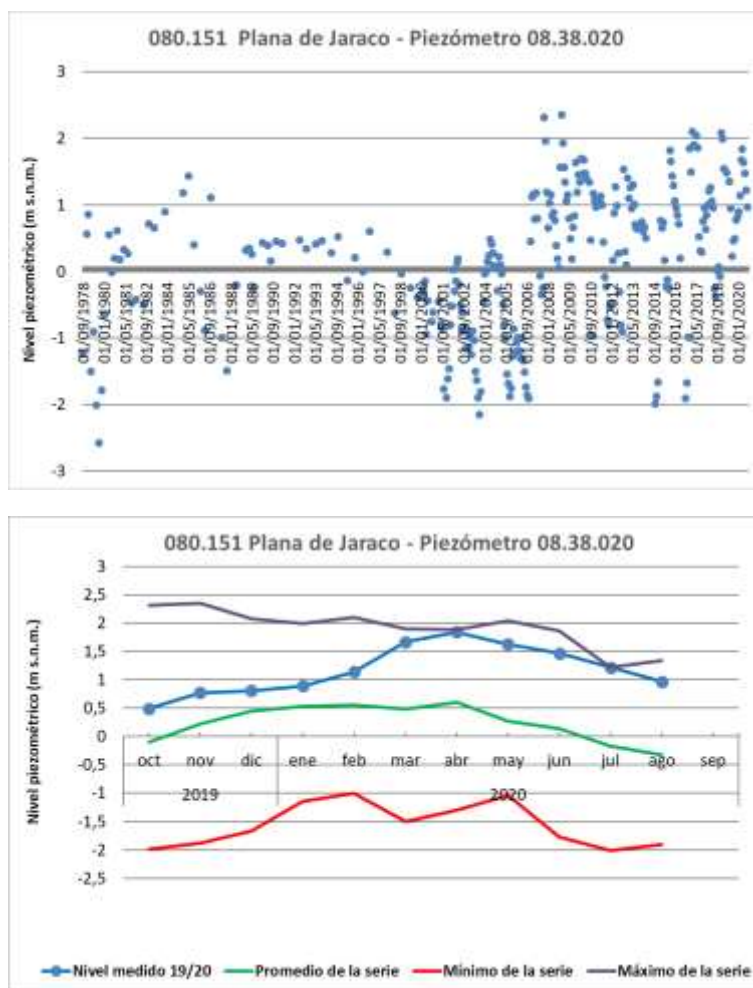


Figura 113. Piezometría en la masa de agua 080.151 Plana de Jaraco: serie histórica y año hidrológico 2019/20. Piezómetro 08.38.020



Figura 114. Red representativa en la masa de agua subterránea 080.152 Plana de Gandía.

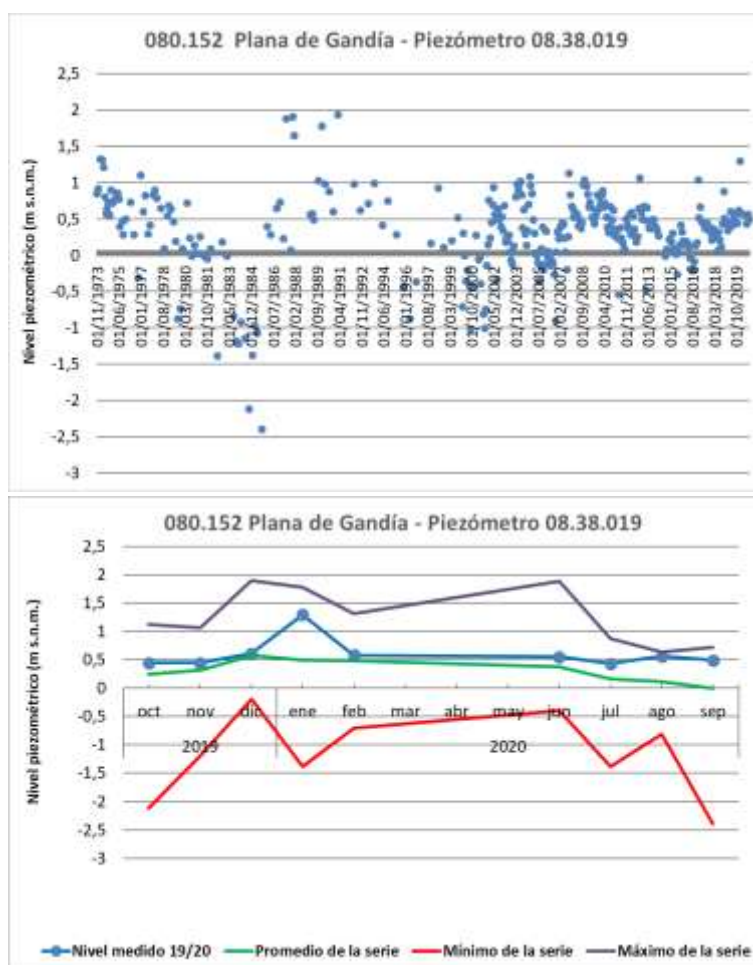


Figura 115. Piezometría en la masa de agua 080.152 Plana de Gandía: serie histórica y año hidrológico 2019/20. Piezómetro 08.38.019.

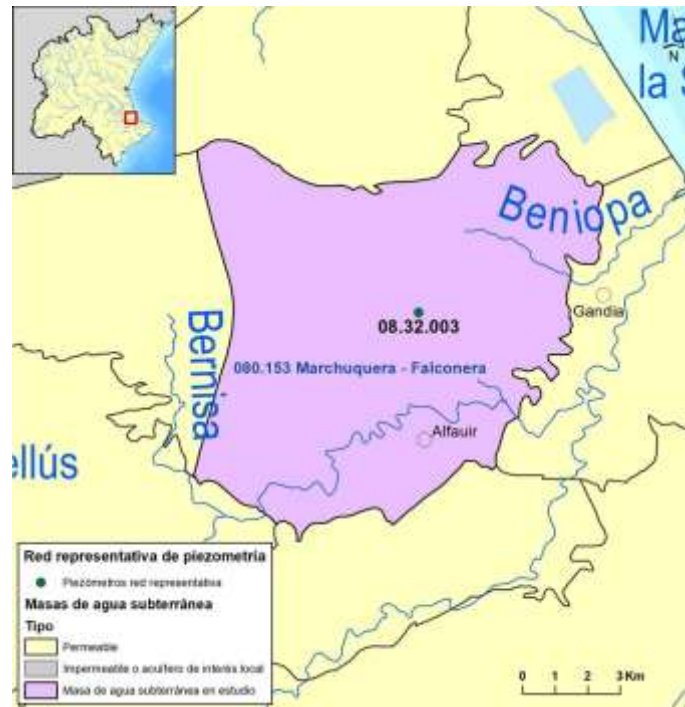


Figura 116. Red representativa en la masa de agua subterránea 080.153 Marchuquera-Falconera.

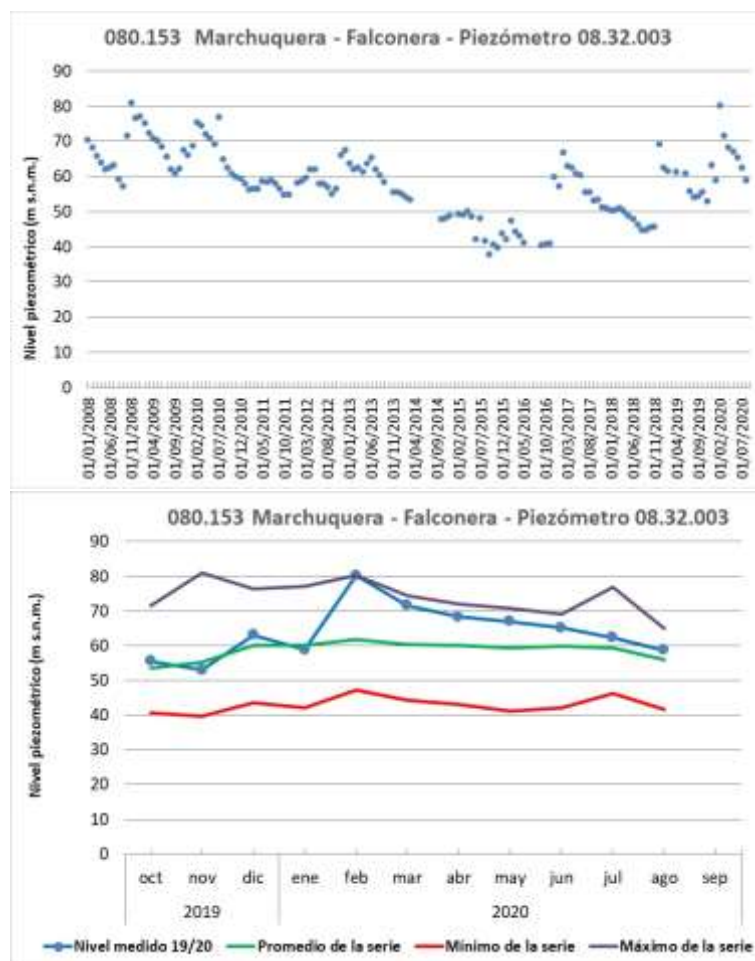


Figura 117. Piezometría en la masa de agua 080.153 Marchuquera-Falconera: serie histórica y año hidrológico 2019/20. Piezómetro 08.32.003.

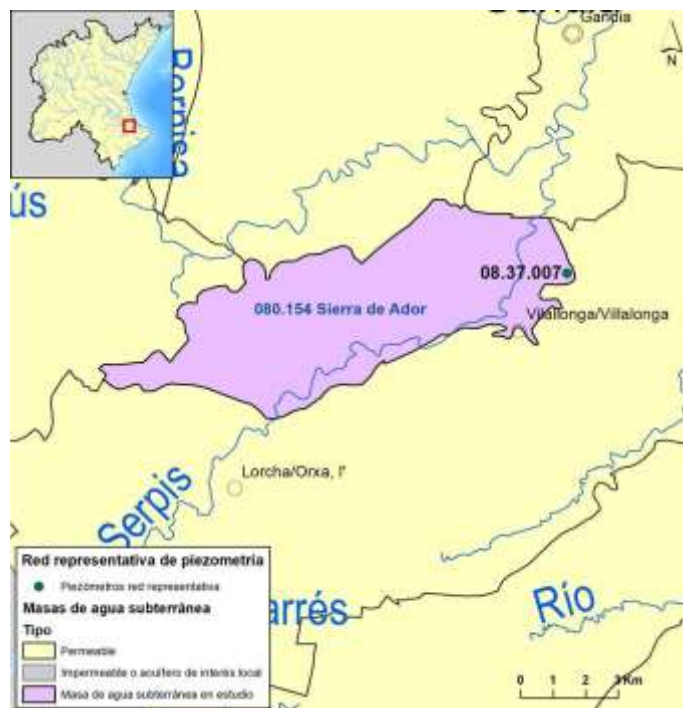


Figura 118. Red representativa en la masa de agua subterránea 080.154 Sierra de Ador.

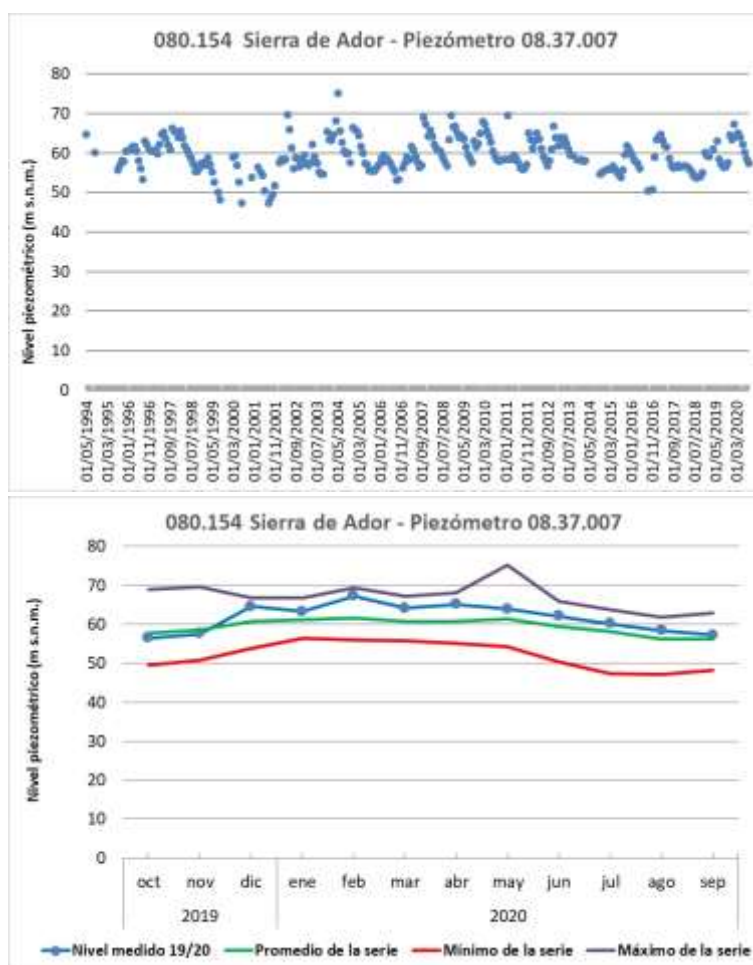


Figura 119. Piezometría en la masa de agua 080.154 Sierra de Ador: serie histórica y año hidrológico 2019/20. Piezómetro 08.37.007.



Figura 120. Red representativa en la masa de agua subterránea 080.157 Sierra de la Oliva.

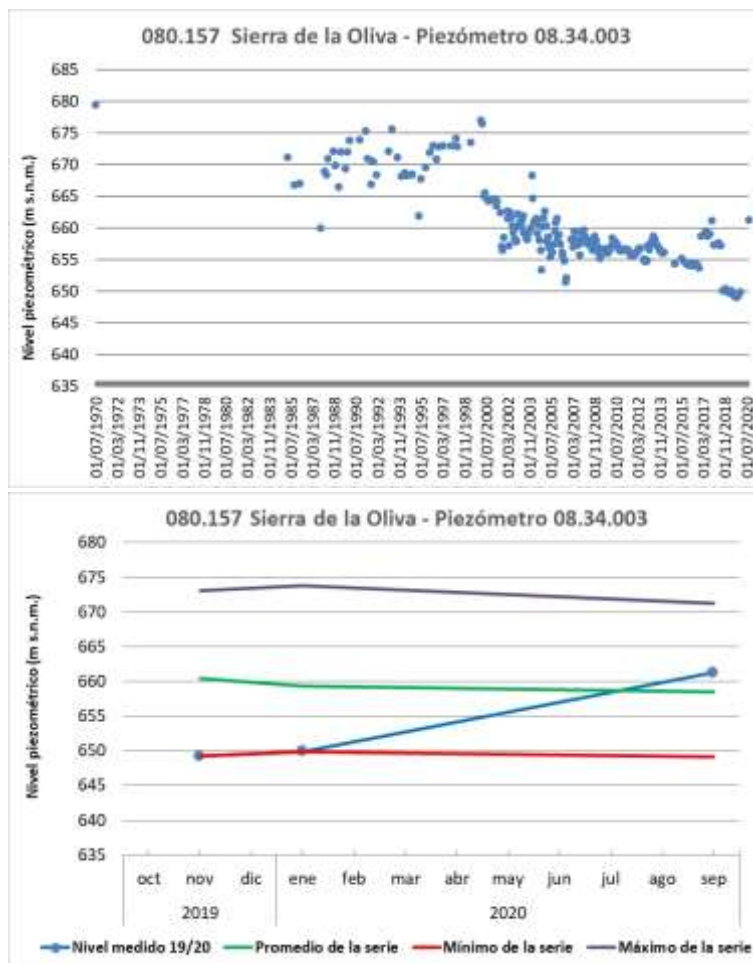


Figura 121. Piezometría en la masa de agua 080.157 Sierra de la Oliva: serie histórica y año hidrológico 2019/20. Piezómetro 08.34.003.

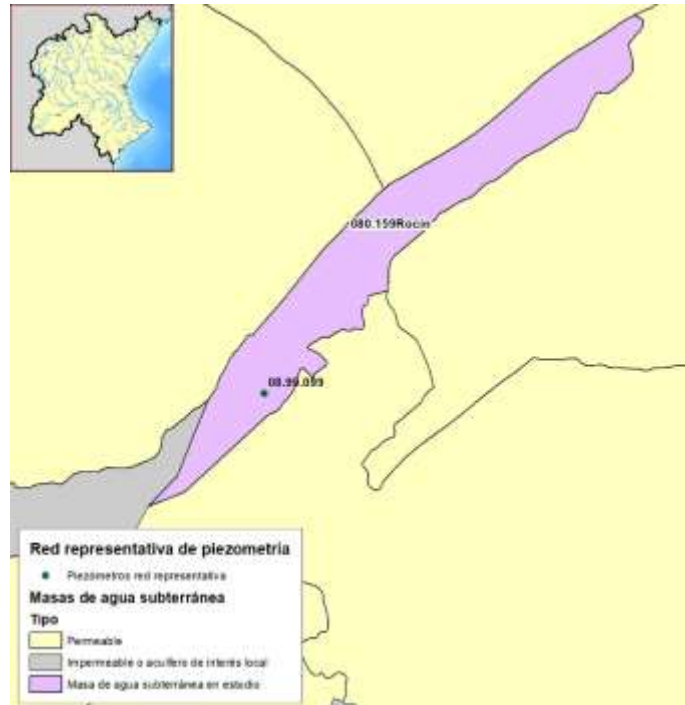


Figura 122. Red representativa en la masa de agua subterránea 080.159 Rocín.

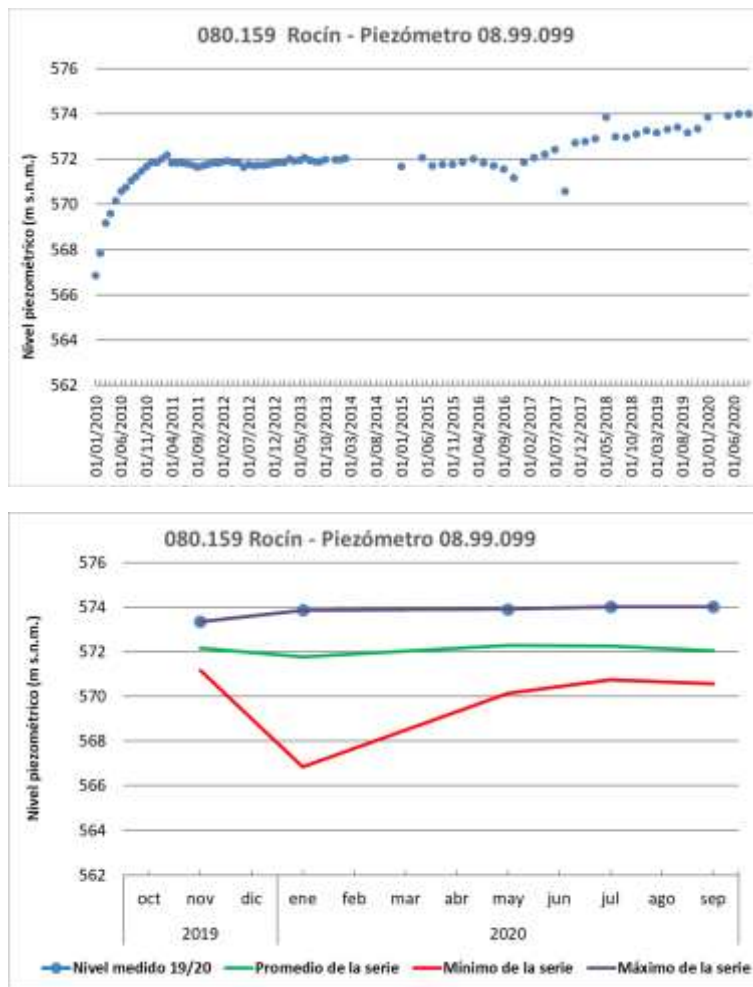


Figura 123. Piezometría en la masa de agua 080.159 Rocín: serie histórica y año hidrológico 2019/20. Piezómetro 08.99.099.

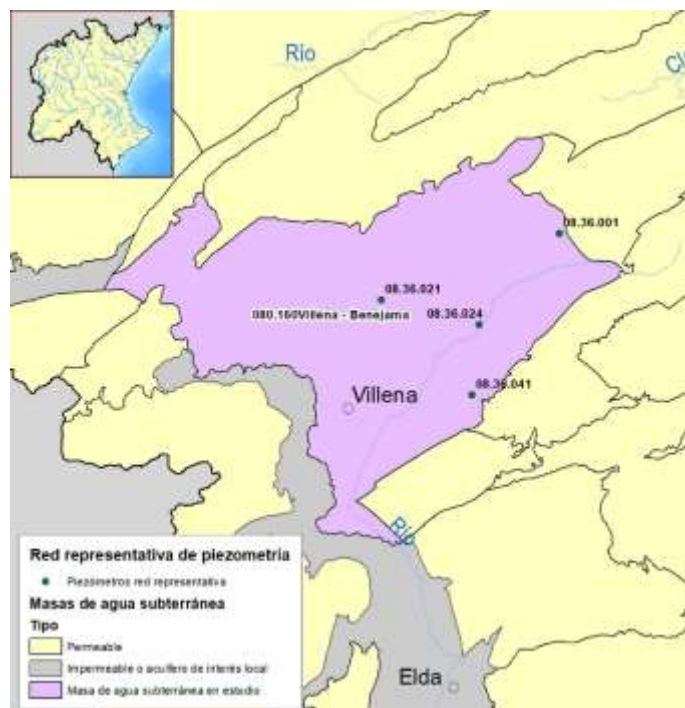


Figura 124. Red representativa en la masa de agua subterránea 080.160 Villena-Benejama.

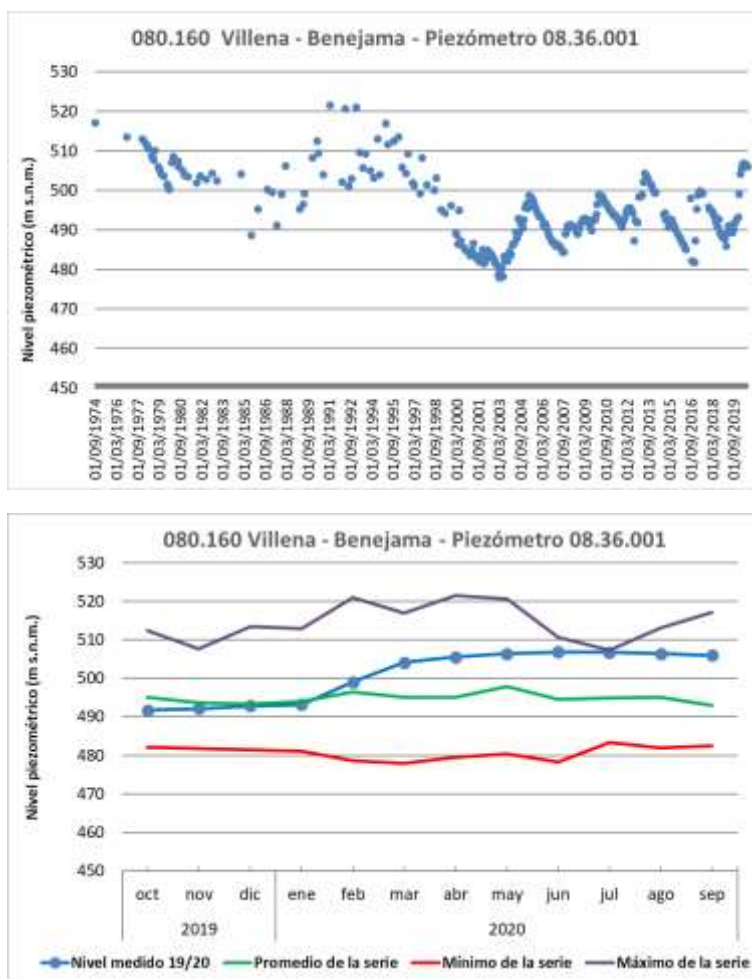


Figura 125. Piezometría en la masa de agua 080.160 Villena-Benejama: serie histórica y año hidrológico 2019/20. Piezómetro 08.36.001.

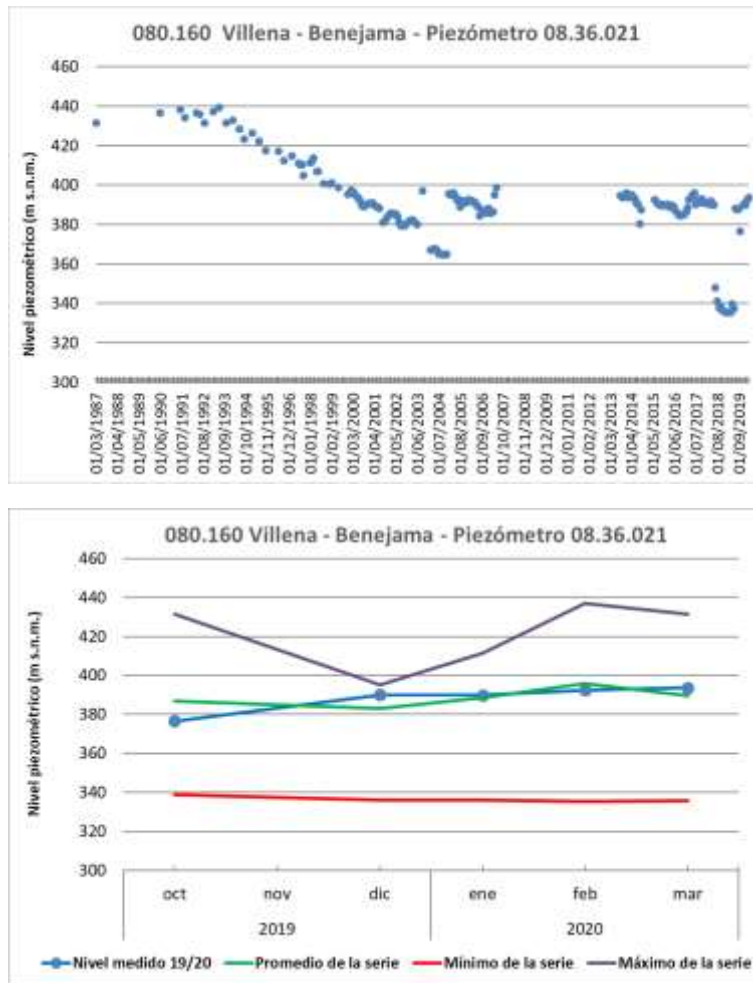


Figura 126. Piezometría en la masa de agua 080.160 Villena-Benezama: serie histórica y año hidrológico 2019/20. Piezómetro 08.36.021.

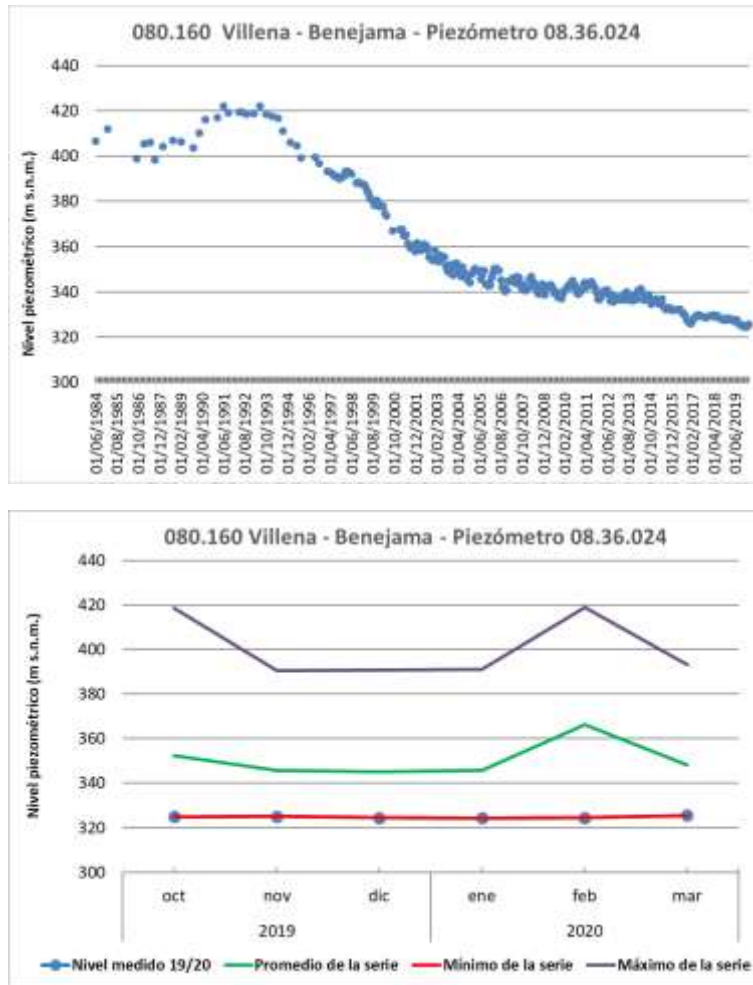


Figura 127. Piezometría en la masa de agua 080.160 Villena-Benejama: serie histórica y año hidrológico 2019/20. Piezómetro 08.36.024.

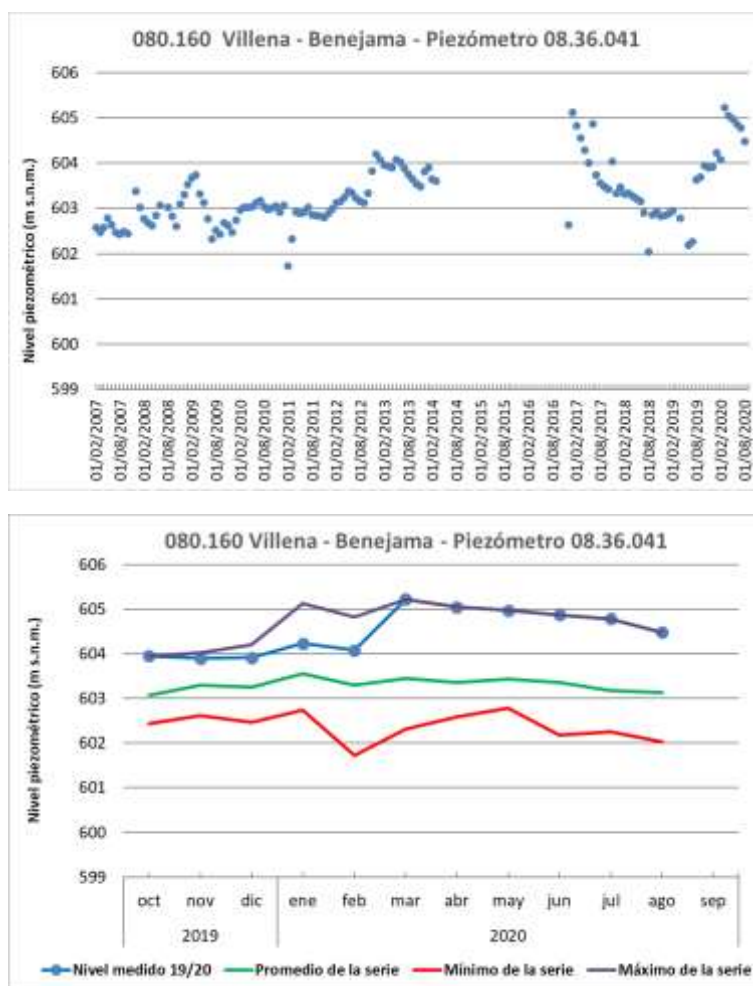


Figura 128. Piezometría en la masa de agua 080.160 Villena-Benejama: serie histórica y año hidrológico 2019/20. Piezómetro 08.36.041.



Figura 129. Red representativa en la masa de agua subterránea 080.161 Volcadores-Albaida.

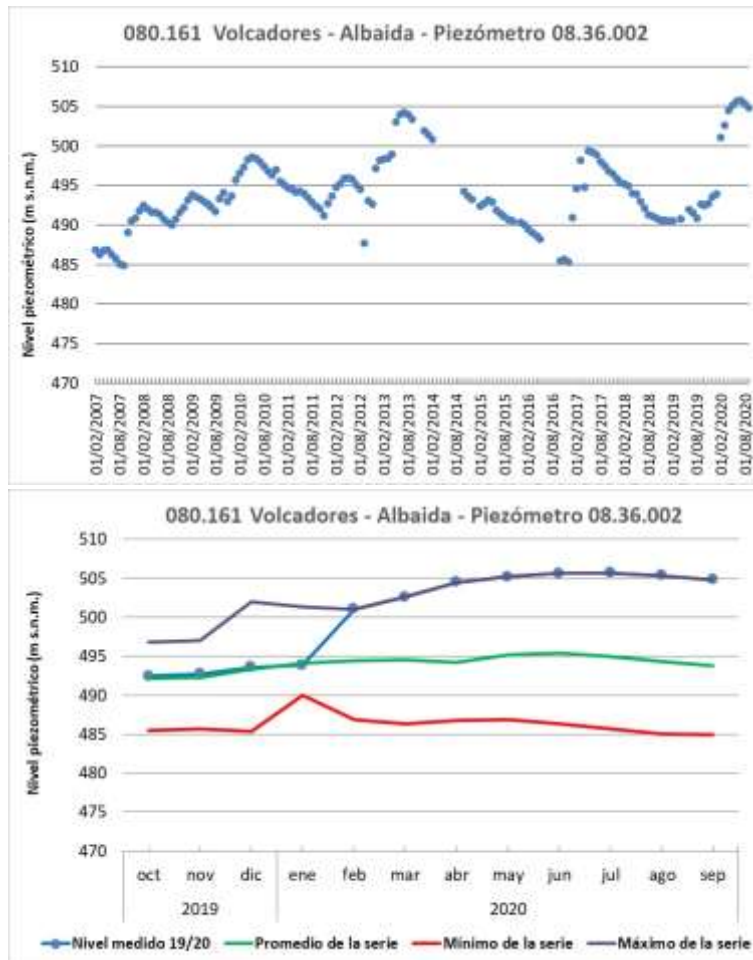


Figura 130. Piezometría en la masa de agua 080.161 Volcadores-Albaida: serie histórica y año hidrológico 2019/20. Piezómetro 08.36.002.

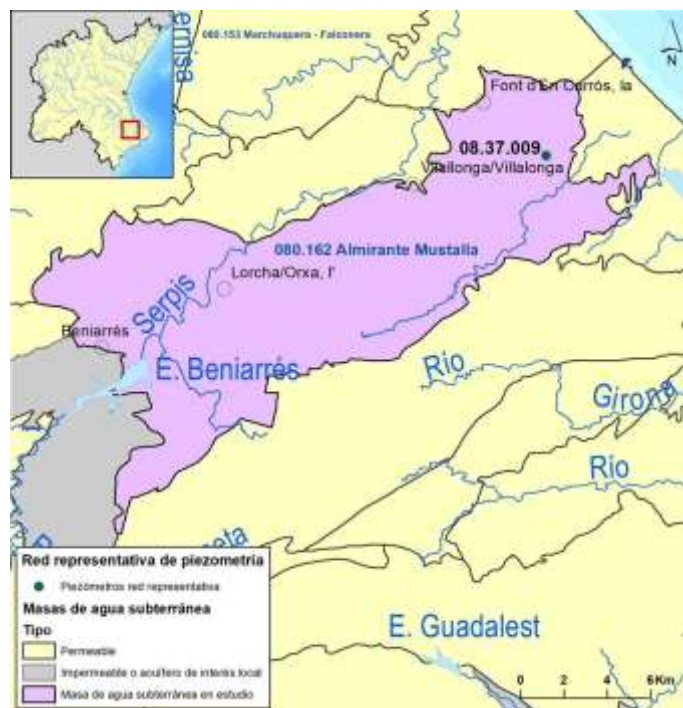


Figura 131. Red representativa en la masa de agua subterránea 080.162 Almirante-Mustalla.

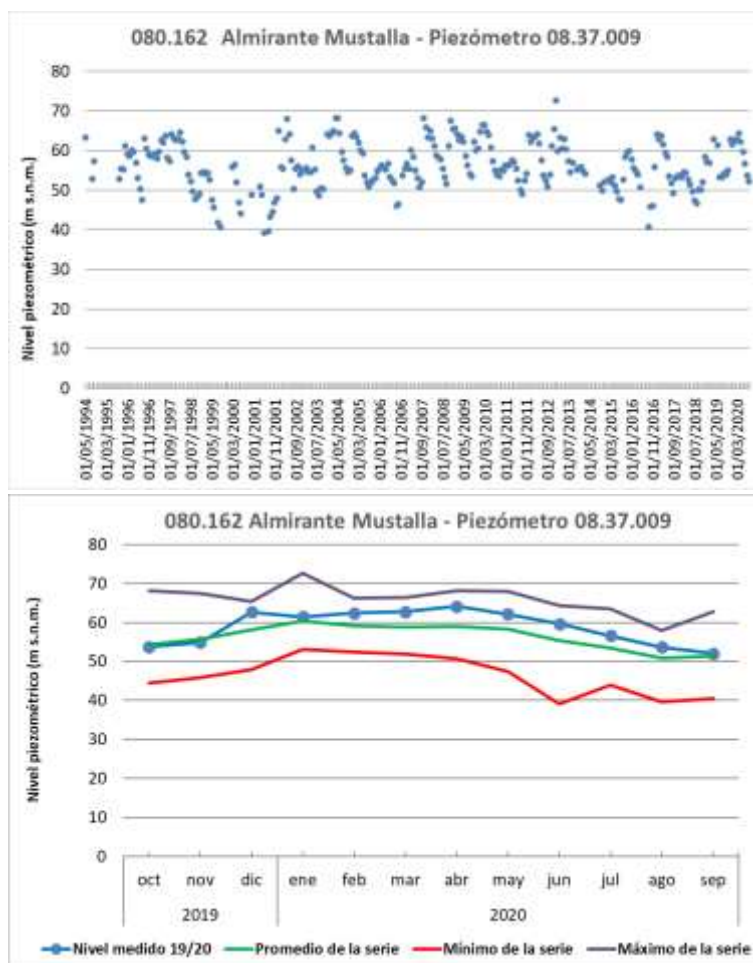


Figura 132. Piezometría en la masa de agua 080.162 Almirante-Mustalla: serie histórica y año hidrológico 2019/20. Piezómetro 08.37.009.



Figura 133. Red representativa en la masa de agua subterránea 080.163 Oliva-Pego.

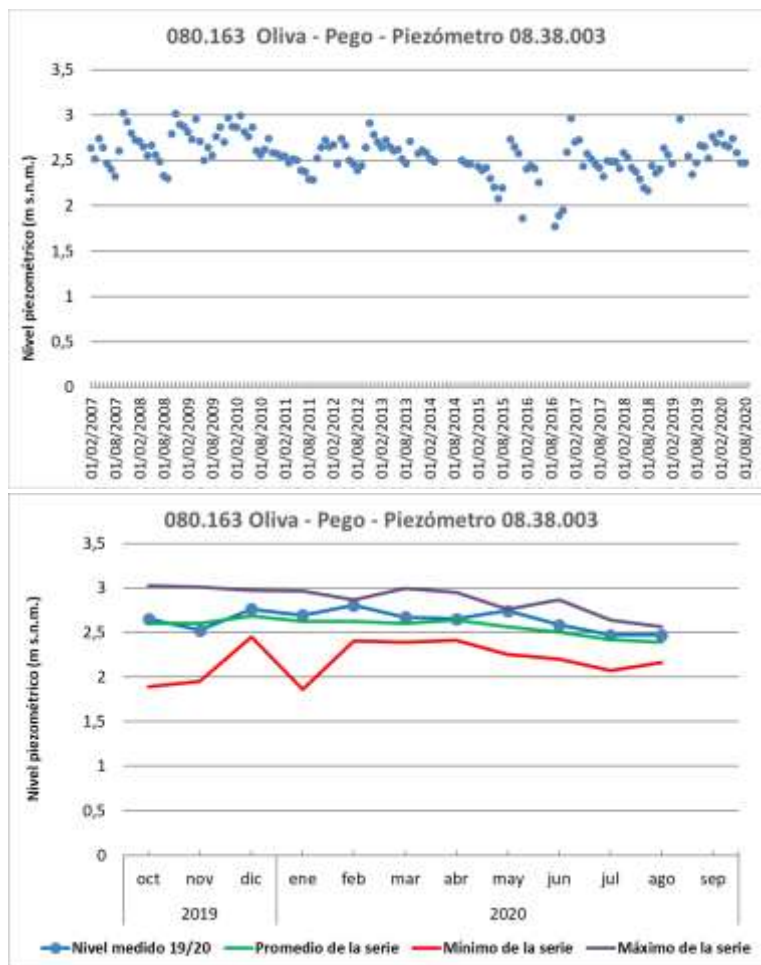


Figura 134. Piezometría en la masa de agua 080.162 Almirante-Mustalla: serie histórica y año hidrológico 2019/20. Piezómetro 08.38.003.

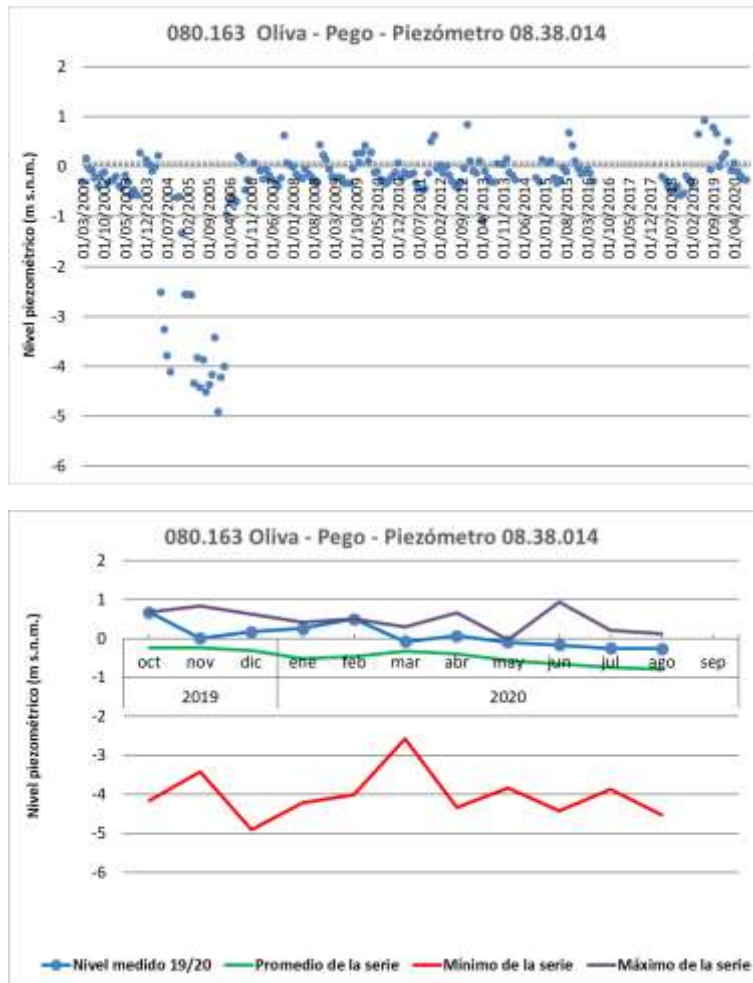


Figura 135. Piezometría en la masa de agua 080.162 Almirante-Mustalla: serie histórica y año hidrológico 2019/20. Piezómetro 08.38.014.



Figura 136. Red representativa en la masa de agua subterránea 080.164 Ondara-Denia.

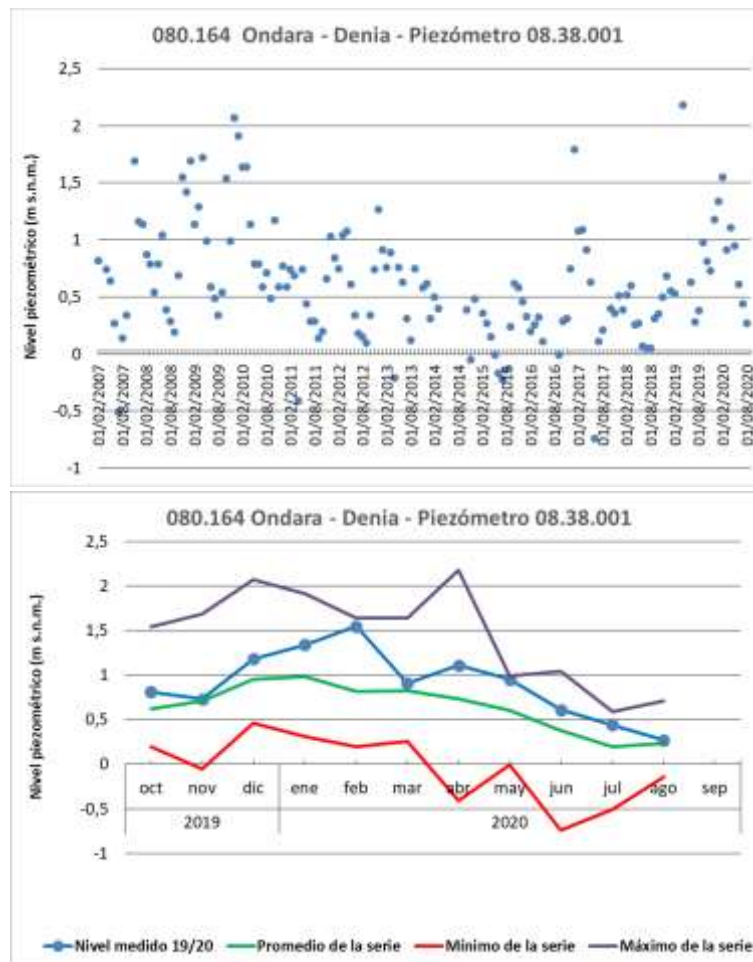


Figura 137. Piezometría en la masa de agua 080.164 Ondara-Denia: serie histórica y año hidrológico 2019/20. Piezómetro 08.38.001.



Figura 138. Red representativa en la masa de agua subterránea 080.165 Montgó.

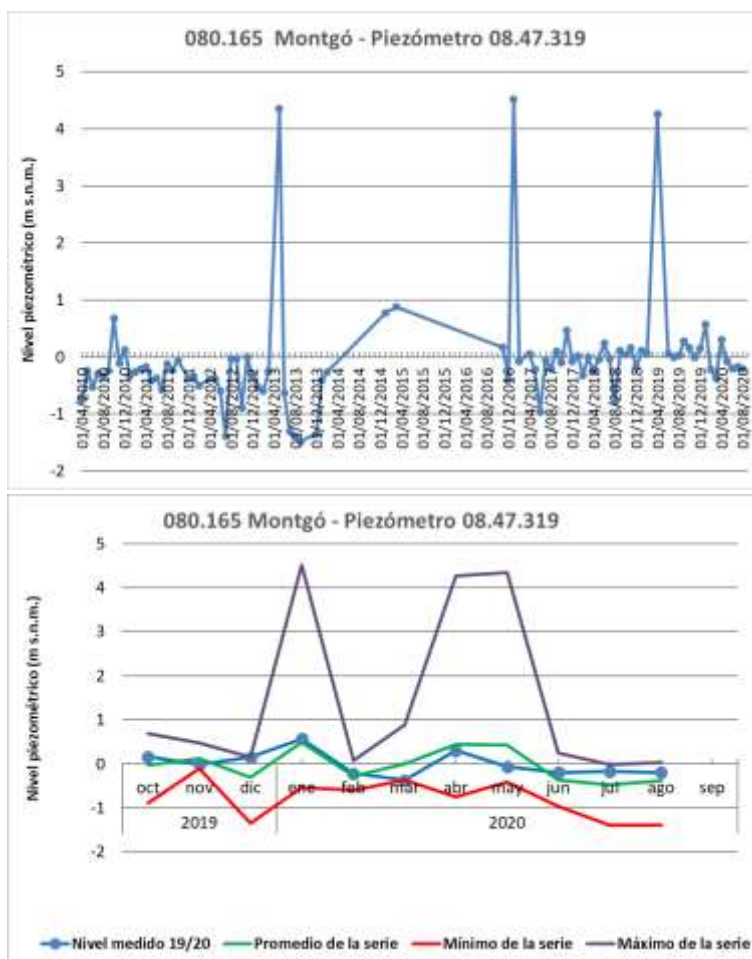


Figura 139. Piezometría en la masa de agua 080.165 Montgó: serie histórica y año hidrológico 2019/20. Piezómetro 08.47.319.

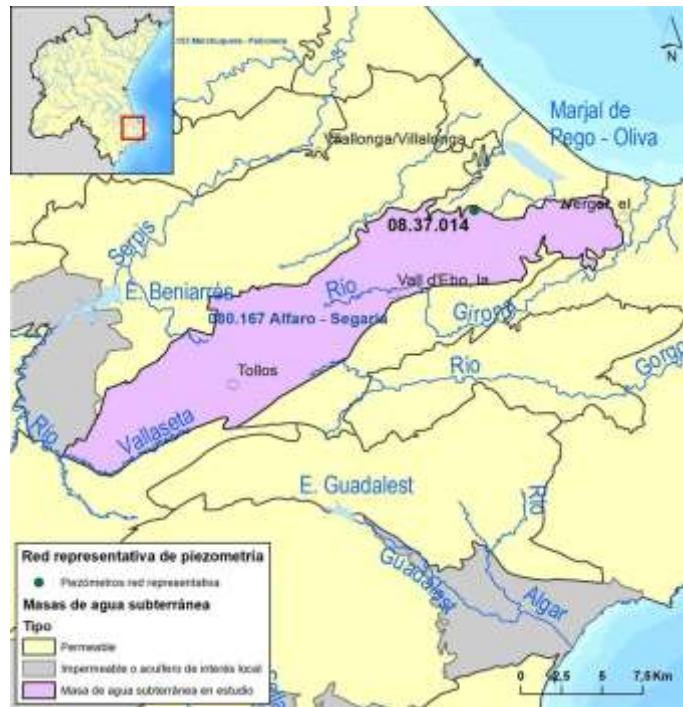


Figura 140. Red representativa en la masa de agua subterránea 080.167 Alfaro-Segaria.

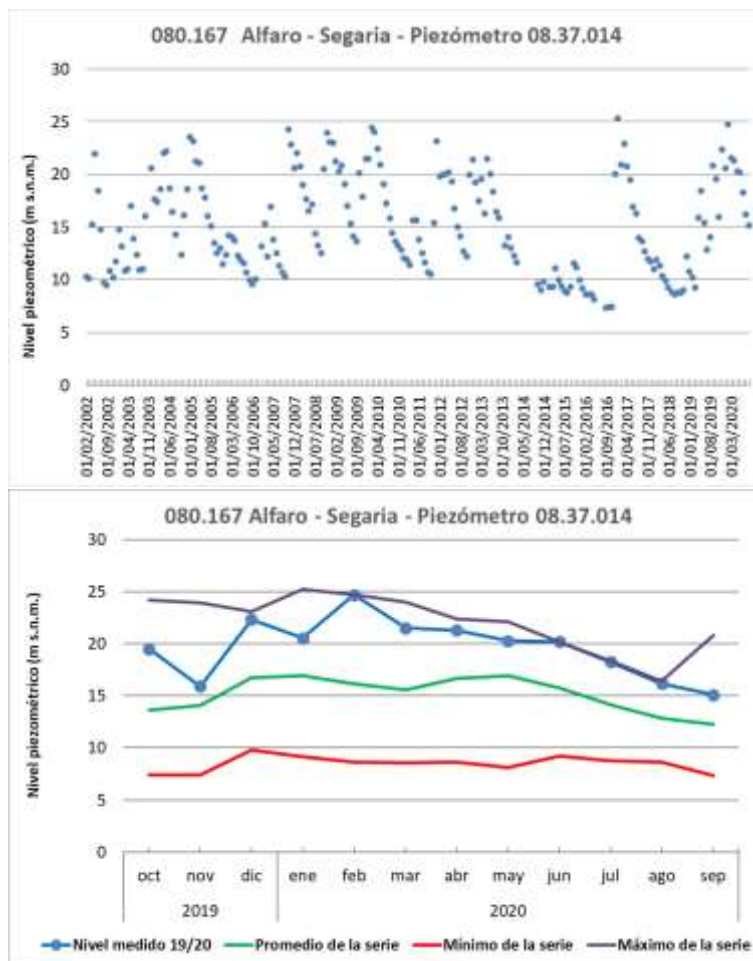


Figura 141. Piezometría en la masa de agua 080.167 Alfaro-Segaria: serie histórica y año hidrológico 2019/20. Piezómetro 08.37.014.

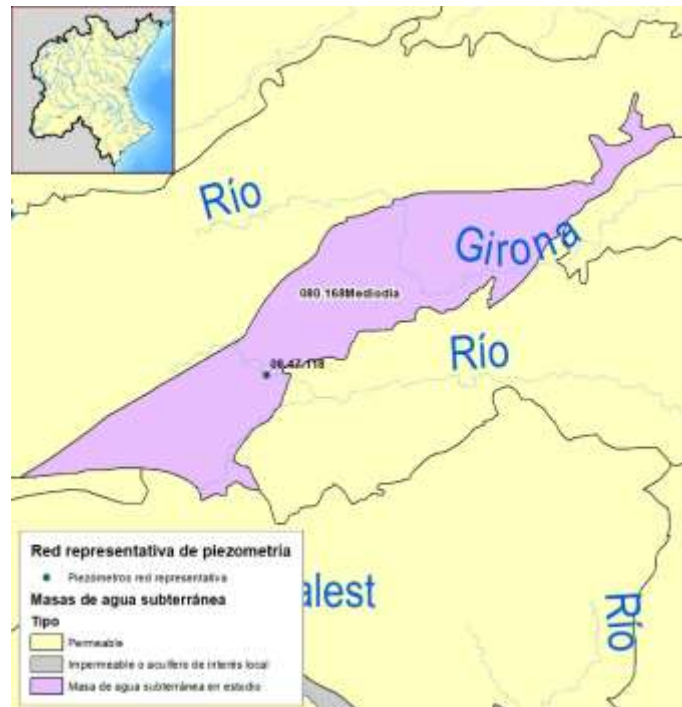


Figura 142. Red representativa en la masa de agua subterránea 080.168 Mediodía.

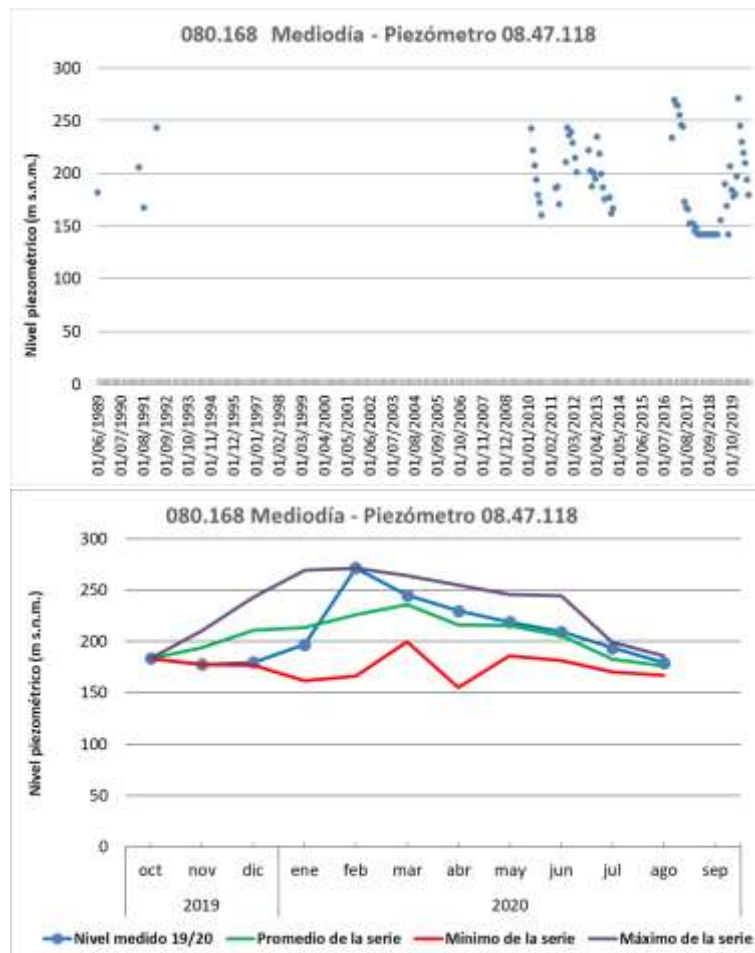


Figura 143. Piezometría en la masa de agua 080.168 Mediodía: serie histórica y año hidrológico 2019/20. Piezómetro 08.47.118.

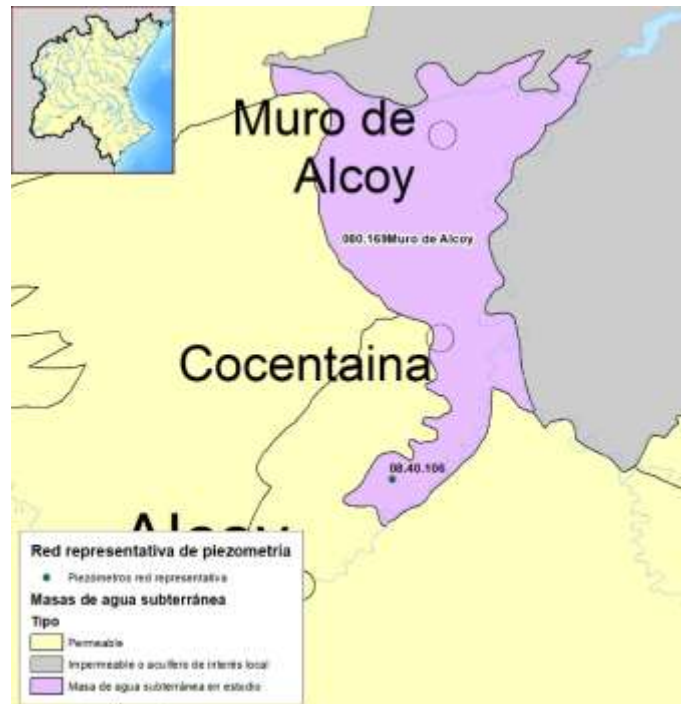


Figura 144. Red representativa en la masa de agua subterránea 080.169 Muro de Alcoy.

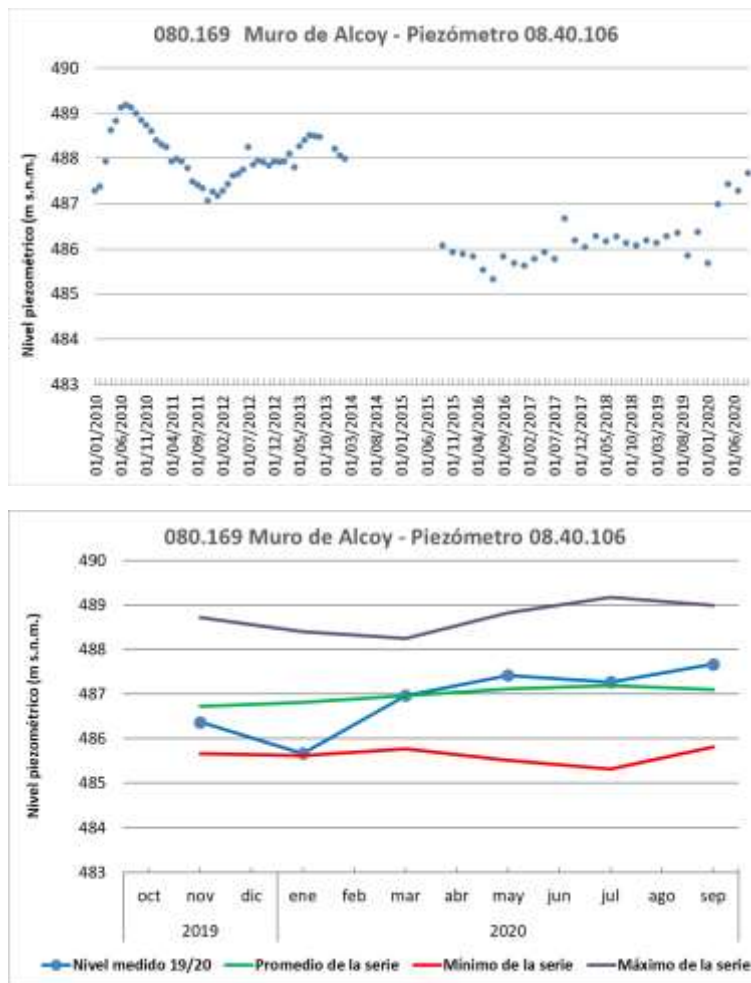


Figura 145. Piezometría en la masa de agua 080.169 Muro de Alcoy: serie histórica y año hidrológico 2019/20. Piezómetro 08.40.106.



Figura 146. Red representativa en la masa de agua subterránea 080.170 Salt San Cristóbal.

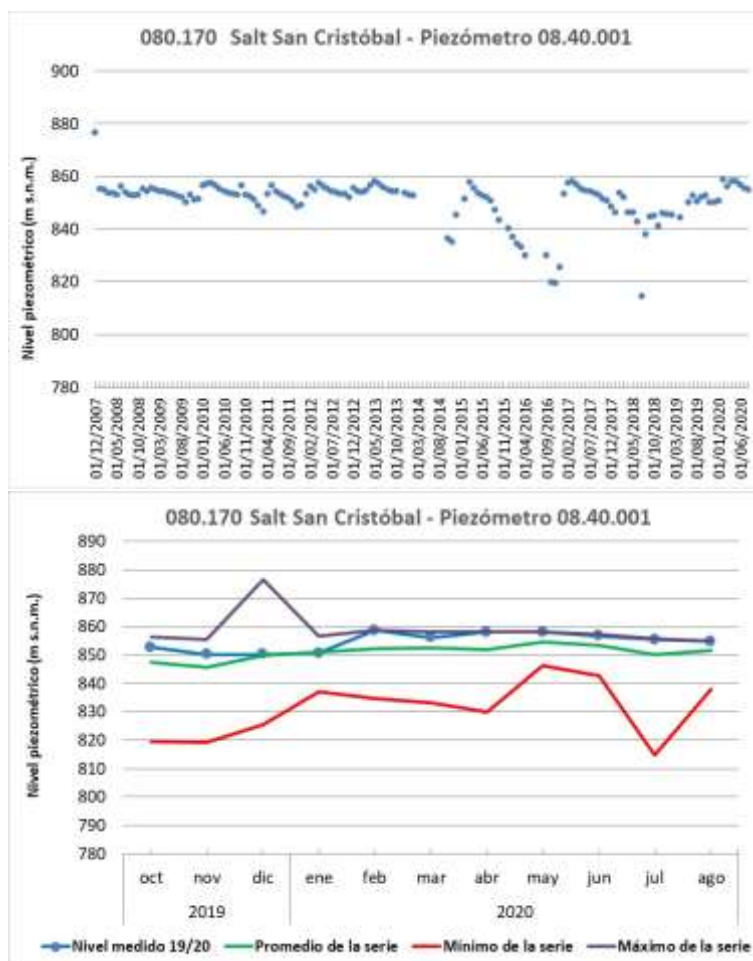


Figura 147. Piezometría en la masa de agua 080.170 Salt San Cristóbal: serie histórica y año hidrológico 2019/20. Piezómetro 08.40.001.

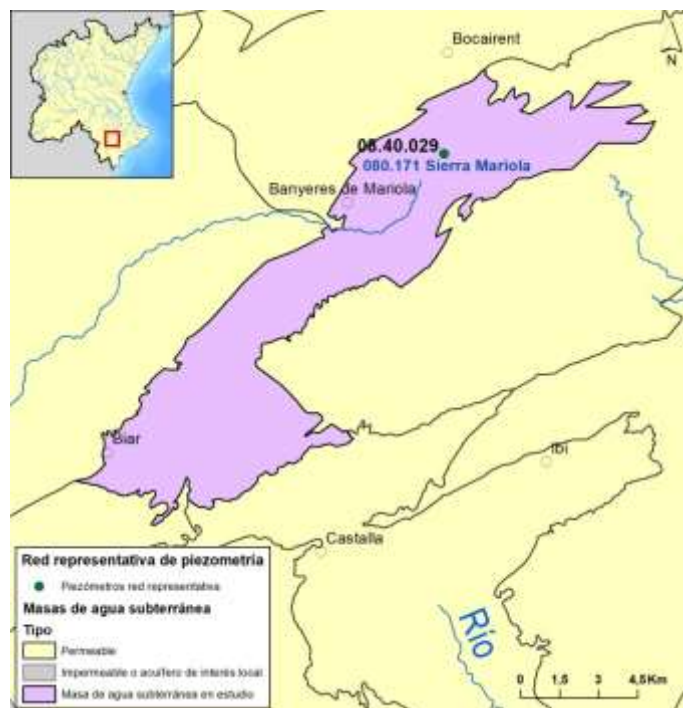


Figura 148. Red representativa en la masa de agua subterránea 080.171 Sierra Mariola.

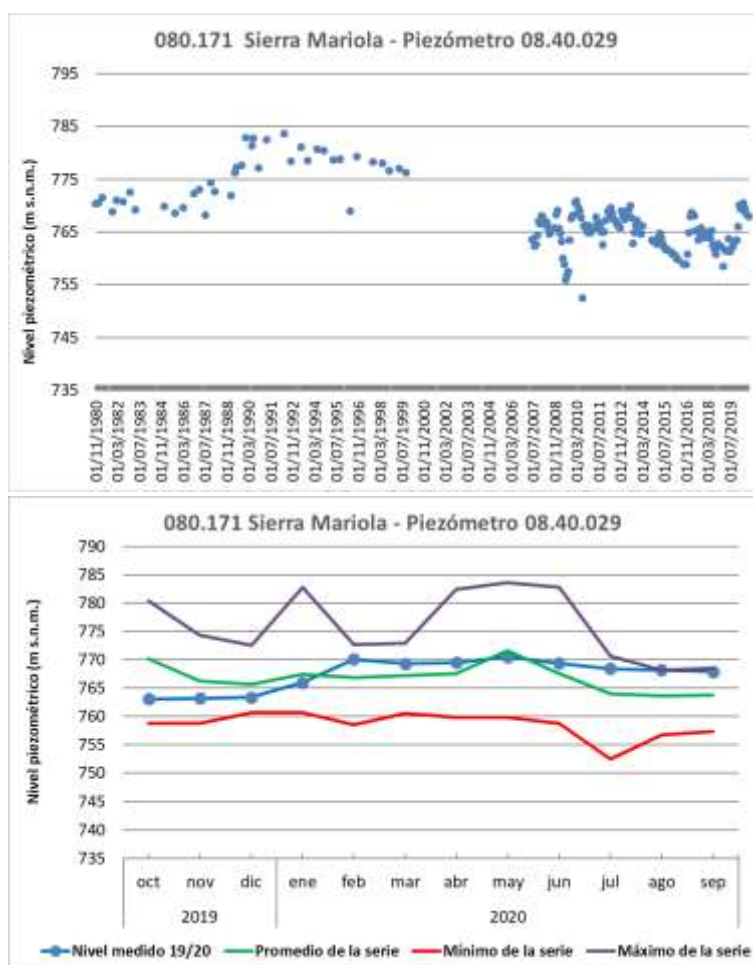


Figura 149. Piezometría en la masa de agua 080.171 Sierra Mariola: serie histórica y año hidrológico 2019/20. Piezómetro 08.40.029.

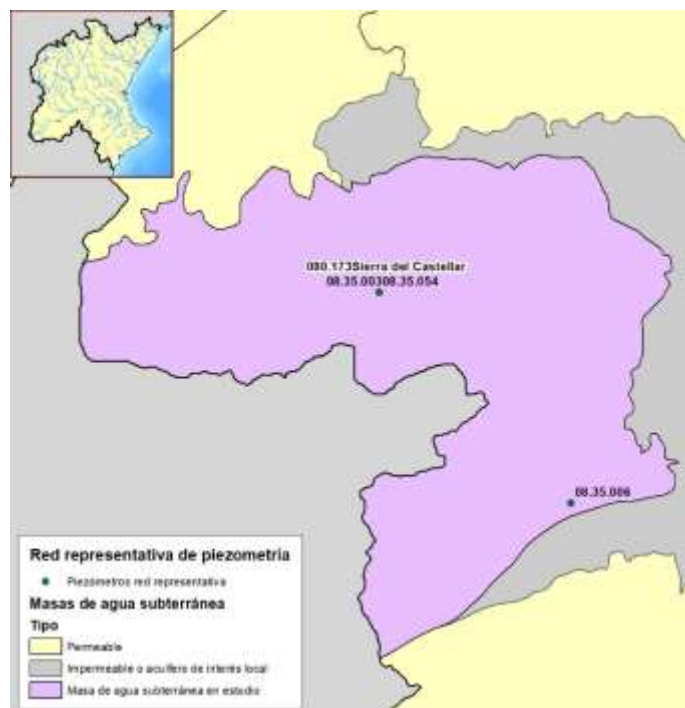


Figura 150. Red representativa en la masa de agua subterránea 080.173 Sierra del Castellar.

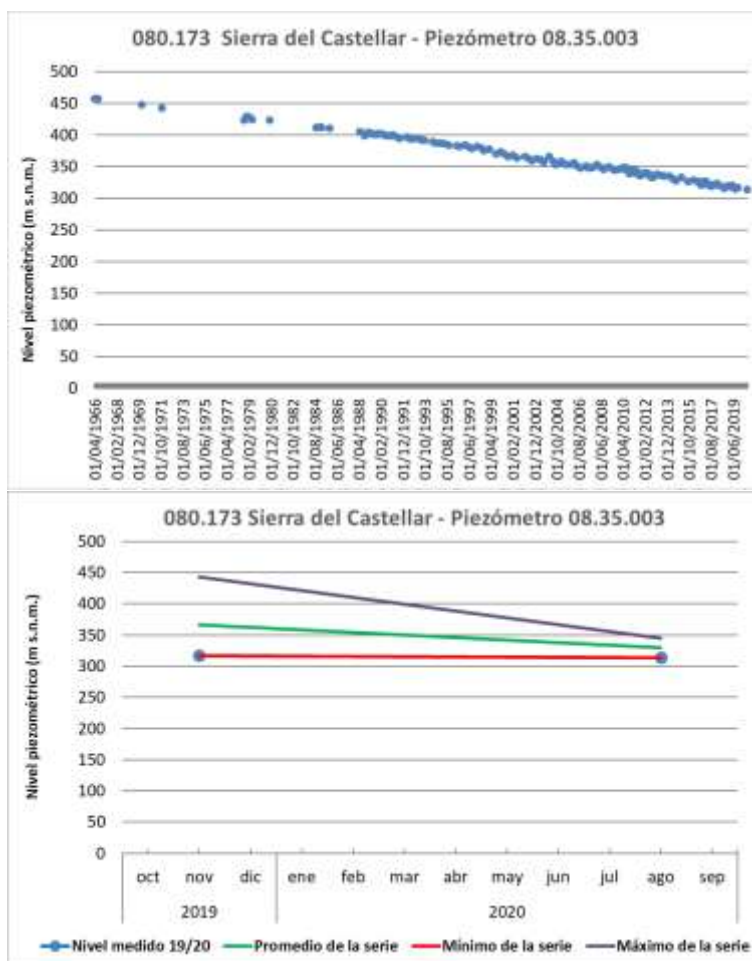


Figura 151. Piezometría en la masa de agua 080.173 Sierra del Castellar: serie histórica y año hidrológico 2019/20. Piezómetro 08.35.003.

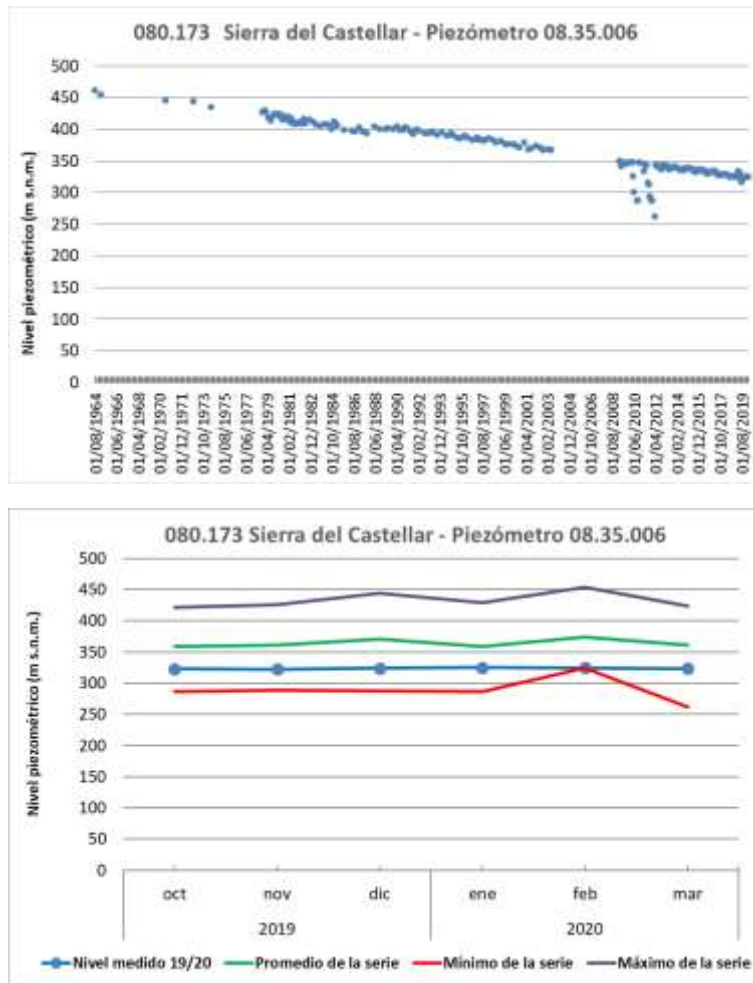


Figura 152. Piezometría en la masa de agua 080.173 Sierra del Castellar: serie histórica y año hidrológico 2019/20. Piezómetro 08.35.006.

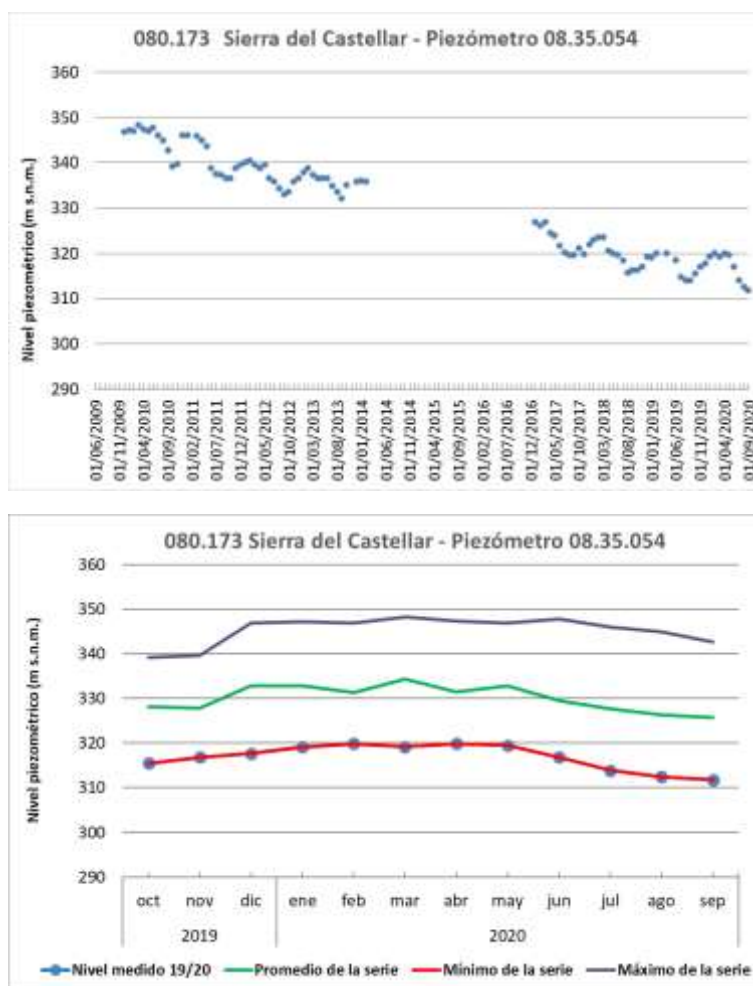


Figura 153. Piezometría en la masa de agua 080.173 Sierra del Castellar: serie histórica y año hidrológico 2019/20. Piezómetro 08.35.054.

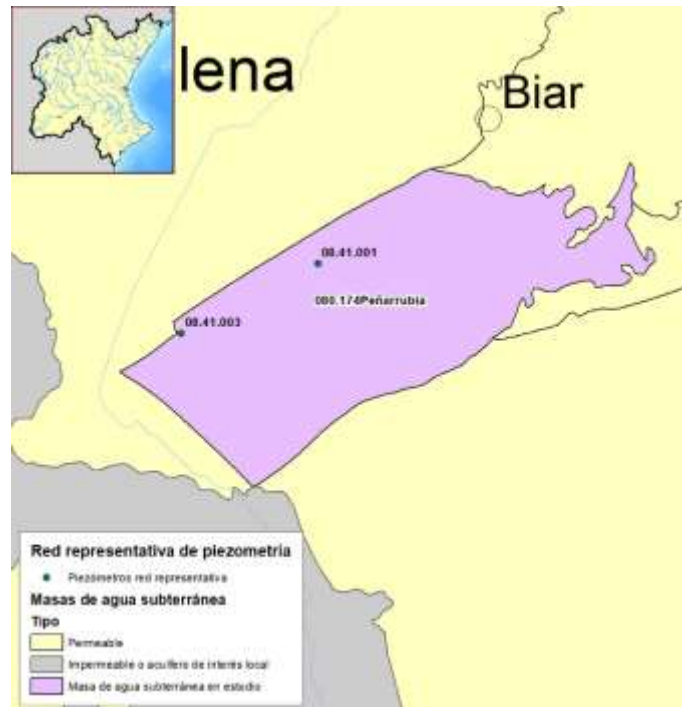


Figura 154. Red representativa en la masa de agua subterránea 080.174 Peñarrubia.

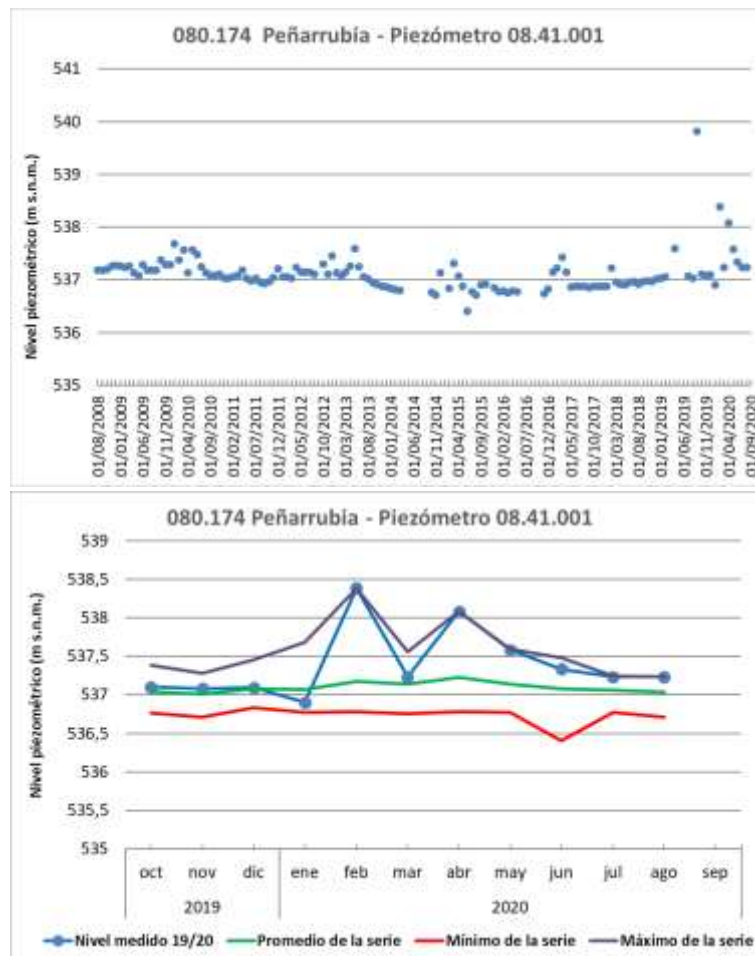


Figura 155. Piezometría en la masa de agua 080.174 Peñarrubia: serie histórica y año hidrológico 2019/20. Piezómetro 08.41.001.

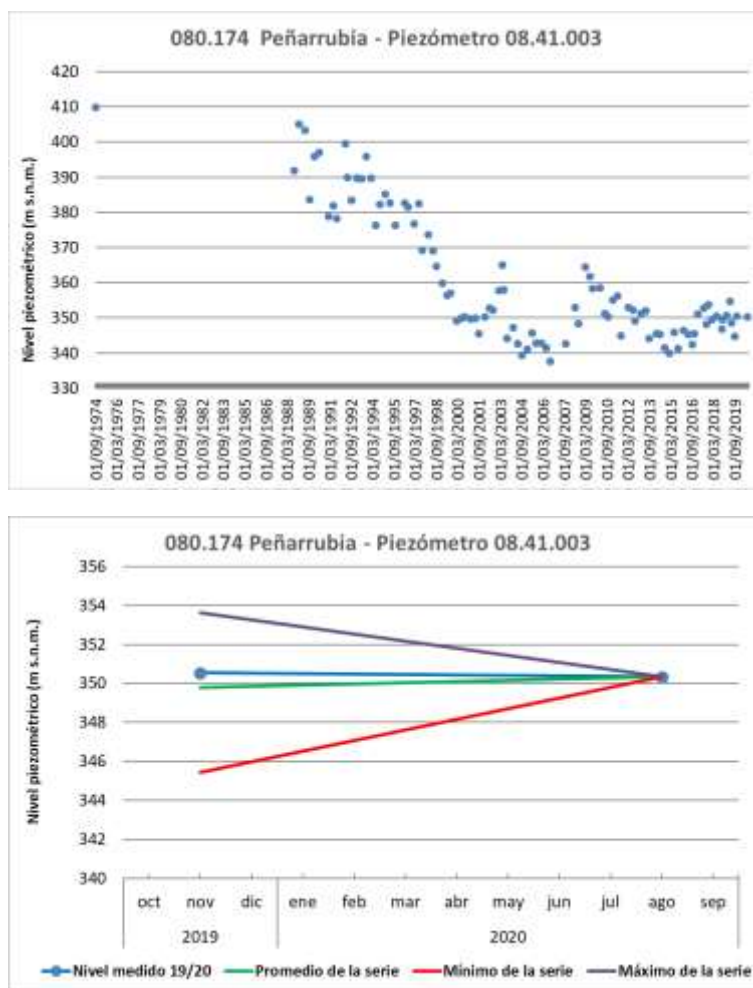


Figura 156. Piezometría en la masa de agua 080.174 Peñarrubia: serie histórica y año hidrológico 2019/20. Piezómetro 08.41.003.

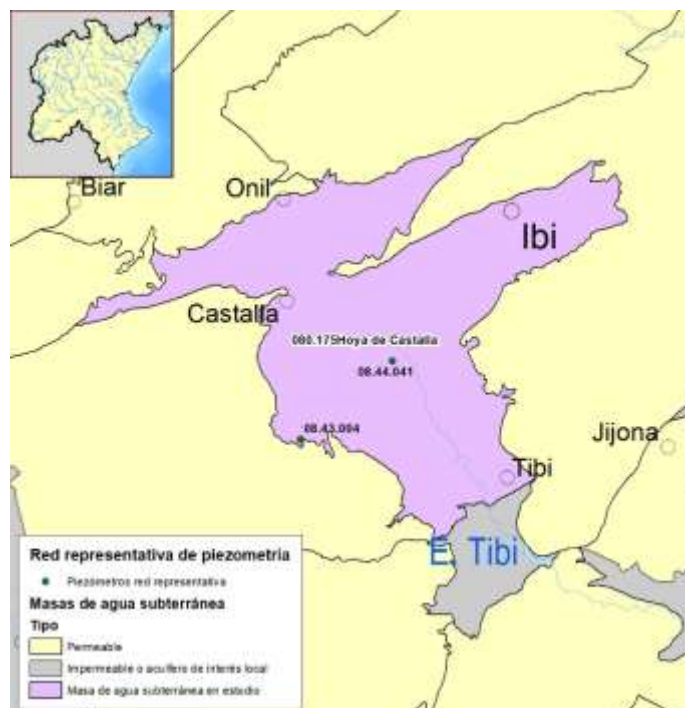


Figura 157. Red representativa en la masa de agua subterránea 080.175 Hoya de Castalla.

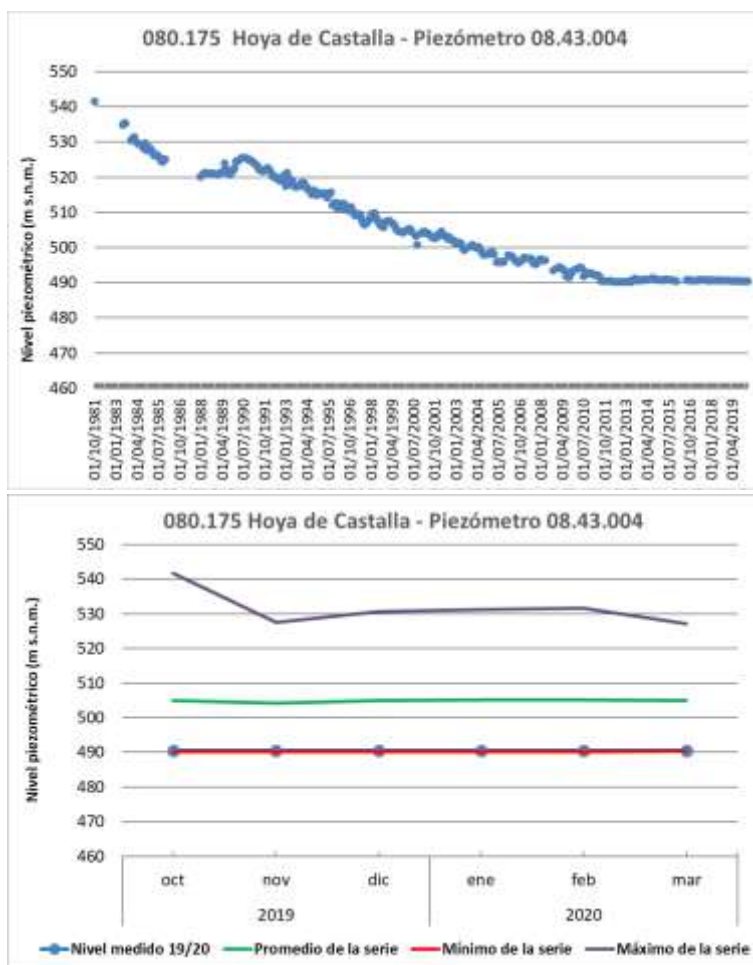


Figura 158. Piezometría en la masa de agua 080.175 Hoya de Castalla: serie histórica y año hidrológico 2019/20. Piezómetro 08.43.004.

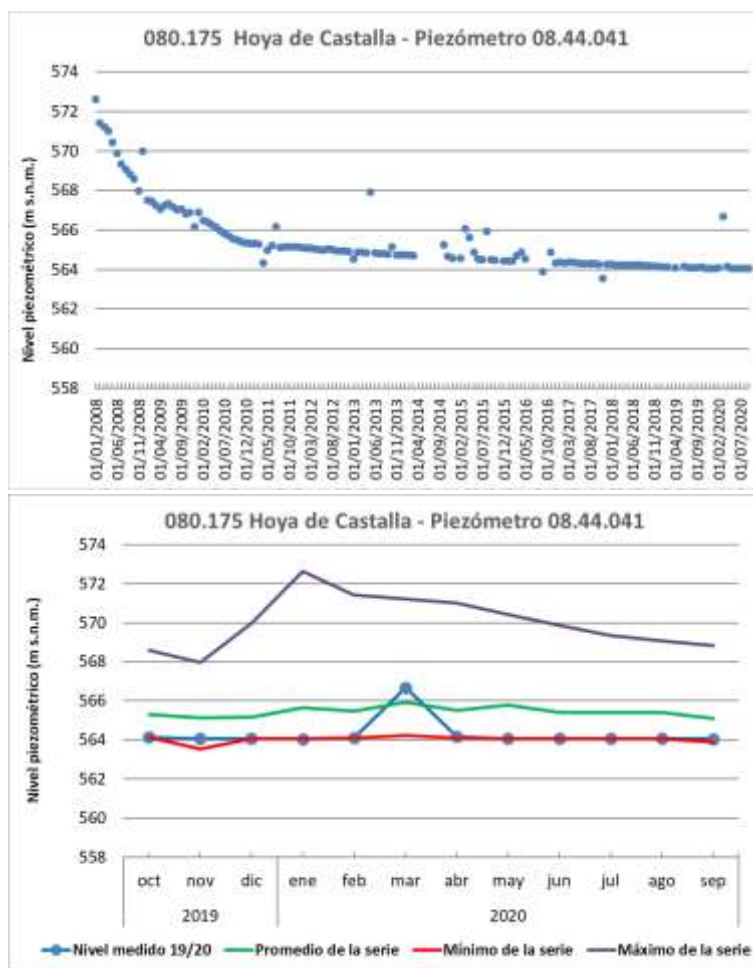


Figura 159. Piezometría en la masa de agua 080.175 Hoya de Castalla: serie histórica y año hidrológico 2019/20. Piezómetro 08.44.041.

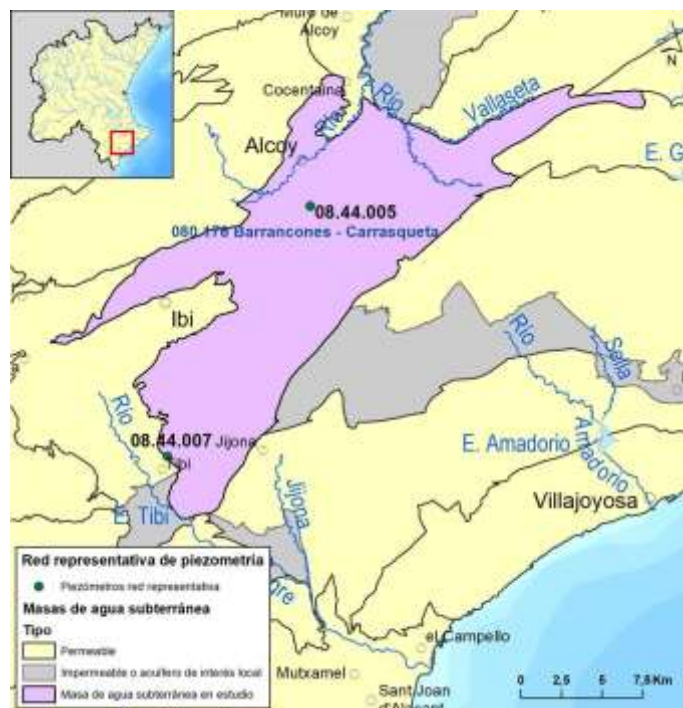


Figura 160. Red representativa en la masa de agua subterránea 080.176 Barrancones-Carrasqueta.

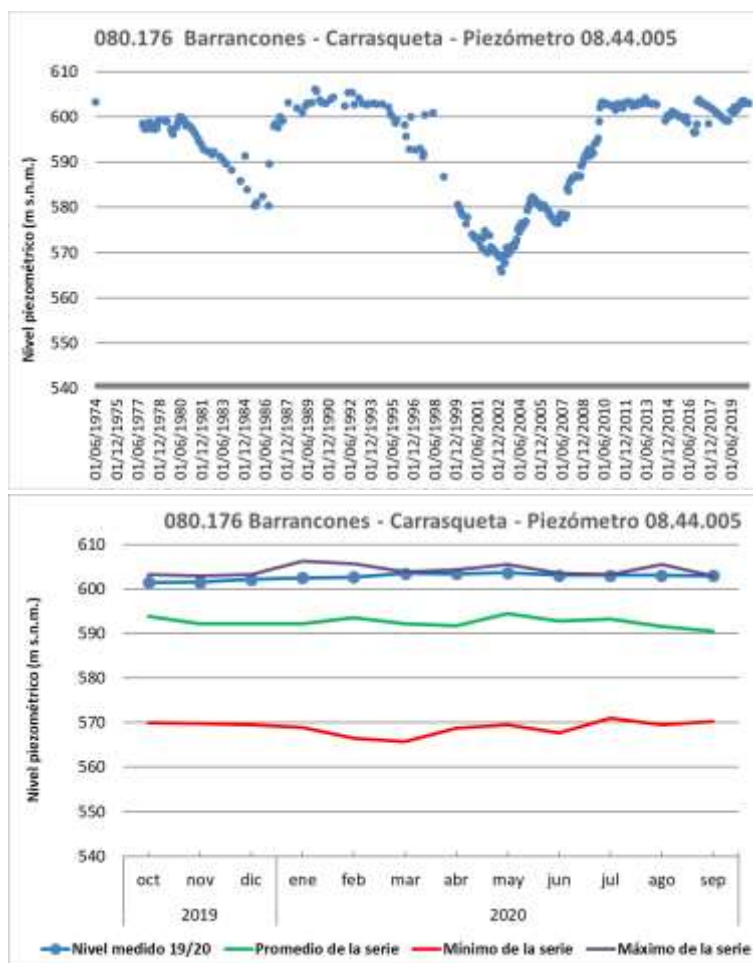


Figura 161. Piezometría en la masa de agua 080.176 Barrancones-Carrasqueta: serie histórica y año hidrológico 2019/20. Piezómetro 08.44.005.

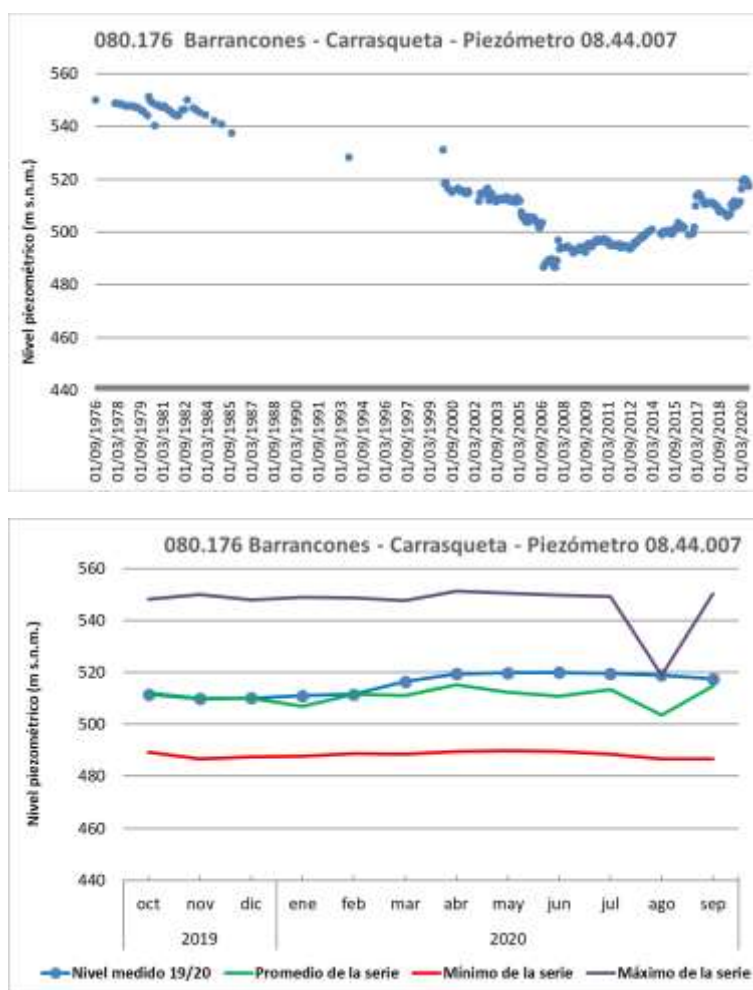


Figura 162. Piezometría en la masa de agua 080.176 Barrancones-Carrasqueta: serie histórica y año hidrológico 2019/20. Piezómetro 08.44.007.

Destacar que, en el gráfico anterior se observa un pico descendente en el dato de promedio y máximo calculado para el mes de agosto en el piezómetro 08.44.007. Esto es debido a que, pese a disponer de una serie larga de medidas (desde los años 70), para el mes de agosto en concreto no hay datos disponibles hasta el año 2001. En este punto ha habido un descenso del nivel muy acusado, y al no disponer de medidas para los años en los que los niveles piezométricos eran más elevados (años 70 u 80), el máximo calculado para el mes de agosto es inferior al resto de meses, para los que hay datos históricos de nivel más elevados.



Figura 163. Red representativa en la masa de agua subterránea 080.178 Serrella-Aixorta-Algar.

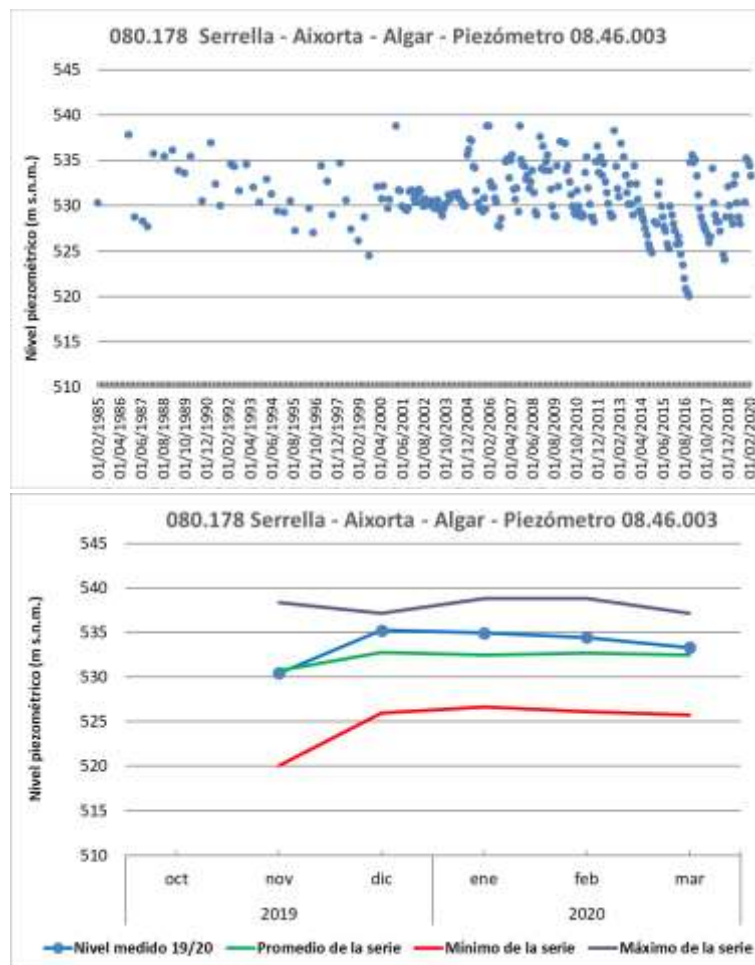


Figura 164. Piezometría en la masa de agua 080.178 Serrella-Aixorta-Algar: serie histórica y año hidrológico 2019/20. Piezómetro 08.46.003.



Figura 165. Red representativa en la masa de agua subterránea 080.180 Jávea.

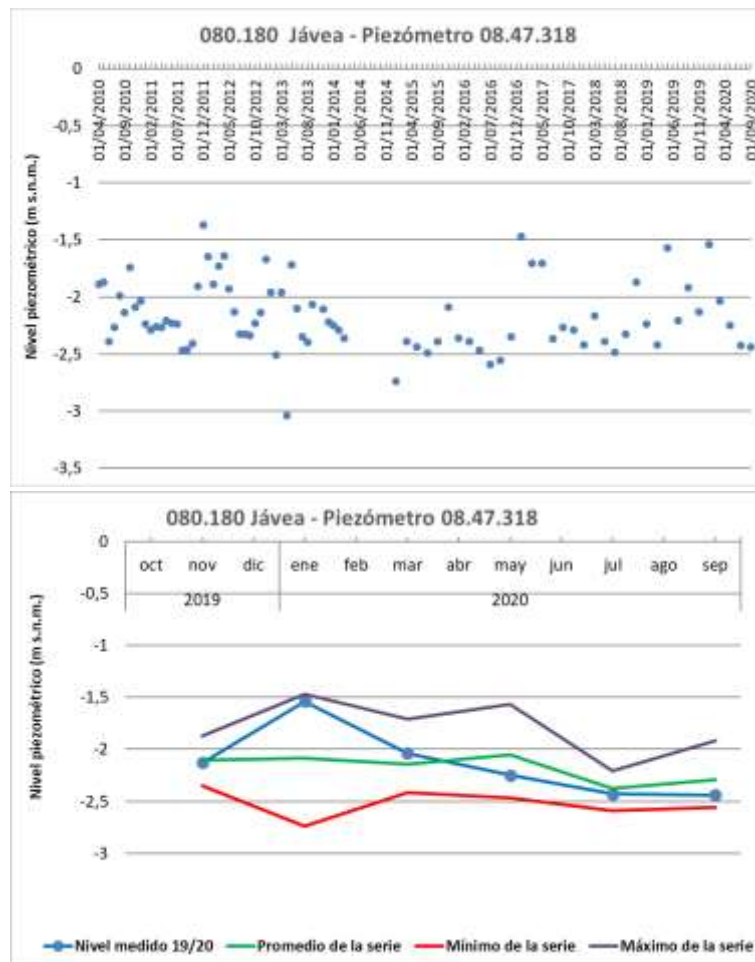


Figura 166. Piezometría en la masa de agua 080.180 Jávea: serie histórica y año hidrológico 2019/20. Piezómetro 08.47.318.



Figura 167. Red representativa en la masa de agua subterránea 080.181 Sierra de Salinas.

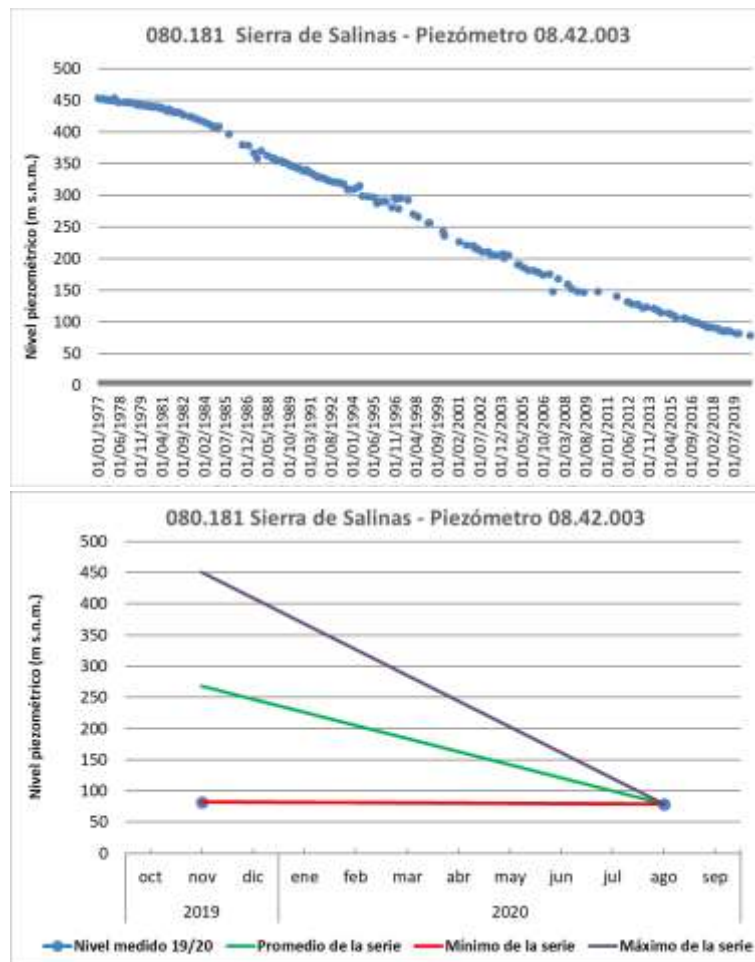


Figura 168. Piezometría en la masa de agua 080.181 Sierra de Salinas: serie histórica y año hidrológico 2019/20. Piezómetro 08.42.003.



Figura 169. Piezometría en la masa de agua 080.181 Sierra de Salinas: serie histórica y año hidrológico 2019/20. Piezómetro 08.42.035.

En este año hidrológico sólo se dispone de una medida para este punto, por lo que no es posible estudiar su evolución.

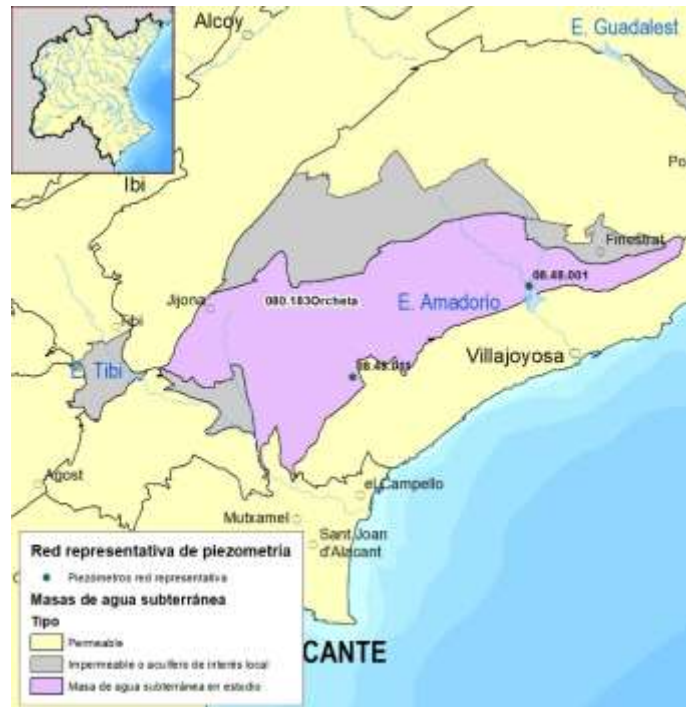


Figura 170. Red representativa en la masa de agua subterránea 080.183 Orcheta.

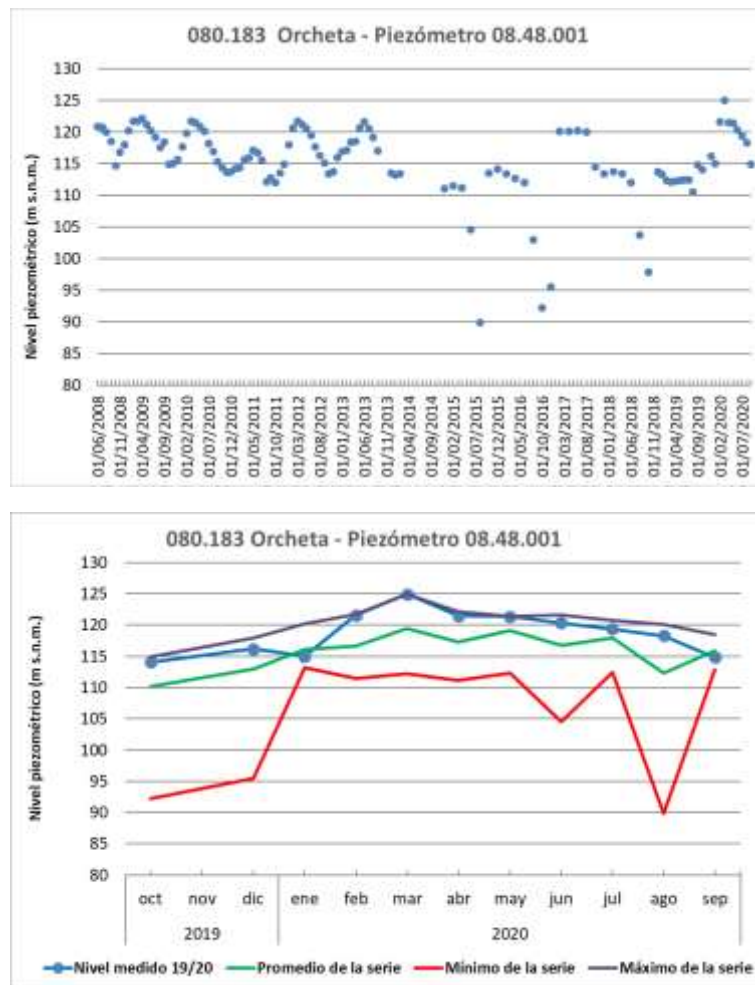


Figura 171. Piezometría en la masa de agua 080.183 Orcheta: serie histórica y año hidrológico 2019/20. Piezómetro 08.48.001.

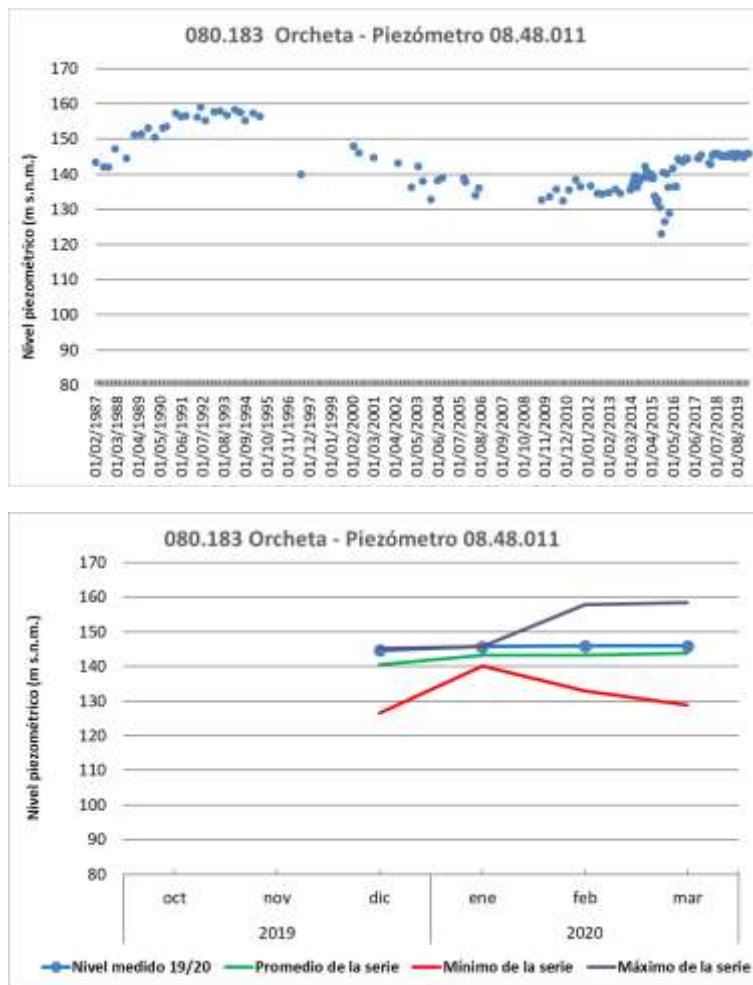


Figura 172. Piezometría en la masa de agua 080.183 Orcheta: serie histórica y año hidrológico 2019/20. Piezómetro 08.48.011.



Figura 173. Red representativa en la masa de agua subterránea 080.186 Sierra del Cid.

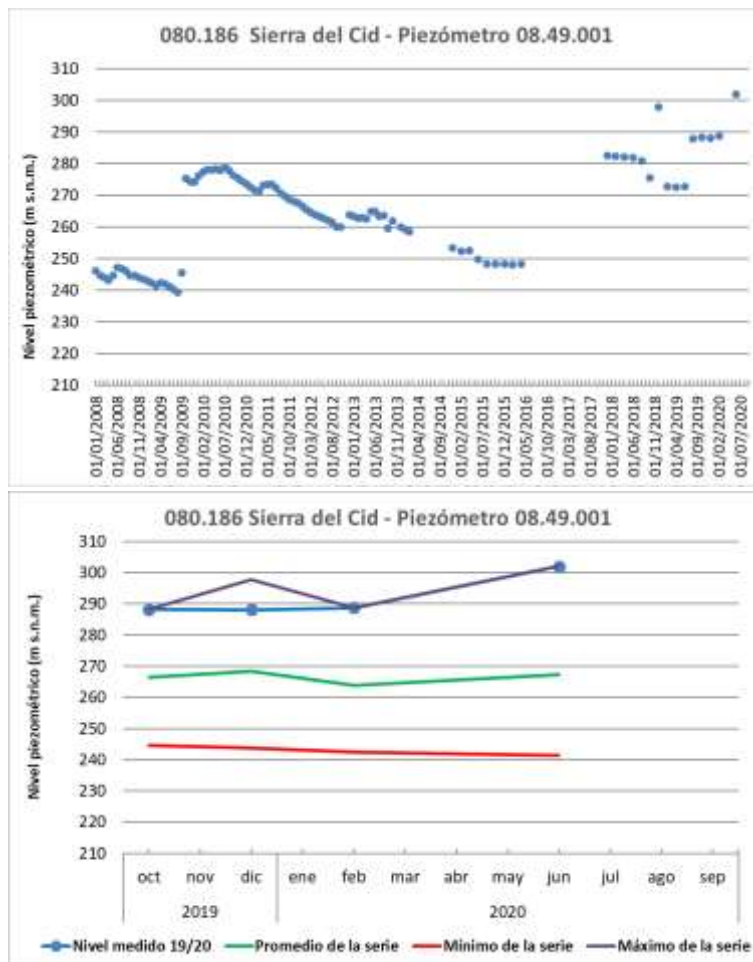


Figura 174. Piezometría en la masa de agua 080.186 Sierra del Cid: serie histórica y año hidrológico 2019/20. Piezómetro 08.49.001.

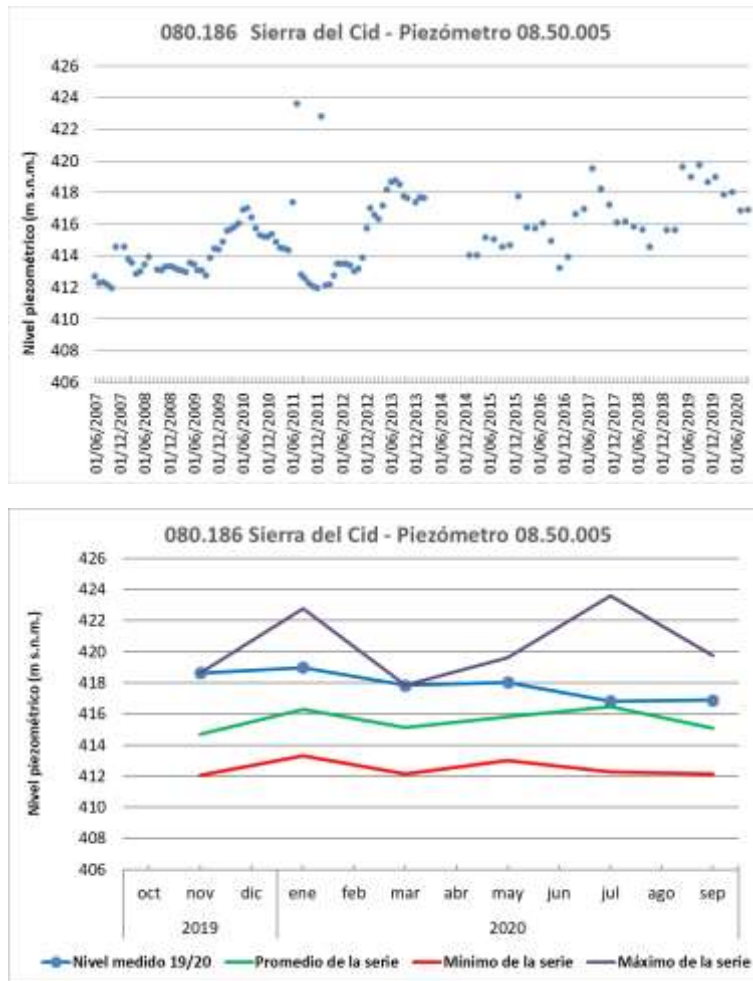


Figura 175. Piezometría en la masa de agua 080.186 Sierra del Cid: serie histórica y año hidrológico 2019/20. Piezómetro 08.50.005.



Figura 176. Red representativa en la masa de agua subterránea 080.187 Sierra del Reclot.

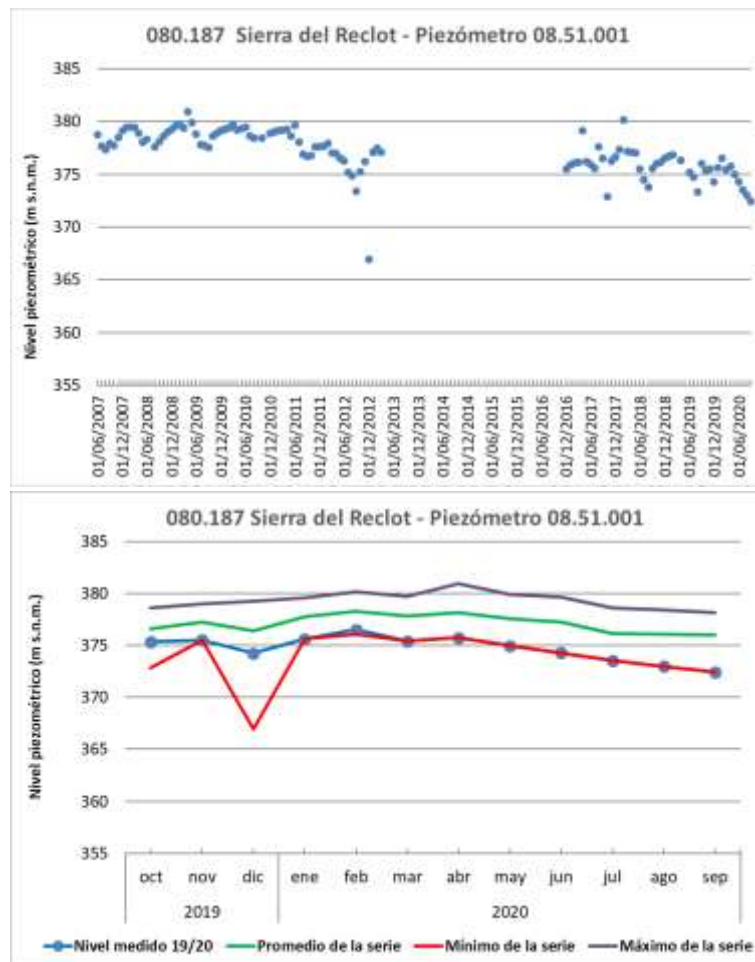


Figura 177. Piezometría en la masa de agua 080.187 Sierra del Reclot: serie histórica y año hidrológico 2019/20. Piezómetro 08.51.001.

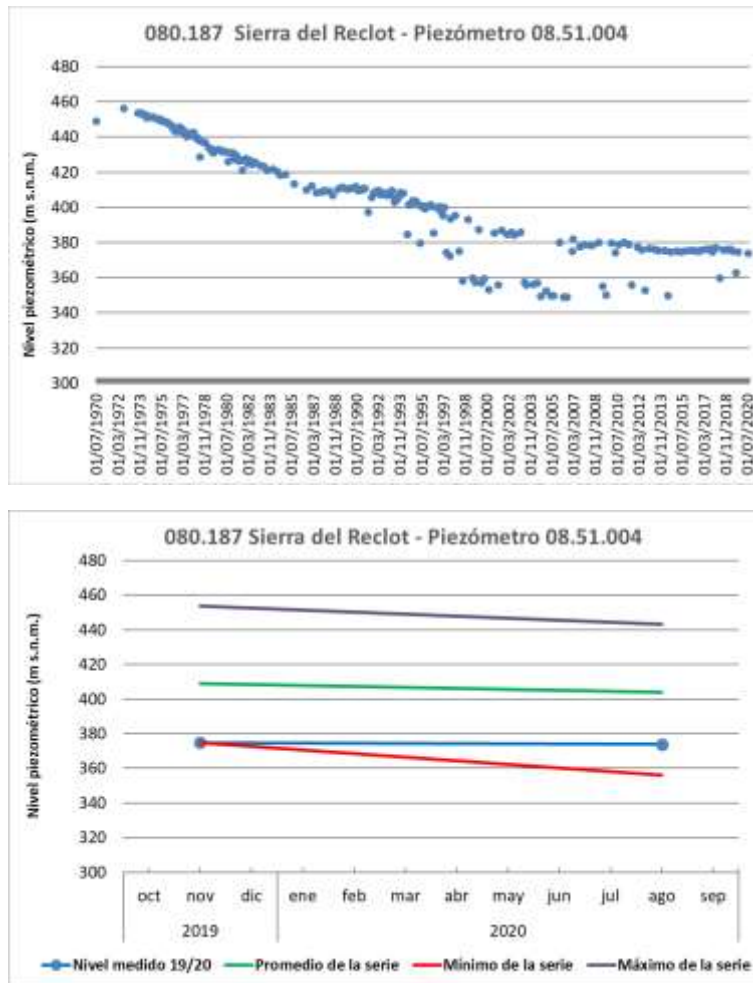


Figura 178. Piezometría en la masa de agua 080.187 Sierra del Reclot: serie histórica y año hidrológico 2019/20. Piezómetro 08.51.004.



Figura 179. Red representativa en la masa de agua subterránea 080.188 Sierra de Argallet.

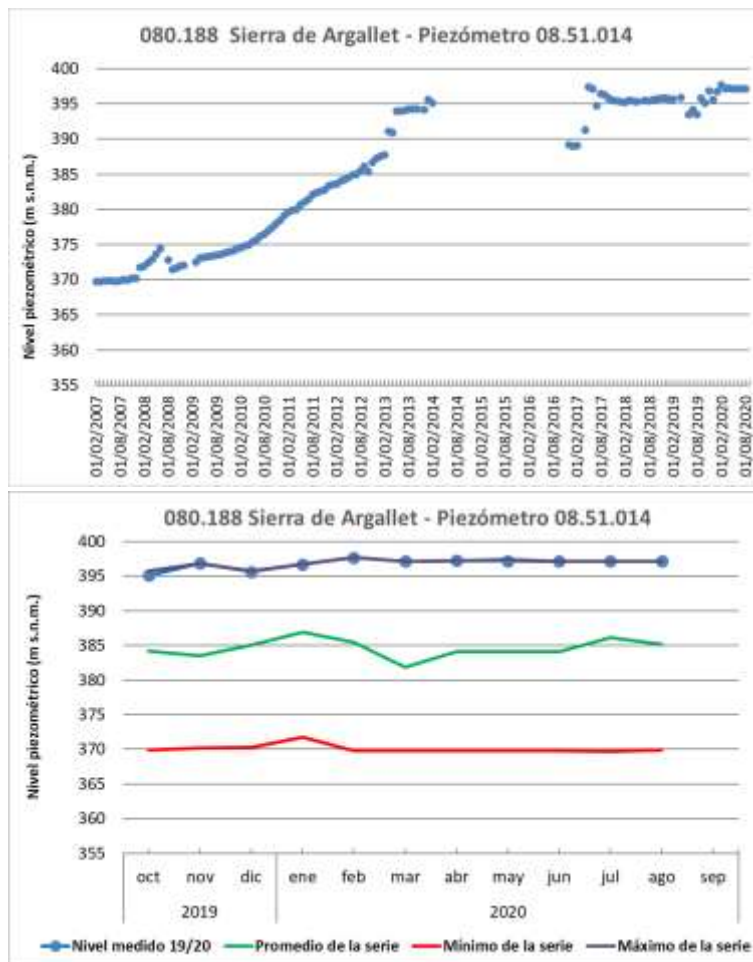


Figura 180. Piezometría en la masa de agua 080.188 Sierra de Argallet: serie histórica y año hidrológico 2019/20. Piezómetro 08.51.014.



Figura 181. Red representativa en la masa de agua subterránea 080.189 Sierra de Crevillente.

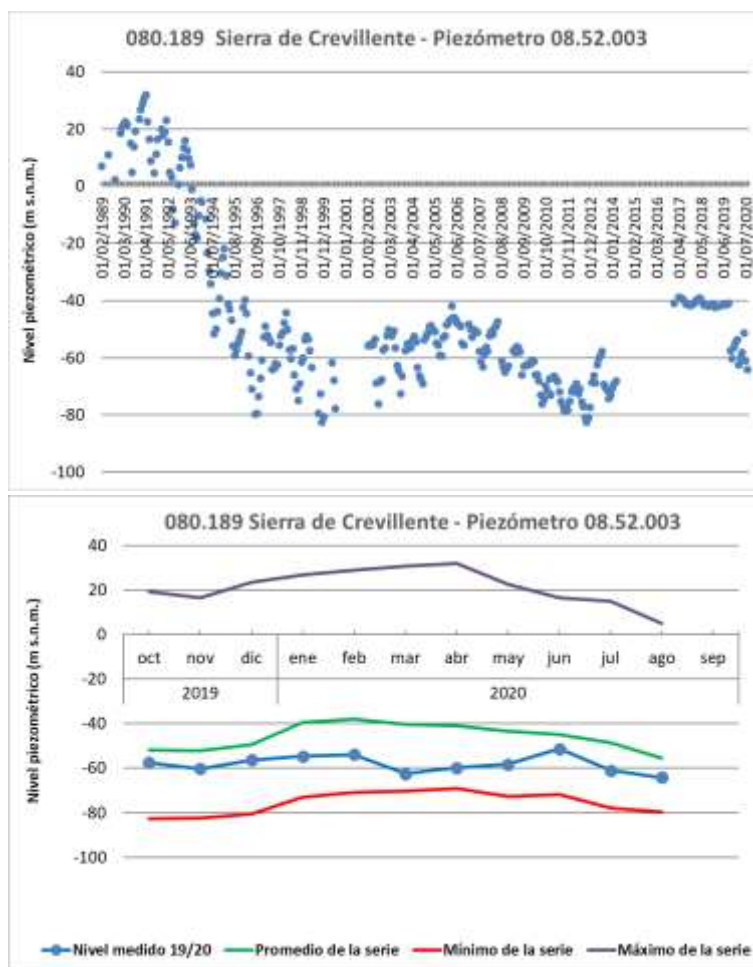


Figura 182. Piezometría en la masa de agua 080.189 Sierra de Crevillente: serie histórica y año hidrológico 2019/20. Piezómetro 08.52.003.

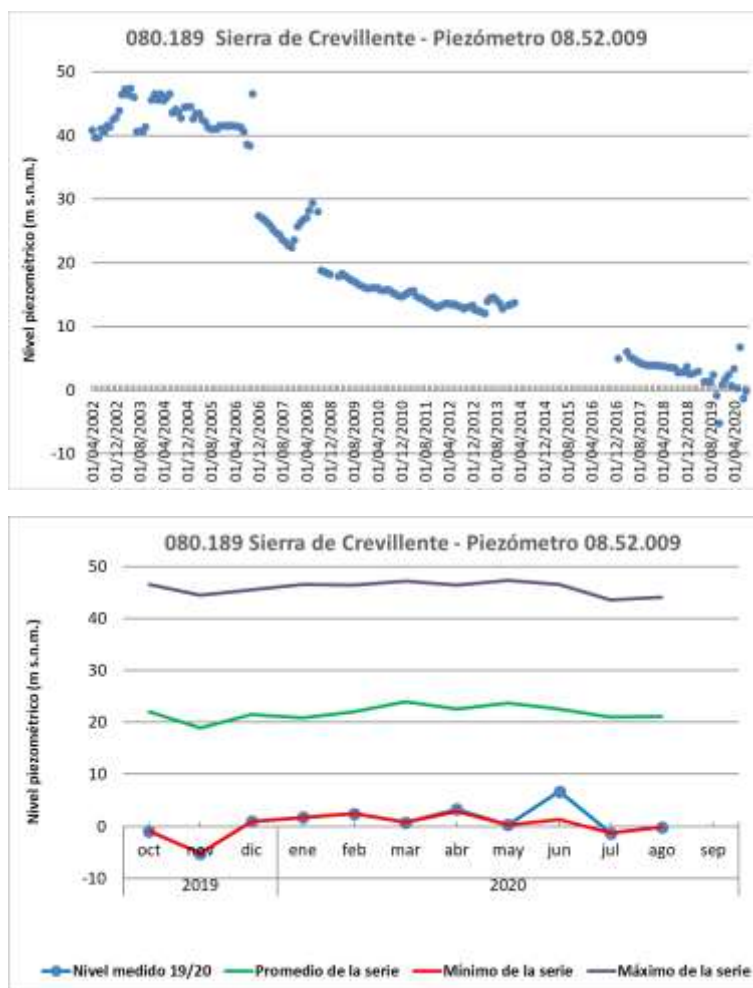


Figura 183. Piezometría en la masa de agua 080.189 Sierra de Crevillente: serie histórica y año hidrológico 2019/20. Piezómetro 08.52.009.



Figura 184. Red representativa en la masa de agua subterránea 080.190 Bajo Vinalopó.

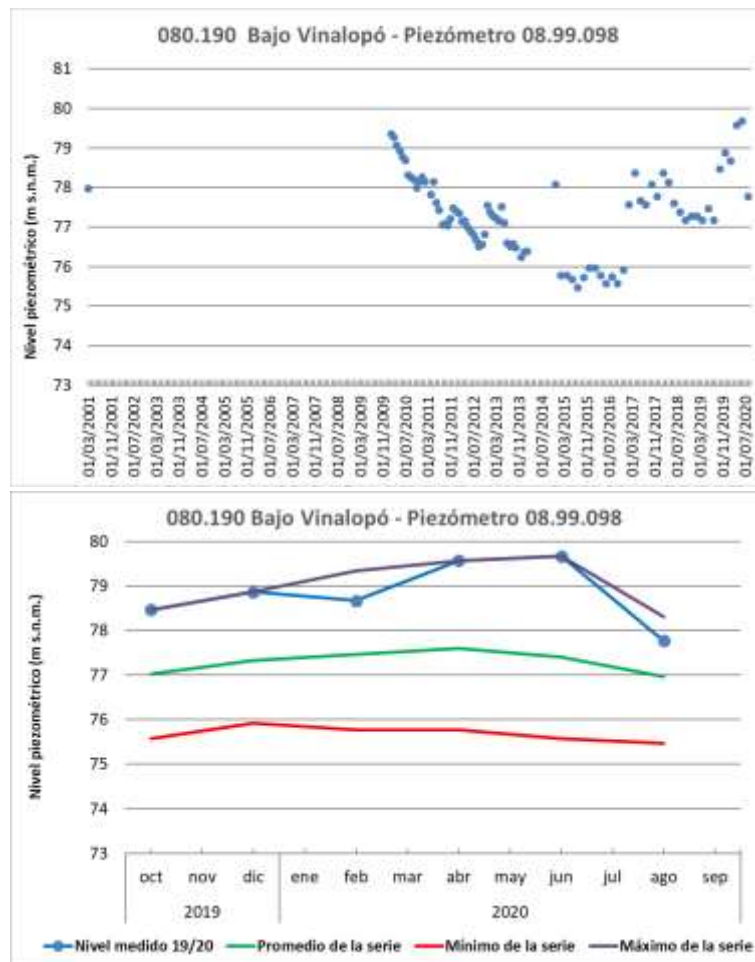


Figura 185. Piezometría en la masa de agua 080.190 Bajo Vinalopó: serie histórica y año hidrológico 2019/20. Piezómetro 08.99.098.

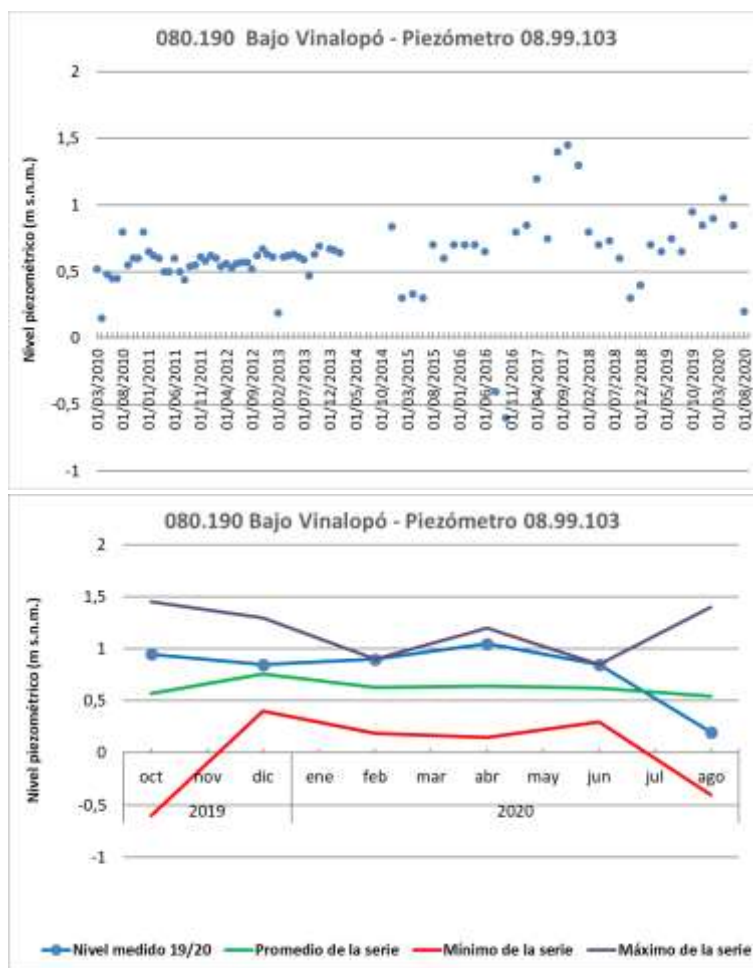


Figura 186. Piezometría en la masa de agua 080.190 Bajo Vinalopó: serie histórica y año hidrológico 2019/20. Piezómetro 08.99.103.

4 Resumen y conclusiones.

A continuación se muestra una figura y una tabla con la distribución de piezómetros representativos por cada masa de agua subterránea, catalogados por colores, según se observe si el nivel piezométrico del año hidrológico 2019/20, respecto a su serie histórica, se encuentra: por encima de la media (verde), por debajo de la media (rojo) o no presenta una variación significativa (amarillo).

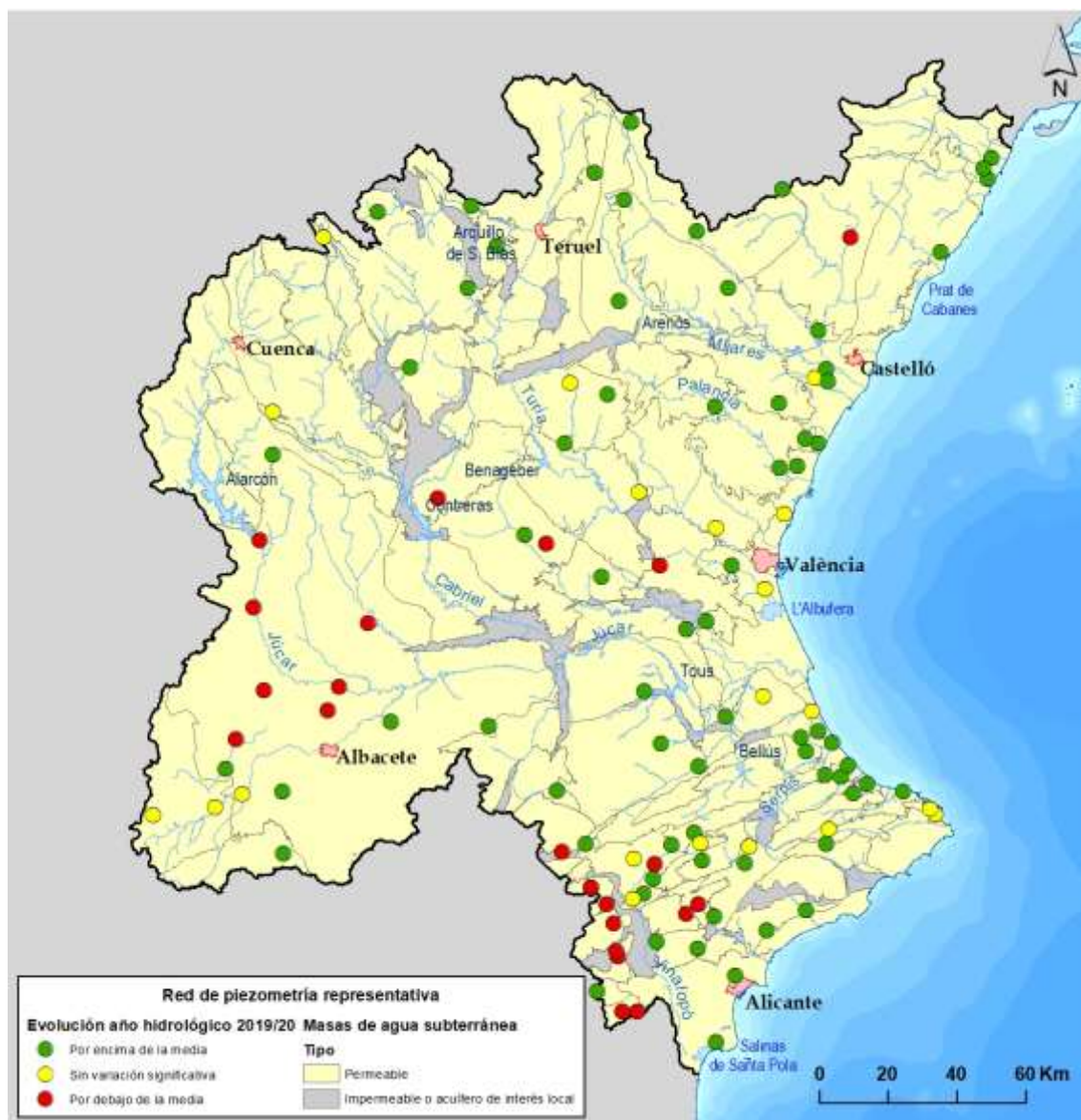


Figura 187. Evolución observada en los piezómetros de la red representativa en el año hidrológico 2019/20.

Código masa	Nombre masa	Código piezómetro representativo	Evolución del año hidrológico 2019/20
080.102	Javalambre Occidental	08.05.041	Por encima de la media
080.103	Javalambre Oriental	08.05.005	Por encima de la media
080.104	Mosqueruela	08.06.005	Por encima de la media
		08.06.108	Por encima de la media
		08.06.109	Por encima de la media
080.106	Plana de Cenia	08.10.083	Por encima de la media
080.107	Plana de Vinaroz	08.10.008	Por encima de la media
		08.10.009	Por encima de la media
080.108	Maestrazgo Occidental	08.07.124	Por debajo de la media
080.110	Plana de Oropesa - Torreblanca	08.07.009	Por encima de la media
080.111	Lucena - Alcora	08.06.106	Por encima de la media
		08.06.112	Por encima de la media
		08.06.113	Por encima de la media
080.113	Arquillo	08.03.001	Por encima de la media
080.114	Gea de Albarracín	08.03.002	Por encima de la media
080.115	Montes Universales	08.02.002	Por encima de la media
		08.02.005	Por encima de la media
080.117	Jurásico de Uña	08.02.065	Sin variación significativa
080.120	Cretácico de Cuenca Sur	08.17.171	Por encima de la media
080.121	Jurásico de Cardenete	08.17.020	Sin variación significativa
080.122	Vallanca	08.04.001	Por encima de la media
080.123	Alpuente	08.15.002	Por encima de la media
		08.15.076	Sin variación significativa
		08.15.078	Por encima de la media
080.125	Jérica	08.14.004	Por encima de la media
080.126	Onda - Espadán	08.13.007	Por encima de la media
080.127	Plana de Castellón	08.12.014	Sin variación significativa
		08.12.015	Por encima de la media
		08.12.017	Por encima de la media
		08.12.033	Por encima de la media
080.128	Plana de Sagunto	08.21.005	Por encima de la media
080.129	Mancha Oriental	08.17.028	Por debajo de la media
		08.29.033	Por debajo de la media
		08.29.035	Por debajo de la media
		08.29.049	Por debajo de la media
		08.29.053	Por debajo de la media
		08.29.059	Por debajo de la media
		08.29.060	Por debajo de la media
		08.29.080	Por encima de la media
		08.29.102	Por encima de la media
		08.29.307	Por encima de la media
		08.29.308	Sin variación significativa
08.30.003	Por encima de la media		
080.130	Medio Palancia	08.20.009	Por encima de la media
		08.20.011	Por encima de la media
080.131	Liria - Casinos	08.22.045	Sin variación significativa
080.132	Las Serranías	08.22.002	Sin variación significativa
080.133	Requena - Utiel	08.24.005	Por encima de la media
		08.24.010	Por debajo de la media
080.134	Mira	08.24.118	Por debajo de la media
080.136	Lezuza - El Jardín	08.30.151	Sin variación significativa

Código masa	Nombre masa	Código piezómetro representativo	Evolución del año hidrológico 2019/20
		08.30.152	Sin variación significativa
080.137	Arco de Alcaraz	08.29.1117	Por encima de la media
080.139	Cabrillas - Malacara	08.18.086	Por encima de la media
080.140	Buñol - Cheste	08.23.017	Por debajo de la media
080.141	Plana de Valencia Norte	08.25.009	Sin variación significativa
		08.25.010	Por encima de la media
		08.25.094	Sin variación significativa
080.142	Plana de Valencia Sur	08.26.016	Por encima de la media
080.143	La Contienda	08.27.207	Por encima de la media
080.144	Sierra del Ave	08.27.096	Por encima de la media
080.145	Caroch Norte	08.27.204	Por encima de la media
080.146	Almansa	08.33.001	Por encima de la media
080.147	Caroch Sur	08.28.007	Por encima de la media
		08.28.008	Por encima de la media
080.149	Sierra de las Agujas	08.31.007	Sin variación significativa
080.150	Bárig	08.32.010	Por encima de la media
080.151	Plana de Jaraco	08.38.018	Sin variación significativa
		08.38.020	Por encima de la media
080.152	Plana de Gandía	08.38.019	Por encima de la media
080.153	Marchuquera - Falconera	08.32.003	Por encima de la media
080.154	Sierra de Ador	08.37.007	Por encima de la media
080.157	Sierra de la Oliva	08.34.003	Por debajo de la media
080.159	Rocín	08.99.099	Por encima de la media
080.160	Villena - Benejama	08.36.001	Por encima de la media
		08.36.021	Sin variación significativa
		08.36.024	Por debajo de la media
		08.36.041	Por encima de la media
080.161	Volcadores - Albaida	08.36.002	Por encima de la media
080.162	Almirante Mustalla	08.37.009	Por encima de la media
080.163	Oliva - Pego	08.38.003	Por encima de la media
		08.38.014	Por encima de la media
080.164	Ondara - Denia	08.38.001	Por encima de la media
080.165	Montgó	08.47.319	Sin variación significativa
080.167	Alfaro - Segaria	08.37.014	Por encima de la media
080.168	Mediodía	08.47.118	Sin variación significativa
080.169	Muro de Alcoy	08.40.106	Sin variación significativa
080.170	Salt San Cristóbal	08.40.001	Por encima de la media
080.171	Sierra Mariola	08.40.029	Sin variación significativa
080.173	Sierra del Castellar	08.35.003	Por debajo de la media
		08.35.006	Por debajo de la media
		08.35.054	Por debajo de la media
080.174	Peñarrubia	08.41.001	Por encima de la media
		08.41.003	Sin variación significativa
080.175	Hoya de Castalla	08.43.004	Por debajo de la media
		08.44.041	Por debajo de la media
080.176	Barrancones - Carrasqueta	08.44.005	Por encima de la media
		08.44.007	Por encima de la media
080.178	Serrella - Aixorta - Algar	08.46.003	Por encima de la media
080.180	Jávea	08.47.318	Sin variación significativa
080.181	Sierra de Salinas	08.42.003	Por debajo de la media
		08.42.035	Sin datos suficientes

Código masa	Nombre masa	Código piezómetro representativo	Evolución del año hidrológico 2019/20
080.183	Orcheta	08.48.001	Por encima de la media
		08.48.011	Por encima de la media
080.186	Sierra del Cid	08.49.001	Por encima de la media
		08.50.005	Por encima de la media
080.187	Sierra del Reclot	08.51.001	Por debajo de la media
		08.51.004	Por debajo de la media
080.188	Sierra de Argallet	08.51.014	Por encima de la media
080.189	Sierra de Crevillente	08.52.003	Por debajo de la media
		08.52.009	Por debajo de la media
080.190	Bajo Vinalopó	08.99.098	Por encima de la media
		08.99.103	Por encima de la media

Tabla 4. Evolución observada en los piezómetros de la red representativa en el año hidrológico 2019/20.

Como puede observarse en la figura y tabla anteriores, de los 113 piezómetros representativos, hay 69 en los que las medidas del año hidrológico 2019/20 se encuentran por encima de la media respecto a su serie histórica, mientras en 20 piezómetros su variación no es significativa, y en 23 puntos las medidas del año hidrológico se sitúan por debajo de la media de su serie histórica. En un punto no ha sido posible analizar la evolución de su nivel piezométrico, por disponer sólo de una medida en el año hidrológico.

En la siguiente figura se muestra la variación de la precipitación acaecida en el año hidrológico 2019/20, respecto a la precipitación media del periodo 1980/81 – 2019/20, así como la variación observada en los piezómetros. En este año hidrológico se aprecia un incremento generalizado de las precipitaciones en toda la Demarcación, especialmente en el interior de la provincia de Alicante y en la provincia de Castellón, que se refleja de forma general en la piezometría, encontrándose en el 79% de los piezómetros una variación o, por encima de la media o, sin una variación significativa. No obstante, en algunas zonas como en las masas 080.129 Mancha Oriental, 080.108 Maestrazgo Occidental, 080.140 Buñol-Cheste y en el sistema de explotación Vinalopó-Alacantí, los niveles piezométricos no reflejan este comportamiento de año húmedo. Aunque las lluvias de este último año hidrológico han sido superiores a otros años, al compararse los datos mensuales con la media de la serie histórica, y presentar estos puntos descensos continuados, los aumentos de niveles no llegan a ser superiores a la media mensual calculada con toda la serie histórica.

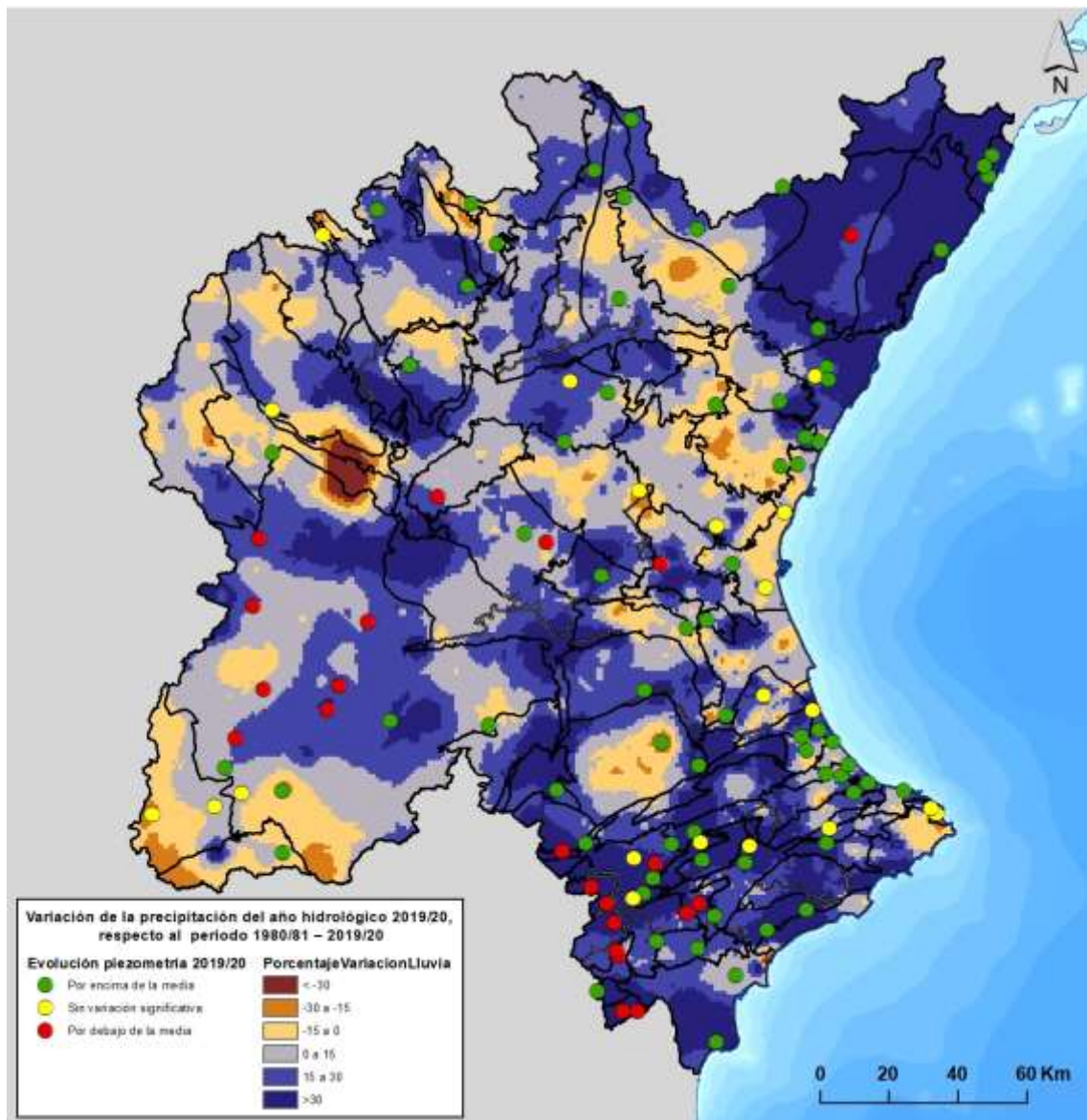


Figura 188. Variación de la precipitación del año hidrológico 2019/20, respecto a la precipitación media del periodo 1980/81 – 2019/20.

5 Referencias bibliográficas.

Pérez, M.A., 2005. Modelo distribuido de simulación del ciclo hidrológico y de la calidad del agua, integrado en sistemas de información geográfica, para las grandes cuencas. Aportación al análisis de presiones e impactos de la Directiva Marco del Agua. Tesis Doctoral. Dto. De Ingeniería Hidráulica y Medio Ambiente. Universidad Politécnica de Valencia. Junio 2005.

Miñana, 2015. Estudio y optimización de la red de piezometría de la Confederación Hidrográfica del Júcar. Junio de 2015.

